

# СПЕРИМЕНТАЛЬНАЯ ПРОВЕРКА ТЕОРИИ РАСПРОСТРАНЕНИЯ ОСАДКА В ПЛОСКОМ КАПИЛЛЯРЕ

И. Б. Афанасьев и О. М. Годес

В предыдущей работе [1] был детально рассмотрен вопрос о распространении осадка и возникновении пересыщения продукта реакции измнно диффундирующих реагирующих растворов в плоском капилляре в зависимости от способа внесения затравки в капилляр. Величина  $q$  в случае Б (начальное соприкосновение растворов у одного из концов капилляра), определяющая количество осаждающегося компонента реакции на единице длины капилляра в единицу времени, имеет вид:

$$q = \frac{(u_0 + v_0)^2 e^{-2m^2 \cdot 2k}}{\pi (M^2 + 4k)^{1/2}} > 0, \quad (1)$$

где  $u_0$  и  $v_0$  — начальные концентрации соответственно внешнего и внутреннего компонентов реакции,  $k$  — произведение растворимости продукта реакции,  $t$  — время, а

$$m = \frac{x}{2V D_v t} \quad (2)$$

— переменная величина ( $x$  — координата вдоль оси капилляра,  $D_v$  — коэффициент диффузии внутреннего компонента реакции) и

$$M = u - v = u_0 - (u_0 + v_0) \Phi(m) \quad (3)$$

( $\Phi(m)$  — интеграл вероятности).

Выражение (1) было получено для частного случая равных коэффициентов диффузии компонентов реакции и стехиометрических коэффициентов уравнения химической реакции, равных единице. Величина  $q$  при некотором значении  $m = m_m$ , определяемом в случае Б выражением:

$$\Phi(m_m) = \frac{1}{1 + \alpha} \quad (4)$$

где  $\alpha = \frac{v_0}{u_0}$ , имеет максимум, резкость которого возрастает с уменьшением  $k$ , т. е. с уменьшением растворимости продукта реакции (§ 3, рис. 14\* [1]).

В другом частном случае полностью нерастворимого осадка продукта реакции ( $k = 0$ , § 2, [1]), при неравных коэффициентах диффузии компонентов реакции, «скорость» продвижения границы осаждения  $m_0$  в зависимости от отношения начальных концентраций компонентов реакции  $\alpha = \frac{v_0}{u_0}$  и отношения их коэффициентов диффузии  $\delta = \frac{D_v}{D_u}$  определена выражением (§ 2, уравнение (11), [1]):

$$\alpha \sqrt{\delta} = \frac{1 - \Phi(m_0)}{\Phi(m_0 \sqrt{\delta})} e^{-m_0^2 (3-1)} \quad (5)$$

и рис. 76 [1]).

\* На всех рисунках [1] оси абсцисс ошибочно обозначены через  $m$  вместо  $m_0$ . В дальнейшем везде индекс  $v$  у переменной  $m_v$  будет опущен.

Последнее выражение (5) при  $\delta = 1$  совпадает с выражением (4), что позволяет из выражения (5) находить скорость продвижения максимум осаднения продукта реакции ( $q$ ) при различных соотношениях коэффициентов диффузии компонентов реакции  $\delta$  и считать  $m_m = m_0$ .

При наблюдении распространения осадка продукта реакции в плоском капилляре, при отсутствии в нем затравки, граница малорастворимого осадка будет продвигаться со «скоростью», определяемой выражением (5), так как самопроизвольная кристаллизация продукта реакции будет происходить в месте наибольшего пересыщения раствора. Последнее, очевидно, будет совпадать с местом максимума величины  $q$  при наличии заранее внесенной в капилляр затравки. Таким образом, один из путей экспериментальной проверки полученных зависимостей распространения осадка малорастворимого продукта реакции состоит в измерении координаты  $x_0$  границы осадка, с течением времени продвигающейся вдоль плоского капилляра со «скоростью»  $m_0 = \frac{x_0}{2\sqrt{D_v t}} = \text{const}$ .

Для измерений были применены плоские капилляры, образованные двумя склеенными полированными стеклами. Зазор между стеклами не превышал 0,2 мм, ширина колебалась в пределах от 4 до 8 мм, длина около 80 мм. Резервуар для внешнего компонента, соединенный с одним концом капилляра, имел объем около 5 см<sup>3</sup>. Указанные размеры примененных в опытах капилляров обеспечили выполнение условий, сформулированных в задаче: а) зазор между стеклами капилляра вместе со строго горизонтальной установкой капилляра и ключал возможность затекания растворов в результате различия их плотностей, т. е. позволило осуществить чисто диффузионное смешение реагирующих растворов; б) объем резервуара по сравнению с объемом капилляра позволил сохранять постоянной величину начальной концентрации внешнего компонента у начала капилляра, с одной стороны, и равенство нулю концентрации внутреннего компонента реакции в резервуаре, — с другой; в) выбранная длина капилляра достаточна для того, чтобы можно было считать постоянно начальной концентрацией внутреннего компонента на конце капилляра, так как время распространения осадка до конца капилляра можно считать бесконечно большим по сравнению с временем опыта (измерения концентрации внутреннего компонента реакции в капилляре подтвердили выполнение этого условия); г) подсчет объема осадка капилляре показывает, что изменение свободного сечения капилляра в результате осаждения продукта реакции не превышает 5%, и, следовательно, появление осадка в капилляре не должно сильно сказываться на процессе диффузии компонентов реакции.

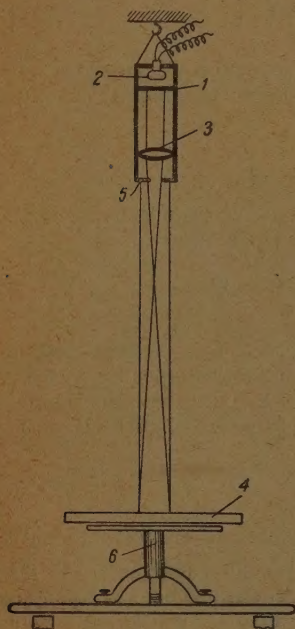


Рис. 1

Для строго горизонтальной установки морбитового зеркала, на котором помещались капилляры, было применено следующее устройство (рис. 1): нанесенный на матовом стекле 1 черной тушью крест освещенный лампочкой 2, фокусировался линзой 3 после отражения от морбитового зеркала 4 на нижнюю сторону белой диафрагмы 5. Все детали (1, 2, 3, 4) были укреплены в трубе из прессшпана, которая подвешивалась к потолку на высоте около 2 м. Для фиксирования определенного положения трубы, на морбитовое зеркало ставилась достаточно широкая кювета с ртутью, от поверхности которой и происходило отражение пучка света. При этом на диафрагме отмечалось положение изображения креста при отражении от заведомо горизонтальной поверхности ртути. Сняв кювету с ртутью, отраженное от зеркала изображение креста приводило к отметкам на диафрагме при помощи уравнивательных винтов, которыми был снабжен столик 6 с расположенным на нем зеркалом.

Заполненный раствором внутреннего компонента капилляр заклеивался медной замазкой и помещался на миллиметровую бумагу, находящуюся на горизонтально установленном морбитовом зеркале. В момент наливания раствора



нешнего компонента в резервуар отмечалось время начала опыта. Координата границы осадка  $x_0$  отсчитывалась от начала капилляра по миллиметровой бумаге, которой находился капилляр. Размытость границы осадка не требовала большой точности измерения  $x_0$ .

Измерение продвижения границы осаждения произведено для малорастворимых солей  $\text{BaCrO}_4$  и  $\text{CuCrO}_4$  при взаимной диффузии растворов  $\text{BaCl}_2$  и  $\text{K}_2\text{CrO}_4$ ,  $\text{CuSO}_4$  и  $\text{K}_2\text{CrO}_4$ . Для производства необходимых расчетов для указанных компонентов реакции коэффициенты диффузии их приняты постоянными, как

некоторые усредненные значения табличных данных для  $\text{BaCl}_2$  и  $\text{CuSO}_4$ ; для  $\text{K}_2\text{CrO}_4$  принято также усредненное значение коэффициента диффузии, полученное из наших измерений. В приведенных ниже таблицах экспериментальных результатов указаны принятые значения коэффициентов диффузии компонентов, а также указаны возможные пре-

делы для их отношения. Концентрации компонентов даны в молях на литр,  $x_0$  — в см,  $t$  — в часах. В качестве примера результатов измерения продвижения границы осаждения  $x_0$  вдоль капилляра в табл. 1 приведены данные четырех опытов по осаждению  $\text{BaCrO}_4$  при диффузии раствора  $\text{BaCl}_2$  в раствор  $\text{K}_2\text{CrO}_4$ . Приведенные данные нанесены на график рис. 2.

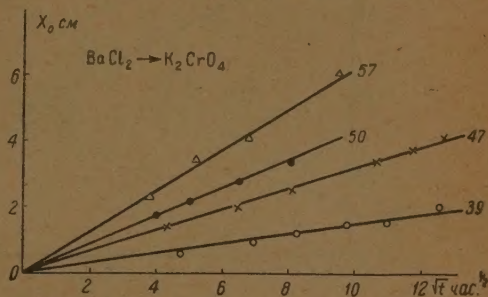


Рис. 2

Таблица 1

опыт № 39	$x_0$ , см	0,6	1,0	1,2	1,5	1,6	2,0
$u_0 = 0,05$	$t$ , час.	22,5	48	69	96	120	160
$v_0 = 0,05$	$\frac{x_0}{\sqrt{t}}$	0,132	0,144	0,144	0,150	0,144	0,158
$\alpha = 1$							
опыт № 47	$x_0$ , см	1,4	2,0	2,55	3,4	3,8	4,2
$u_0 = 0,2$	$t$ , час.	18,5	42,5	66,5	114,5	138,5	162,5
$v_0 = 0,05$	$\frac{x_0}{\sqrt{t}}$	0,326	0,307	0,307	0,318	0,322	0,328
$\alpha = 0,25$							
опыт № 50	$x_0$ , см	1,85	2,2	2,8	3,45		
$u_0 = 0,1$	$t$ , час.	16	25	42	65		
$v_0 = 0,01$	$\frac{x_0}{\sqrt{t}}$	0,462	0,440	0,432	0,430		
$\alpha = 0,1$							
опыт № 57	$x_0$ , см	2,3	3,4	4,1	6,1		
$u_0 = 0,5$	$t$ , час.	15	26,5	46	90		
$v_0 = 0,01$	$\frac{x_0}{\sqrt{t}}$	0,595	0,602	0,605	0,641		
$\alpha = 0,02$							

Ниже (табл. 2—5) приводятся полученные экспериментальные значения  $m_0$  для четырех серий опытов. Сопоставление этих данных с теорией дано на рис. 3—6, где сплошными кривыми нанесены теоретические зависимости согласно выражению (5).

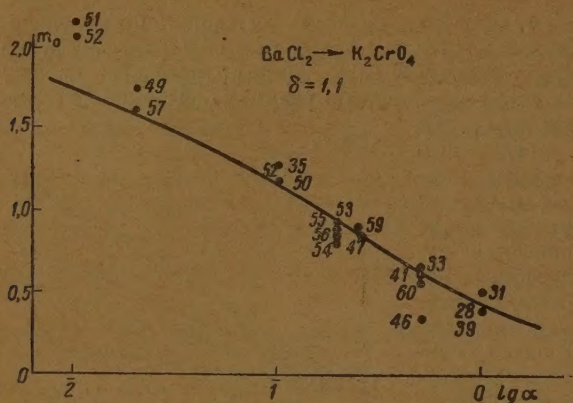


Рис. 3

Серия 1. Осаждение  $\text{BaCrO}_4$ .

Внешний компонент ( $u$ )  $\text{BaCl}_2$ ;  $D_u = 0,8 \cdot 10^{-5} \text{ см}^2/\text{сек.}$

Внутренний компонент ( $v$ )  $\text{K}_2\text{CrO}_4$ ;  $D_v = 0,9 \cdot 10^{-5} \text{ см}^2/\text{сек.}$

Возможные пределы  $\delta$ : 1—1,3.

Таблица 2 (рис. 3)

	№ опыта	$u$	$v$	$\frac{x_0}{V t}$ $\frac{\text{см}}{\text{час.}^{1/2}}$	$m_0$
$\alpha = 1$	39	0,05	0,05	0,148	0,411
$\alpha = 0$	31	0,1	0,1	0,189	0,526
	28	0,05	0,05	0,146	0,406
$\alpha = 0,5$	46	0,2	0,1	0,195	0,342
$\lg \alpha = 1,7$	41	0,1	0,05	0,227	0,631
	33	0,1	0,05	0,240	0,666
	60	0,1	0,05	0,215	0,596
$\alpha = 0,25$	47	0,2	0,05	0,318	0,894
$\lg \alpha = 1,4$	59	0,2	0,05	0,326	0,905
$\alpha = 0,2$	53	0,5	0,1	0,344	0,956
$\lg \alpha = 1,3$	54	0,5	0,1	0,294	0,818
	55	0,5	0,1	0,332	0,924
	56	0,5	0,1	0,316	0,879
$\alpha = 0,1$	35	0,5	0,05	0,446	1,30
$\lg \alpha = 1,0$	50	0,1	0,01	0,441	1,23
	58	0,5	0,05	0,437	1,21
$\alpha = 0,02$	49	0,5	0,01	0,639	1,77
$\lg \alpha = 2,3$	57	0,5	0,01	0,598	1,66
$\alpha = 0,01$	51	0,5	0,005	0,820	2,28
$\lg \alpha = 2,0$	52	0,5	0,005	0,772	2,14



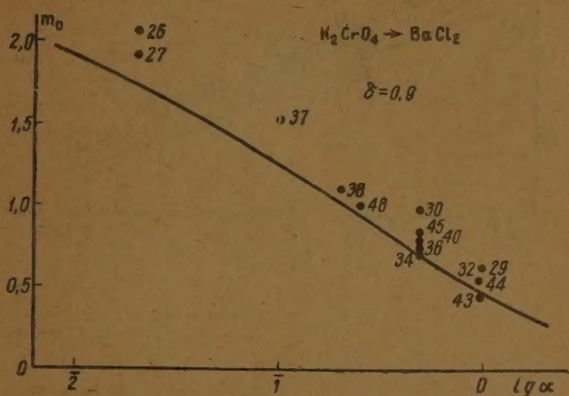
Серия 2. Осаждение  $\text{BaCrO}_4$ .Внешний компонент ( $u$ )  $\text{K}_2\text{CrO}_4$ ;  $D_u = 0,9 \cdot 10^{-5} \text{ см}^2/\text{сек.}$ Внутренний компонент ( $v$ )  $\text{BaCl}_2$ ;  $D_v = 0,8 \cdot 10^{-5} \text{ см}^2/\text{сек.}$ Возможные пределы  $\delta$ : 0,75 — 1,0.

Рис. 4

Таблица 3 (рис. 4)

	№ опыта	$u_0$	$v_0$	$\frac{x_0}{\sqrt{t}}$	$\frac{\text{см}}{\text{час.}^{1/2}}$	$m_0$
$\alpha = 1$	43	0,2	0,2	0,158	0,465	
$\lg \alpha = 0$	44	0,2	0,2	0,202	0,565	
	32	0,1	0,1	0,217	0,638	
	29	0,05	0,05	0,218	0,641	
$\alpha = 0,5$	30	0,1	0,05	0,343	1,01	
$\lg \alpha = \overline{1},7$	34	0,1	0,05	0,248	0,729	
	36	0,1	0,05	0,259	0,762	
	40	0,1	0,05	0,278	0,818	
	45	0,2	0,1	0,298	0,875	
$\alpha = 0,25$	48	0,2	0,05	0,351	1,03	
$\lg \alpha = \overline{1},4$						
$\alpha = 0,2$	38	0,5	0,1	0,385	1,13	
$\lg \alpha = \overline{1},3$						
$\alpha = 0,1$	37	0,5	0,05	0,533	1,57	
$\lg \alpha = \overline{1},0$						
$\alpha = 0,02$	26	0,5	0,01	0,708	2,08	
$\lg \alpha = \overline{2},3$	27	0,5	0,01	0,664	1,95	

Серия 3. Осаждение  $\text{CuCrO}_4$ .Внешний компонент ( $u$ )  $\text{CuSO}_4$ ;  $D_u = 0,45 \cdot 10^{-5} \text{ см}^2/\text{сек.}$ Внутренний компонент ( $v$ )  $\text{K}_2\text{CrO}_4$ ;  $D_v = 0,9 \cdot 10^{-5} \text{ см}^2/\text{сек.}$ Возможные пределы  $\delta$ : 1,6 — 2,3.

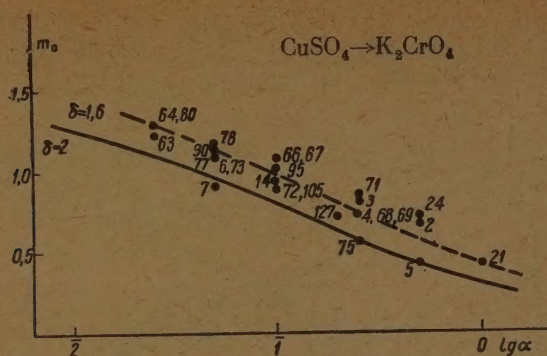


Рис. 5

Таблица 4 (рис. 5)

	№ опыта	$u_0$	$v_0$	$\frac{x_0}{\sqrt{t}}$ см час. <sup>1/2</sup>	$m_0$
$\alpha = 1; \lg \alpha = 0$	21	0,1	0,1	0,150	0,417
$\alpha = 0,5$	2	0,2	0,1	0,251	0,698
$\lg \alpha = 1,7$	5	0,2	0,1	0,156	0,434
	24	0,1	0,05	0,253	0,703
$\alpha = 0,25$	3	0,2	0,05	0,300	0,835
$\lg \alpha = 1,4$	4	0,2	0,05	0,273	0,760
	68	0,2	0,05	0,270	0,750
	69	0,2	0,05	0,265	0,740
$\alpha = 0,2; \lg \alpha = 1,3$	71	0,5	0,1	0,301	0,836
$\alpha = 0,1$	66	0,2	0,02	0,399	1,11
$\lg \alpha = 1,0$	67	0,2	0,02	0,399	1,11
	72	0,2	0,02	0,327	0,91
	74	0,2	0,02	0,331	0,95
	95	0,2	0,02	0,370	1,03
	105	0,5	0,05	0,323	0,90
$\alpha = 0,05$	6	0,2	0,01	0,398	1,105
$\lg \alpha = 2,7$	7	0,2	0,01	0,324	0,90
	73	0,2	0,01	0,398	1,11
	77	0,2	0,01	0,404	1,12
	78	0,2	0,01	0,411	1,14
	90	0,2	0,01	0,413	1,14
$\alpha = 0,025$	80	0,2	0,005	0,468	1,3
$\lg \alpha = 2,4$	63	0,2	0,005	0,439	1,24
	64	0,2	0,005	0,468	1,30

Серия 4. Осаждение  $\text{CuCrO}_4$ .Внешний компонент ( $u$ )  $\text{K}_2\text{CrO}_3$ ;  $D_u = 0,9 \cdot 10^{-5}$  см<sup>2</sup>/сек.Внутренний компонент ( $v$ )  $\text{CuSO}_4$ ;  $D_v = 0,45 \cdot 10^{-5}$  см<sup>2</sup>/сек.Возможные пределы  $\delta$ : 0,45 — 0,6.



Таблица 5 (рис. 6)

	№ опыта	$u_0$	$v_0$	$\frac{x_0}{\sqrt{t}}$ см час. <sup>1/2</sup>	$m_0$
$\alpha = 0,5$	22	0,1	0,05	0,202	0,795
$\lg \alpha = \overline{1,7}$	25	0,2	0,1	0,253	1,0
	91	0,1	0,05	0,243	0,96
	92	0,1	0,05	0,285	1,12
$\alpha = 0,25$	18	0,2	0,05	0,312	1,26
$\lg \alpha = \overline{1,4}$					
$\alpha = 0,1$	74	0,2	0,02	0,429	1,69
$\lg \alpha = \overline{1,0}$	96	0,2	0,02	0,379	1,49
	106	0,5	0,05	0,433	1,71
$\alpha = 0,05$	17	0,2	0,01	0,550	2,16
$\lg \alpha = \overline{2,7}$					

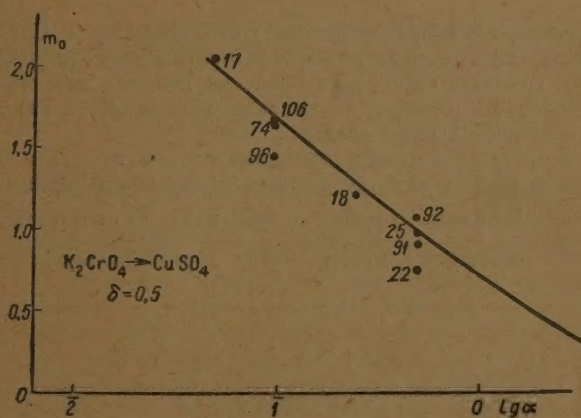


Рис. 6

Из рис. 2, очевидно, следует постоянство величины  $\frac{x_0}{\sqrt{t}}$  в течение всего опыта, что свидетельствует о диффузионном характере процесса и совпадает с известными результатами наблюдения распространения периодического осадка. Во всех приведенных четырех сериях опытов этот результат также имел место.

Разброс экспериментальных точек при одних и тех же значениях  $\alpha$  следует отнести к моменту начала опыта, так как не всегда удавалось подать раствор внешнего компонента в резервуар так, чтобы соприкосновение его с раствором внутреннего компонента произошло одновременно по всей ширине капилляра (особенно в случаях широких капилляров), в результате чего начальный фронт осадка не всегда получался прямым. В дальнейшем фронт осадка довольно быстро выравнивался. Не исключено также влияние колебаний температуры ( $20^\circ \pm 3^\circ$ ) на разброс точек.

Отклонение некоторых экспериментальных точек (51, 52 рис. 3; 26, 27, 37 рис. 4) от теоретической кривой, вполне удовлетворительно сов-

падающей с экспериментальными данными в случае осаждения  $\text{BaCrO}_4$  объясняется зависимостью значений коэффициентов диффузии компонентов реакции от концентрации раствора.

В случае осаждения  $\text{CuCrO}_4$  (рис. 5, 6) ход экспериментальных точек также совпадает с ходом теоретической кривой. Смещение всех точек выше сплошной кривой (рис. 5) связано с неправильным выбором коэффициентов диффузии компонентов реакции: теоретическая кривая (пунктирная), построенная при  $\delta = 1,6$ , вполне удовлетворительно согласуется с опытными данными.

В некоторых опытах, протекавших продолжительное время при больших концентрациях внешнего компонента реакции, наблюдалась граница растворения осадка, медленно продвигавшаяся вдоль капилляра вслед за границей осаждения. Эти наблюдения подтверждают справедливость теоретического предположения о наличии границы растворения [1].

В случае осаждения  $\text{CuCrO}_4$  наблюдалось периодическое осаждение.

### Выводы

1. Показана возможность применения плоского капилляра для производства количественных измерений при взаимной диффузии реагирующих растворов.

2. На примере малорастворимых солей  $\text{BaCrO}_4$  и  $\text{CuCrO}_4$  экспериментально доказана справедливость теоретических расчетов скорости продвижения границы осаждения продукта реакции при взаимной диффузии компонентов реакции в плоском капилляре, а также существование границы растворения осадка.

3. При непрерывном распространении осадка продукта реакции скорость кристаллизации его не оказывает заметного влияния на чисто диффузионное протекание процесса: величина  $\frac{x_0}{V t}$  остается постоянной.

4. Описан оптический метод строго горизонтальной установки поверхности.

Поступила  
13.VII.1949

### ЛИТЕРАТУРА

1. П. Б. Афанасьев, Я. В. Зельдович и О. М. Тодес, Журн. физ. химии, 23, 156, 1949.



## РАСПРЕДЕЛЕНИЕ КОНЦЕНТРАЦИЙ КОМПОНЕНТОВ РЕАКЦИИ И ПЕРИОДИЧЕСКОЕ ОСАЖДЕНИЕ ЕЕ ПРОДУКТА В ПЛОСКОМ КАПИЛЛЯРЕ

И. Б. Афанасьев и О. М. Тодес

В одной из предшествующих работ [1] было показано, что при некоторой скорости подачи затравки в плоском капилляре возникает пересыщение раствора продукта реакции взаимно диффундирующих реагирующих компонентов. Экспериментальным измерением «скорости» продвижения границы осадка продукта реакции

$$m_0 = \frac{x_0}{2\sqrt{D_v t}} \quad (1)$$

при отсутствии в капилляре затравки для малорастворимых солей была показана [2] справедливость теоретически полученного выражения для этой скорости

$$\alpha = \frac{1 - \Phi(m_0)}{\sqrt{\delta} \Phi(m_0 \sqrt{\delta})} e^{-m_0^2(\delta-1)}, \quad (2)$$

где  $\alpha = \frac{v_0}{u_0}$  — отношение начальных концентраций внутреннего и внешнего компонентов реакции,  $\delta = \frac{D_v}{D_u}$  — отношение их коэффициентов диффузии,  $\Phi(m)$  — интеграл вероятности. Значение  $m_0$  определяет место максимума величины  $q$ , характеризующей скорость осаждения продукта реакции на единице длины капилляра. В этом месте при  $m = m_0$  функция  $M = u - v$ , определяемая соотношением (3.14) из [1], равна нулю, и согласно (3.15) [1] в этом месте значения концентраций обоих компонентов оказываются одинаковыми в случае стехиометрических коэффициентов, равных единице. Это обстоятельство позволяет найти распределение концентраций обоих компонентов реакции в третьей области впереди распространяющегося осадка при  $\delta \neq 1$ . Решения уравнений диффузии для компонентов реакции:

$$u = c_1 \Phi(m \sqrt{\delta}) + c_2, \quad (3)$$

$$v = c_3 \Phi(m) + c_4$$

должны удовлетворять следующим граничным условиям

$$\text{при } x = \infty \quad m = \infty, \Phi(m) = 1; u = 0; v = v_0, c_2 = -c_1;$$

$$\text{при } x = x_0 \quad m = m_0, \Phi(m) = \Phi(m_0); u = v = \sqrt{k}; c_4 = v_0 - c_3; \quad (4)$$

откуда получаем

$$u = c_1 [\Phi(m \sqrt{\delta}) - 1], \quad (5)$$

$$v = v_0 + c_3 [\Phi(m) - 1],$$

где

$$c_1 = \frac{\sqrt{k}}{\Phi(m_0 \sqrt{\delta}) - 1}$$

$$c_3 = \frac{\sqrt{k} - v_0}{\Phi(m_0) - 1} \quad (6)$$

Составив согласно (3) и (6) величину произведения концентраций в третьей области  $uv$ , легко найти относительное пересыщение раствора продукта реакции  $x$  в этой области впереди осадка:

$$x = \frac{uv}{k} - 1 = \frac{v_0}{\sqrt{k}} \frac{\Phi(m \sqrt{\delta}) - 1}{\Phi(m_0 \sqrt{\delta}) - 1} \cdot \frac{\Phi(m_0) - \Phi(m) + \frac{\sqrt{k}}{v_0} [\Phi(m) - 1]}{\Phi(m_0) - 1}, \quad (7)$$

которое оказывается пропорциональным вводимому нами коэффициенту концентрации внутреннего компонента  $n = \frac{v_0}{\sqrt{k}}$ . На рис. 1 дан вид

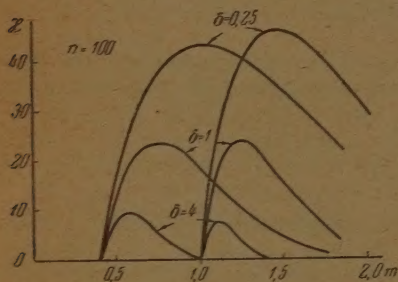


Рис. 1

кривых пересыщения для трех значений  $\delta$  при  $m_0 = 0,4$  и  $m_0 = 1$ . Значение  $n$  принято равным 100.

Дополнительная экспериментальная проверка полученного распределения концентраций компонентов реакции и пересыщения раствора продукта ее впереди распространяющегося осадка может быть произведена непосредственным измерением концентрации компонентов реакции в плоском капилляре впереди осадка.

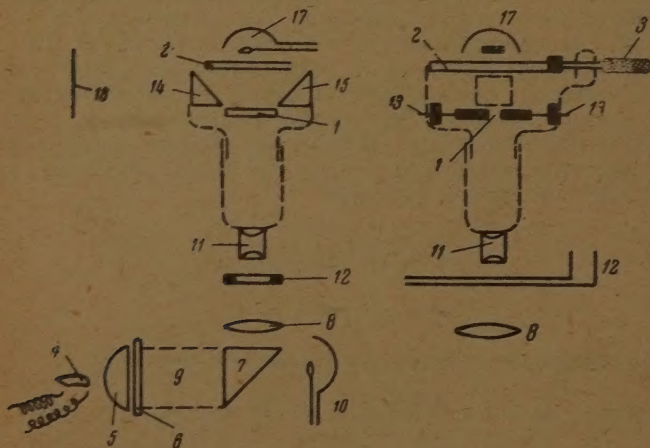


Рис. 2

Измерение концентрации в тонком слое раствора по поглощению света удалось выполнить только для иона  $\text{CrO}_4^{2-}$ , который являлся одним из компонентов реакции образования осадков  $\text{BaCrO}_4$  и  $\text{CuCrO}_4$ . Стекланный капилляр и стеклянная оптика



вошли измерять поглощение только в видимой части спектра. Ион  $\text{CrO}_4^{2-}$  имеет точно высокий коэффициент поглощения при длине волны  $\lambda = 436 \text{ мк}$  ( $\lg \epsilon = 3$ ). Иона, дающего с  $\text{CrO}_4^{2-}$  малорастворимый осадок и обладающего достаточным для измерения коэффициентом поглощения в видимой части спектра, подобрать не удалось. Для измерения концентрации  $\text{CrO}_4^{2-}$  был использован инструментальный микроп с подвижным координатным столиком, у которого вместо окуляра в тубус вставлена специальная насадка с щелью 1 (рис. 2), и серым оптическим клином 2, перемещаемым микрометрическим винтом 3. Источником света служила лампа дуга 4 мощностью 600 W. После конденсора 5 и синего фильтра 6 свет п, собранный в узкий пучок линзой 8, падал на капилляр 12. Другой пучок от 1 же дуги падал непосредственно после светофильтра на вакуумный фотозоометр, который регистрировал интенсивность падающего света. Свет, прошедший через этот участок поглощающего слоя раствора в капилляре 12 (положение капилляра на столике микроскопа было фиксировано), при помощи объектива 11 навывался на щель 1, ширина которой регулировалась при помощи гаек 13, задевающих в корпус насадки. При измерении концентрации раствора призмы 14 и 15 имели положение, указанное на рисунке, свет в этом случае падал на оптический клин и далее на регистрирующий фотозометр 17 того же типа, что и первый. Для наблюдения за осадком в капилляре и фотографирования его призмы 14 и 15 могли быть передвинуты в положение над щелью, результате чего свет падал или на экран или на фотопленку (фотокамера на рис. 2 указана). Щель 1, перпендикулярная оси капилляра, позволяла вырезать достаточно узкую полосу света. При измерении концентрации раствора ширина щели соответствовала обычно 0,4–0,5 мм ширины объекта. Перемещением координатного столика можно было измерять концентрацию раствора по всей длине капилляра.

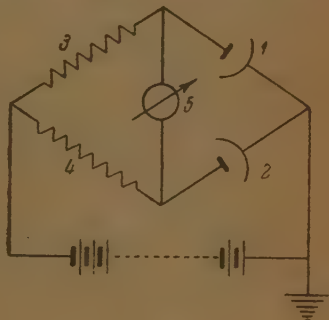


Рис. 3

Электрическая часть установки соответствует нулевому методу сравнения интенсивностей двух пучков света при компенсации поглощения в растворе поглощением оптического клина, положение которого было проградуировано на концентрацию иона  $\text{CrO}_4^{2-}$ . Работа схемы ясна из рис. 3.

Горизонтальность установки капилляра достигалась устройством, описанным в работе [2], при помощи уравнивательных винтов микроскопа.

При помощи описанной установки был измерен коэффициент диффузии  $\text{CrO}_4^{2-}$ . Для этого плоский капилляр наполнялся водой, а внешним компонентом являлся раствор  $\text{K}_2\text{CrO}_4$  известной начальной концентрации. Из полученных кривых распределения концентрации  $\text{K}_2\text{CrO}_4$  в капилляре в различные моменты времени был рассчитан коэффициент диффузии. Результаты приведены в табл. 1.

Таблица 1

$x \frac{\text{МОЛЬ}}{\text{Л}}$	0,01	0,02	0,03	0,04	0,05	
$D \cdot 10^3 \frac{\text{СМ}^2}{\text{СЕК}}$	0,80	0,826	0,82	0,834	0,849	$u_0 = 0,2 \frac{\text{МОЛЬ}}{\text{Л}}$
$D \cdot 10^3 \frac{\text{СМ}^2}{\text{СЕК}}$	1,10	1,01	0,97	0,942	0,942	$u_0 = 0,1 \frac{\text{МОЛЬ}}{\text{Л}}$

При осаждении  $\text{CuCrO}_4$  в случае диффузии раствора  $\text{CuSO}_4$  в раствор  $\text{K}_2\text{CrO}_4$  было произведено измерение концентрации внутреннего компонента  $\text{K}_2\text{CrO}_4$  впереди распространяющегося осадка. Во всех опытах было снято распределение концентрации  $\text{K}_2\text{CrO}_4$  в различные моменты времени. Пример полученных кривых приведен на рис. 4 сплошными линиями. Пунктирными линиями дано распределение концентраций

внутреннего компонента без учета удаления иона  $\text{CrO}_4^{2-}$  из раствора в результате осаждения продукта реакции для тех же моментов времени. Большое расхождение этих последних кривых с экспериментальными кривыми указывает на невозможность пренебрегать изменением кон-

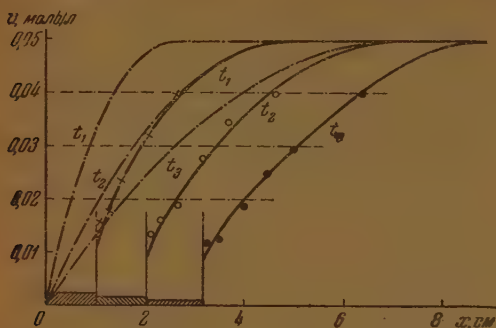


Рис. 4. Опыт № 69.  $t_1 = 17$  час.;  $t_2 = 67,5$  час.;  $t_3 = 141$  час.

$$m = \frac{x}{2\sqrt{D_v t}}$$

для некоторых определенных значений  $v$ . Найденные таким путем экспериментальные значения  $v(m)$  нанесены на рис. 5 для каждого опыта точками, причем в опытах № 2 и 127 начальная концентрация

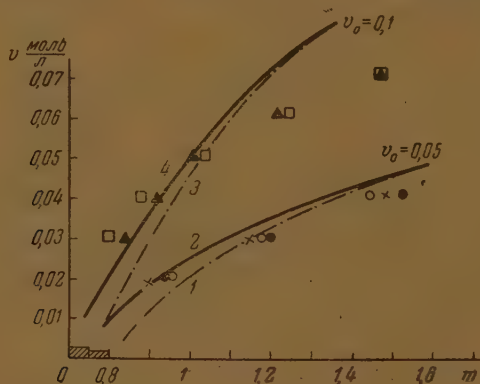


Рис. 5. Сплошные кривые —  $k = 10^{-4}$ , штрих-пунктир — кривые —  $k = 10^{-6}$ ;  $\square$  — 2,  $\triangle$  — 127,  $\circ$  — 68,  $\bullet$  — 69,  $\times$  — 126

$\text{K}_2\text{CrO}_4$  была 0,1 моль/л, а в опытах № 68, 69, 126  $v_0 = 0,05$  моль/л. На этом же рисунке нанесены теоретические кривые распределения концентраций внутреннего компонента, рассчитанные согласно (5) и (6), причем значение  $m_0$  взято из опыта. Ввиду того что точное значение  $k$  для  $\text{CuCrO}_4$  неизвестно, теоретические кривые построены для двух значений  $k$ : кривые 1 и 3 для  $k = 10^{-6}$ , 2 и 4 —  $k = 10^{-4}$ .

Приведенное сопоставление экспериментальных и теоретических данных показывает вполне удовлетворительное совпадение теории и опыта для случая малых концентраций внутреннего компонента и несколько худшее совпадение для больших значений  $v$ , что является результатом зависимости коэффициента диффузии компонентов реакции от concentra-

центрации компонентов реакции в результате осаждения ее продукта, что принималось некоторыми авторами при рассмотрении вопроса о периодическом осаждении (см., например, работы Морзе [3] и Хука [4]).

Для приведения полученных экспериментальных данных к полученному теоретическому распределению концентрации  $v(m)$  (5) и (6) из кривых рис. 4 определяется значение величины



раствора. Последнее обстоятельство теорией не учитывается. Для расчета экспериментальных данных для  $K_2CrO_4$  коэффициент диффузии принят равным  $0,9 \cdot 10^{-5}$  см<sup>2</sup>/сек, как некоторое усредненное значение введенных выше результатов измерения.

2. Из теоретически рассчитанных кривых пересыщения раствора, никающего впереди распространяющегося вдоль капилляра осадка (с. 1), напрашивается очевидный вывод о возможности периодического ждения продукта реакции. Если принять, что вероятность самопроизвольного образования зародышей в растворе растет с увеличением пересыщения раствора, то из кривых пересыщения следует, что эта вероятность наибольшая в местах максимума возникающего пересыщения, который находится на некотором расстоянии от уже образовавшегося ранее осадка. Градуса последнего  $x_0$  продвигается вдоль капилляра с некоторой определенной скоростью  $m_0$ , а место максимума пересыщения  $x_m$  впереди осадка продвигается со скоростью

$$m_m = \frac{x_m}{2\sqrt{D_v t}}, \quad (8)$$

которая может быть легко найдена из условия

$$\left. \frac{d(uv)}{dm} \right|_{m=m_m} = 0.$$

Подставив сюда выражения для концентраций по (5) и (6) и произведя дифференцирование, получим

$$\Phi(m_m) + [\Phi(m_m \sqrt{\delta}) - 1] \frac{e^{\frac{m_m^2(\delta-1)}{V\delta}}}{V\delta} = \frac{\frac{V_k}{v_0} - \Phi(m_0)}{\frac{V_k}{v_0} - 1}. \quad (10)$$

при достаточно большом коэффициенте концентрации внутреннего компонента  $n = \frac{v_0}{V_k}$ , т. е. при  $v_0 \gg V_k$ , будем окончательно иметь

$$\Phi(m_m) + [\Phi(m_m \sqrt{\delta}) - 1] \frac{e^{\frac{m_m^2(\delta-1)}{V\delta}}}{V\delta} = \Phi(m_0). \quad (11)$$

Построив графически зависимость  $m_m(m_0)$  согласно (11) и пользуясь графической зависимостью  $m_0(\lg \alpha)$  (см. [1] рис. 7б), легко построить зависимость  $m_m(\lg \alpha)$ , которая изображена на рис. 6 пунктирными линиями. На этом же рисунке нанесена сплошными линиями зависимость  $v_0(\lg \alpha)$ .

При заданных значениях  $\alpha = \frac{v_0}{u_0}$  и  $\delta = \frac{D_v}{D_u}$  величины  $m_0$  и  $m_m$  остаются постоянными и, следовательно,

$$\frac{m_m}{m_0} = \frac{x_m}{x_0} = P = \text{const} \quad (12)$$

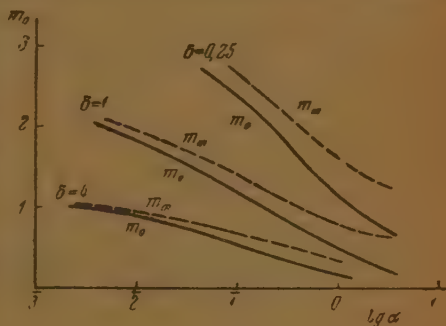


Рис. 6

(рис. 7), что выражает собой закон геометрической прогрессии между наслоениями осадка продукта реакции при периодическом его осаждении. Если считать, что следующее наслоение образуется в месте максимум пересыщения, возникающего в капилляре перед предыдущим уже образовавшимся наслоением. Полученный результат — закон возрастающей геометрической прогрессии, которому подчиняются расстояния между наслоениями осадка при его периодическом осаждении, экспериментально наблюдался ранее различными авторами, главным образом, при наблюдении периодического осаждения в гелях. Отсутствие в этих работах

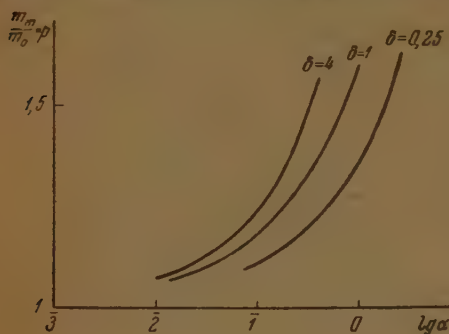
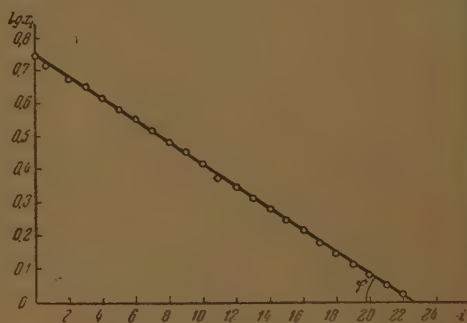


Рис. 7

достаточно полных данных значениях коэффициентов диффузии компонентов реакции в гелях и сильное влияние способа приготовления геля и его возраста на протекание процесса распространения осадка не позволяют провести количественного сопоставления теории и опыта. Количественных наблюдений по распространению осадка продукта реакции в водной среде никто не производил.

Нами были произведены количественные измерения расстояний между наслоениями осадка при периодическом осаждении  $\text{CuCrO}_4$ . Четкая и воспроизводимая периодичность осаждения наблюдается при диффузии раствора  $\text{CuSO}_4$  в раствор  $\text{K}_2\text{CrO}_4$  в некотором интервале значений  $\alpha$  (фото 1 и 2). В этом случае образуются достаточно резко ограниченные слои плотного осадка, состоящего из множества мелких кристаллов. Промежутки между наслоениями всегда были свободны от осадка. При перемене компонентов местами периодическое осаждение  $\text{CuCrO}_4$  наблюдалось не регулярно, слои образуются недостаточно четкие и промежутки между ними обычно были заполнены отдельными кристаллами более крупными, чем в слоях (фото 3 и 4). Добиться воспроизводимости было трудно. В случае осаждения  $\text{BaCrO}_4$  периодичность не наблюдалась.

Рис. 8.  $\text{tg } \varphi = 0,0335 = \lg p$ 

В случае справедливости закона геометрической прогрессии для расстояний между наслоениями простые алгебраические преобразования приводят к линейной зависимости логарифма координаты слоя осадка  $x_i$  от его номера  $i$ . Логарифм знаменателя прогрессии  $\lg P$  оказывается при этом равным тангенсу угла наклона прямой  $\lg x_i(i)$ . Производя измерения координат слоев при помощи инструментального микроскопа с точностью до 0,01 мм и строя указанную зависимость, определялся знаменатель прогрессии  $P$  в случаях периодического осаждения  $\text{CuCrO}_4$  при диффузии раствора  $\text{CuSO}_4$  в раствор  $\text{K}_2\text{CrO}_4$ . Пример такого построения приведен на рис. 8 для опыта № 6, где точками обозначены экспериментально полученные величины координат наслоений осадка.





Фото 1. Наслоения  $\text{CuCrO}_4$ . Внешний компонент  $\text{CuSO}_4$ . Увеличение 2



Фото 3. Наслоения  $\text{CuCrO}_4$ . Внешний компонент  $\text{K}_2\text{CrO}_4$ . Увеличение 2



Фото 2. Наслоения  $\text{CuCrO}_4$ . Внешний компонент  $\text{CuSO}_4$ . Увеличение около 80

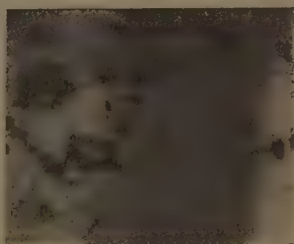


Фото 4. Слой осадка  $\text{CuCrO}_4$ . Внешний компонент  $\text{K}_2\text{CrO}_4$ . Увеличение около 80

Pe  
15  
292.7

Т  
ЕРА  
О М  
И  
Т  
И

См  
Ри  
Ст  
И  
Ч  
Ш  
С  
О  
У  
Н  
Е  
С  
И  
И



Результаты остальных опытов по определению знаменателя прогрессии сведены в табл. 2 и нанесены на рис. 9 в зависимости от отношения начальных концентраций компонентов реакции.

Таблица 2

$\alpha = 0,1$		$\alpha = 0,05$		$\alpha = 0,025$	
№ опыта	P	№ опыта	P	№ опыта	P
66	1,09	6	1,08	64	1,075
67	1,083	73	1,072	80	1,083
70	1,07	77	1,082		
		78	1,089		
		90	1,092		

Теоретическая кривая, нанесенная на рис. 9, рассчитана по (11) при предположении, что осаждение последующего слоя осадка происходит в местах максимума пересыщения, возникшего впереди образовавшегося последнего слоя.

Таким образом эксперимент подтвердил справедливость закона геометрической прогрессии для расстояний между наслоениями периодиче-

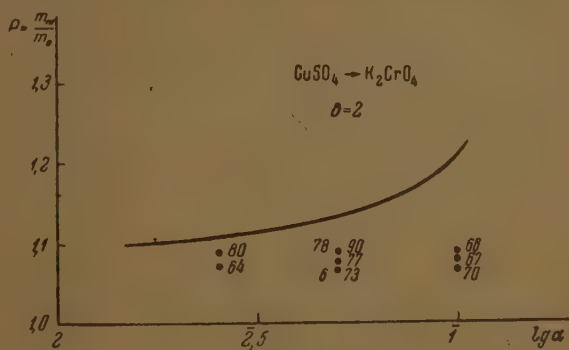


Рис. 9

ского осадка для малорастворимых солей. Однако, как это следует из рис. 9, величина знаменателя прогрессии оказалась не зависящей от отношения начальных концентраций компонентов реакции  $\alpha$ . Экспериментальные значения  $P$  меньше теоретических. Это указывает на то, что следующий слой осадка образуется не в месте максимума пересыщения, а несколько ближе к предыдущему слою. Из этого следует, что самопроизвольное образование центров кристаллизации зависит не только от величины пересыщения раствора, но и от промежутка времени, в течение которого находится раствор при данном пересыщении. Эти промежутки времени, очевидно, больше для мест, более близких к образовавшемуся слою, чем для места максимума пересыщения. Отсюда следует, что при образовании периодических наслоений осадка скоростью кристаллизации продукта реакции нельзя пренебрегать, как это было сделано при теоретическом рассмотрении вопроса распространения осадка, и оказалось справедливым приближением при расчете скорости продвижения границы осаждения и распределения концентраций компонентов реакции (см. [2]).

Периодическое осаждение продукта реакции есть, следовательно, результат определенного сочетания скоростей кристаллизации продукта реакции и диффузии реагирующих компонентов. Оптимальные условия для возникновения периодического осаждения могут быть найдены только при известной зависимости скорости кристаллизации от пересыщения раствора, что к настоящему времени еще недостаточно изучено.

В заключение необходимо отметить, что изложенный в наших сообщениях метод диффузионного смещения двух реагирующих компонентов реакции в плоском капилляре может оказаться весьма полезным при изучении вопроса о зависимости скорости образования центров кристаллизации от пересыщения раствора, так как этот метод позволяет получать определенные высокие пересыщения раствора, что вместе с изучением образующегося осадка продукта реакции может привести к решению указанного вопроса. Подробное изложение метода можно найти в диссертации [5].

### Выводы

1. Измерен коэффициент диффузии  $K_{CrO_4}$ .
2. Измерена концентрация внутреннего компонента реакции в плоском капилляре при образовании осадка малорастворимого продукта реакции, чем еще раз показана справедливость изложенной теории распространения осадка и возникновения пересыщения впереди него.
3. Теоретически и экспериментально подтвержден вывод о справедливости закона возрастающей геометрической прогрессии для расстояний между наслоениями осадка при его периодическом распределении.
4. Экспериментально показано, что возникновение периодического осаждения продукта реакции при взаимной диффузии реагирующих компонентов есть результат определенного сочетания скоростей диффузии реагирующих компонентов и скорости кристаллизации продукта реакции.
5. Указано на возможность применения метода диффузионного смещения реагирующих компонентов реакции в плоском капилляре для получения определенных высоких пересыщений в растворах.

Поступила  
13.VII.1949

### ЛИТЕРАТУРА

1. П. Б. Афанасьев, Я. Б. Зельдович, О. М. Тодес, Журн. физ. химии, 23, 156, 1949.
2. П. Б. Афанасьев, О. М. Тодес, Журн. физ. химии 25, 1277, 1951.
3. Morse u. Pierce, ZS. phys. Chem., 45, 589, 1903.
4. A. V. Hook, Journ. Phys. Chem., 44, 751, 1940; 45, 879, 1941.
5. П. Б. Афанасьев, Диффузионный метод создания определенных высоких пересыщений в растворах, Диссертация. Ленингр. ин-т точной механики и оптики, 1950.



## АДСОРБЦИЯ ИОНОВ НА МОНОСЛОЯХ ЖИРНЫХ КИСЛОТ

### 3. ОБРАЗОВАНИЕ СМЕШАННЫХ БИМОЛЕКУЛЯРНЫХ ПЛЕНОК НА РАСТВОРАХ, СОДЕРЖАЩИХ ИОНЫ СЕРЕБРА

*М. А. Герович и Р. И. Каганович*

В сообщении 2 было показано, что при взаимодействии между ионами серебра, адсорбированными на монослое жирной кислоты, и молекулами последней образуется бимолекулярная пленка, состоящая из элементарных ячеек нейтрального серебряного мыла.

В настоящей работе было исследовано поведение смешанных пленок состава — омега-бромдодеканкарбоновая кислота + пальмитиновая кислота — на растворах, содержащих ионы серебра. При этом мы полагали, что такое исследование, как это вытекает из приведенных ниже рассуждений, может дать ценные сведения для проверки выдвинутых в предыдущей работе предположений относительно структуры бимолекулярной пленки.

Относительно поверхностных свойств омега-бромдодеканкарбоновой кислоты известно из работ одного из нас [1, 2], что, будучи реализована иде мономолекулярной пленки, она обуславливает на границе раствор—воздух высокий отрицательный скачок потенциала ( $\sim 900$  mV), возникающий благодаря ориентации связи C—Br. Однако эти пленки чрезвычайно устойчивы из-за наличия электрических отталкивательных сил, действующих между одинаково ориентированными группами C—Br. Добавление к омега-бромкислоте незамещенной жирной кислоты делает эту пленку сойчивой, так как при этом происходит удаление групп C—Br друг от друга и ослабление отталкивательных сил между ними. При этом отрицательный потенциал такой смешанной пленки убывает по мере увеличения процентного содержания незамещенной жирной кислоты в смеси. Так, например, смешанная пленка состава 50% омега-бромдодекановой кислоты + 50% пальмитиновой кислоты дает поверхностный потенциал, равный  $-180$  mV.

Если такую смешанную пленку нанести на нейтральный или слабощелочной раствор азотнокислого серебра, то на основании данных предыдущей работы можно ожидать и в этом случае образования бимолекулярной пленки. Однако следует иметь в виду, что молекулы омега-бромдодеканкарбоновой кислоты на растворах азотнокислого серебра омыляются образованием молекул омега-оксидодеканкарбоновой кислоты, обладающих более гидрофильными свойствами по сравнению с молекулами омега-оксикислоты или незамещенной жирной кислоты. Из этого следует, что образование бимолекулярной пленки в этом случае облегчается, так как погружение в раствор более гидрофильной молекулы осуществляется меньшей затратой энергии. Это последнее обстоятельство должно определить структуру смешанной бимолекулярной пленки, состоящей из нижнего слоя молекул серебряной соли омега-оксидодеканкарбоновой кислоты, обращенных связью C—OH в раствор, и верхнего слоя молекул пальмитата серебра, обращенных неполярным концом (углеводородной цепью) в воздух.

Потенциал такой смешанной бимолекулярной пленки не может, как в случае бимолекулярной пленки жирной кислоты, быть равным нулю,

а должен иметь положительное значение в связи с тем, что положительный конец диполя С—ОН находится ближе к поверхности раздела.

Таким образом, если наше рассуждение относительно образования структуры смешанной бимолекулярной пленки указанного выше состав правильно, то, кроме уменьшения площади наполовину, должно наблюдаться изменение поверхностного потенциала от отрицательного значения (соответствующего смешанной мономолекулярной пленке) до положительного значения (соответствующего смешанной бимолекулярной пленке).

### Экспериментальная часть

Были сняты кривые поверхностный потенциал — площадь и давление — площадь смешанных пленок состава омега-бромдодеканкарбоновая кислота + пальмитиновая кислота и омега-окситетрадеканкарбоновая кислота + пальмитиновая кислота с различным процентным содержанием омега-соединения (10, 25, 50 и 75%) на растворе  $1 \cdot 10^{-5}$  азотнокислого серебра +  $1 \cdot 10^{-5}$   $N$  серной кислоты.

Как и в предыдущей работе, измерение поверхностного потенциала производилось при помощи радиоактивного зонда по методу А. И. Фрумкина, а двухмерное давление при помощи крутильных весов, прикрепленных к стеклянной ванне, в которую помещался исследуемый раствор. Измерение производилось следующим образом: на предварительно очищенную поверхность исследуемого раствора наносился бензольный раствор исследуемой смеси, и после некоторой выдержки, при постепенном сжатии образовавшейся пленки, измерялись поверхностный потенциал и давление.

### Результаты и их обсуждение

Результаты измерения поверхностного потенциала и двухмерного давления смешанной пленки состава 50% омега-бромдодеканкарбоновой ки

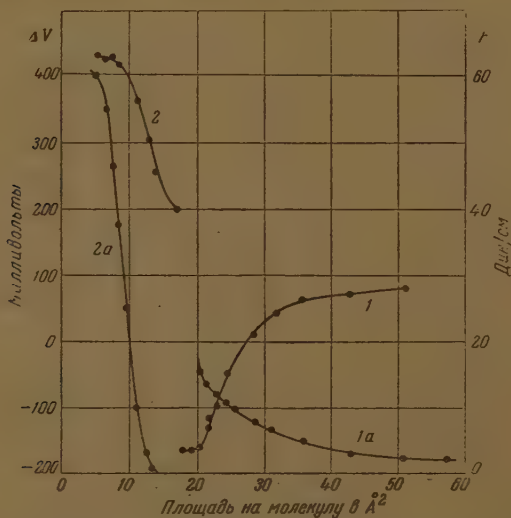


Рис. 1. Кривые зависимости поверхностного потенциала и давления для смешанных пленок состава — 50% омега-бромдодеканкарбоновой кислоты + 50% пальмитиновой кислоты, кривая 1а — давления и 1 — потенциала на  $10^{-5}$   $N$   $H_2SO_4$ ; кривая 2а — давления и 2 — потенциала на растворе  $1 \cdot 10^{-5}$   $N$   $H_2SO_4$  +  $1 \cdot 10^{-3}$   $N$   $AgNO_3$ .

лоты + 50% пальмитиновой кислоты на  $1 \cdot 10^{-5}$   $N$  серной кислоте, в зависимости от площади на молекулу представлены на рис. 1 в виде кривых 1 и 1а.



Из кривой потенциал—площадь (1) видно, что при уменьшении площади потенциал переходит от положительных к отрицательным значениям и площади, равной  $20 \text{ \AA}^2$ , соответствующей разрушению мономолекулярной пленки, достигает предельной величины —  $170 \text{ mV}$ . Форма кривой — площадь указывает на расширенное состояние смешанной пленки, что обусловлено наличием отталкивательных сил. Если эту смесь в тот же раствор, к которому прибавлено азотнокислое серебро концентрации  $1 \cdot 10^{-3} \text{ N}$ , то наблюдается довольно быстрое уменьшение

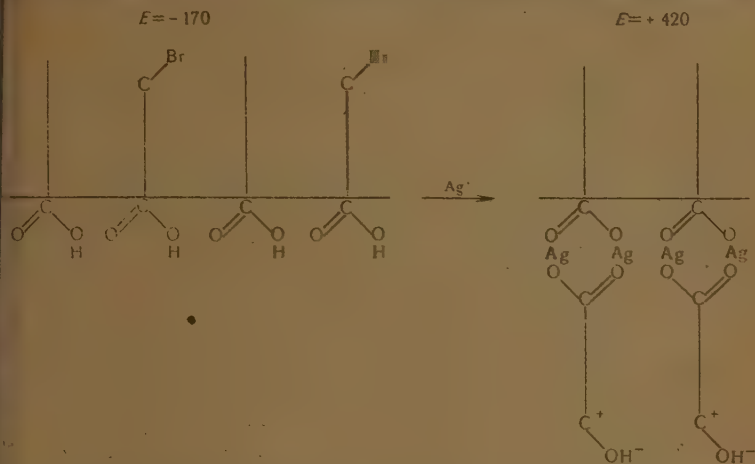


рис. 2. Схематическое изображение структуры смешанной бимолекулярной пленки, образованной под влиянием ионов серебра (при 50% содержании омега-соединения в смеси)

поверхностного потенциала, что, очевидно, свидетельствует о разрушении мономолекулярной смешанной пленки. В последующем, после некоторой выдержки, сжатия пленки наблюдается резкий рост положительного потенциала, достигающего предельного значения, равного  $+420 \text{ mV}$  при площади на молекулу, приблизительно равной половине площади соответствующей мономолекулярной пленке олеиновой кислоты. Это изменение потенциала при сжатии пленки характеризуется кривой 2 на рис. 1.

Найденное путем интерполяции  $F - s$  кривой точное значение площади молекулу при нулевом давлении равно  $11 \text{ \AA}^2$ , т. е. половине площади, занимаемой молекулой жирной кислоты в мономолекулярной пленке.

Таким образом, на основании анализа приведенных выше  $E - s$  и  $F - s$  кривых можно считать, что высказанное выше предположение относительно образования смешанной бимолекулярной пленки полностью подтвердилось. Происходящий под влиянием ионов серебра переход от мономолекулярной смешанной пленки, указанного выше состава, к смешанной бимолекулярной пленке и структуру последней можно представить, как это изображено на рис. 2.

Далее были сняты  $E - S$  и  $F - S$  кривые для смешанных пленок с различным содержанием омега-бромкислоты в смеси на  $10^{-5} \text{ N}$  серной кислоте в отсутствие и в присутствии ионов серебра. Для смешанной пленки состава 25% омега-бромдodeканкарбоновой кислоты + 75% пальмитиновой кислоты такие кривые приведены на рис. 3.

Сравнение кривых потенциал — площадь и давление — площадь (кривые 1 и 1а рис. 3), снятых для смеси с 25% содержанием омега-бромкислоты на  $1 \cdot 10^{-5} \text{ N}$  серной кислоте, не содержащей ионов серебра, с соответ-

ствующими кривыми, снятыми на том же растворе для смеси с 50% содержанием омега-бромкислоты (кривые 1 и 1а рис. 1), показывает, что уменьшение концентрации омега-соединения приводит к повышению положительного значения поверхностного потенциала и уплотнению смешанной пленки. Сравнение же  $E-s$  и  $F-s$  кривых, снятых на растворе  $1 \cdot 10^{-5}$  N серной кислоты +  $1 \cdot 10^{-3}$  N азотнокислого серебра, для смешанной пленки с 25% (кривые 2 и 2а рис. 3) с кривыми для смешанной пленки с 50% содержанием омега-бромкислоты (кривые 2 и 2а рис. 1) обнаружив

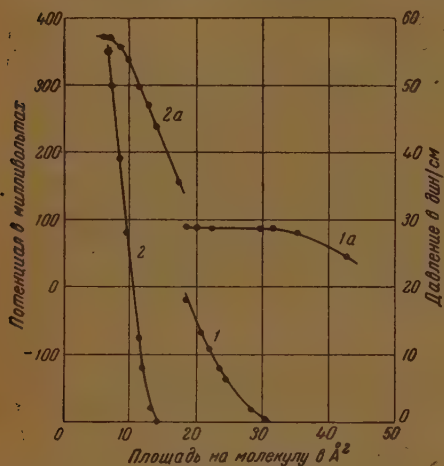


Рис. 3. Кривые зависимости поверхностного потенциала и давления для смешанных пленок состава—25% омега-бромдодеканкарбоновой кислоты+75% пальмитиновой кислоты: Кривая 1—давления и 1а—потенциала на  $1 \cdot 10^{-5}$  N  $\text{H}_2\text{SO}_4$ ; кривая 2—давления и 2а—потенциала на растворе  $1 \cdot 10^{-5}$  N  $\text{H}_2\text{SO}_4$  +  $1 \cdot 10^{-3}$  N  $\text{AgNO}_3$

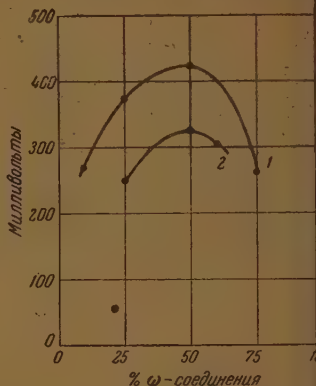


Рис. 4. Зависимость предельного значения поверхностного потенциала смешанной бимолекулярной пленки от процентного содержания омега-соединения в смеси. Кривая 1—для пленки состава—оmega-бромдодеканкарбоновая кислота+пальмитиновая кислота; кривая 2—пленки состава—оmega-окситетраканкарбоновая кислота+пальмитиновая кислота

понижение положительного значения потенциала при уменьшении концентрации омега-соединения в смеси, в то время как величина площади молекулу остается неизменной, равной половине площади, характерной для мономолекулярной пленки.

Приведенные в табл. 1 данные, характеризующие зависимость величины предельного поверхностного потенциала пленки от процентного содержания омега-соединения в смеси, показывают, что понижение потенциала смешанной пленки на растворах, содержащих ионы серебра, имеет место также при концентрациях омега-соединения, превышающих 50%.

Таблица 1

Содержание омега-соединения в смешанной пленке в %	Предельн. поверхн. потенциал
10	+ 270
25	+ 370
50	+ 418
75	+ 360

Построенная на основании данных табл. 1  $E-s$  кривая (рис. 4 кривая 1) имеет явно выраженный максимум в точке, соответствующей 50% содержанию омега-соединения.

Наличие максимума на кривой, выражающей зависимость потенциала от концентрации омега-соединения, в смешанной пленке легко яснить с точки зрения выдвинутых нами представлений об образовании молекулярных смешанных пленок.

Максимальное значение поверхностного потенциала для случая, когда молекул омега-соединения в смеси равно 50%, обусловлено предельным заполнением нижнего слоя бимолекулярной пленки омега-окисными молекулами, образовавшимися в результате омыления омега-бромолоты, как это показано на рис. 2.

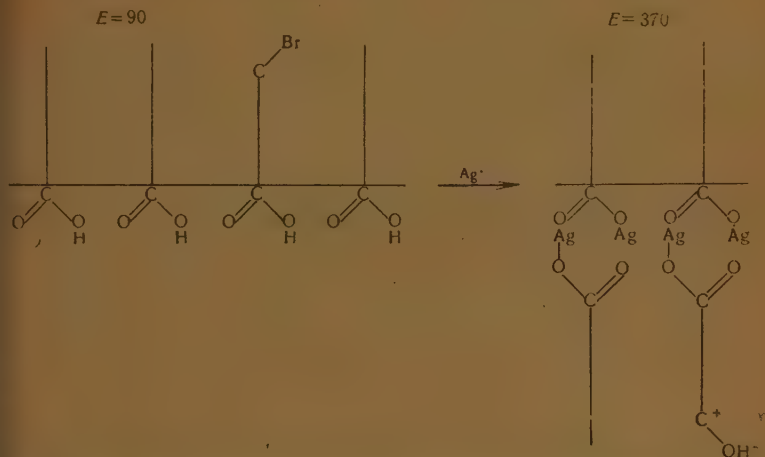


Рис. 5. Схематическое изображение структуры смешанной бимолекулярной пленки при содержании омега-бромосоединения, равном 25%

Естественно, что уменьшение концентрации омега-соединения в смеси приводит к снижению поверхностного потенциала, так как в этом случае плотность ориентированных положительным концом к поверхности раздела диполей C—OH в нижнем слое бимолекулярной пленки уменьшается (рис. 5). Снижение поверхностного потенциала смешанной пленки при переходе к более высоким (чем 50%) содержаниям омега-соединения объясняется тем, что при этом нижний слой бимолекулярной пленки оказывается заполненным ориентированными молекулами омега-соединения, а избыточное (сверх 50%) количество молекул должно ориентироваться в верхнем слое, снижая результирующую величину дипольного момента (рис. 6).

Выше при рассмотрении превращения мономолекулярной смешанной пленки в бимолекулярную под влиянием адсорбированных в поверхностном слое ионов серебра мы исходили из предположения о том, что на расорах азотнокислого серебра происходит омыление группы C—Br с образованием группы C—OH.

Для доказательства справедливости такого предположения были сняты  $s$  и  $F-s$  кривые для смешанных пленок состава — омега-окситетракапкарбоновая кислота + пальмитиновая кислота с 25, 50 и 75% содержанием омега-соединения. Кривые, полученные в результате этих опытов, характерны для бимолекулярных пленок.

Приведенная на рис. 4 кривая 2, характеризующая зависимость предельного значения поверхностного потенциала от концентрации омега-соединения в смеси, обнаруживает ход, аналогичный кривой 1 (рис. 4), выражающий ту же зависимость для омега-бромосоединения, и имеет максимум также в точке, соответствующей 50% смеси. Таким образом резуль-



таты этих определений могут служить доказательством правильности сделанного нами предположения.

Как видно из сравнения кривых 1 и 2 рис. 4, последняя сдвинута в сторону меньших потенциалов, в среднем приблизительно на 100 mV, что, по видимому, объясняется недостаточной чистотой применявшейся омега-окситетрадеканкарбоновой кислоты.



Рис. 6. Схематическое изображение структуры смешанной бимолекулярной пленки при содержании омега-бромсоединения в смеси, равном 75%

### Выводы

1. Методом измерения поверхностного потенциала и давления исследованы электрические и механические свойства смешанных пленок состава — омега-бромдodeканкарбоновая кислота + пальмитиновая кислота на растворах, содержащих ионы серебра.

2. Показано, что в результате взаимодействия карбоксильной группы кислоты с ионами серебра образуются смешанные бимолекулярные пленки серебряного мыла.

3. На основании анализа кривых потенциал—площадь и потенциал—концентрация омега-бромсоединения дано представление о структуре образующихся в поверхностном слое смешанных бимолекулярных пленок.

Московский государственный университет  
им. М. В. Ломоносова

Поступила  
17.VII.1950

### ЛИТЕРАТУРА

1. М. А. Герович и Д. С. Варгин, Изв. АН СССР, хим. сер., 1075, 1937.
2. М. А. Герович и Д. С. Варгин, Вестн. МГУ, 8, 79, 1949.

ДАВЛЕНИЕ НАСЫЩЕННЫХ ПАРОВ 2-МЕТИЛАЛКАНОВ  $C_9-C_{24}$ 

М. Д. Тиличев и А. В. Иогансен

Накопление и систематизация данных по давлению насыщенных паров индивидуальных углеводородов, а также установление в этой области широческих закономерностей имеют большое практическое значение.

Одним из обобщающих путей в этой области является установление эмпирических закономерностей по давлению насыщенных паров углеводородов дальних гомологических рядов. Этот путь дает возможность не только проверять, а иногда и исправлять имеющиеся экспериментальные данные, и вычислять отсутствующие значения для большого числа углеводородов одного гомологического ряда.

В другой работе [4] одним из нас было показано, что наиболее удобным уравнением для описания зависимости давления насыщенного пара углеводородов от температуры следует считать уравнение с тремя постоянными коэффициентами следующего типа:

$$\lg P = A - \frac{B}{C + t} \quad (1)$$

В статье [1] нами было показано, что для вычисления констант  $A$ ,  $B$  и  $C$  уравнения (1) достаточно знать температуры кипения при трех избранных давлениях, в качестве каковых мы избрали 760, 100 и 10 мм рт. ст.

В цитированной статье [1] было найдено, что отношения температур кипения  $n$ -алканов при различных давлениях точно подчиняются уравнению следующего вида:

$$T_P/T_{P'} = a + b \lg n, \quad (2)$$

где  $T_P$  и  $T_{P'}$  — температуры кипения (в °K) при давлениях  $P$  и  $P'$ ,  $n$  — число углеродных атомов в молекуле углеводорода и  $a$  и  $b$  — постоянные для данных  $P$  и  $P'$ .

Поэтому знание температур кипения при каком-либо одном избранном давлении, например при 760 мм, и знание значений констант  $a$  и  $b$  дает возможность вычислить значения температур кипения при 100 и 10 мм рт. ст., а отсюда вычислить значения констант  $A$ ,  $B$  и  $C$  уравнения (1). Таким путем в цитированной статье были вычислены значения констант  $A$ ,  $B$  и  $C$  уравнения (1) для  $n$ -алканов  $C_{11}$  и  $C_{13}-C_{40}$ .

Целью настоящей работы является вычисление давления насыщенных паров 2-метилалканов, которые представляют собой одну из распространенных составных частей нефти и продуктов ее переработки. В настоящее время имеются точные данные по давлению насыщенных паров первых членов этого ряда, а именно  $C_5-C_8$ . Кроме того, известны нормальные температуры кипения 2-метилоктана и 2-метилнонана. Для высших членов ряда надежные данные отсутствуют, за исключением 2-метилтрикозана ( $C_{24}$ ), для которого экспериментально определена [3] температура кипения при 3 мм (205,0° C).

Этих данных оказывается недостаточно для установления точной закономерности значения  $t_{760}$  от числа углеродных атомов, как это было сделано для  $n$ -алканов [1]. Поэтому для вычисления значения  $t_{760}$  решено было изучить другую закономерность, а именно изменение разности между

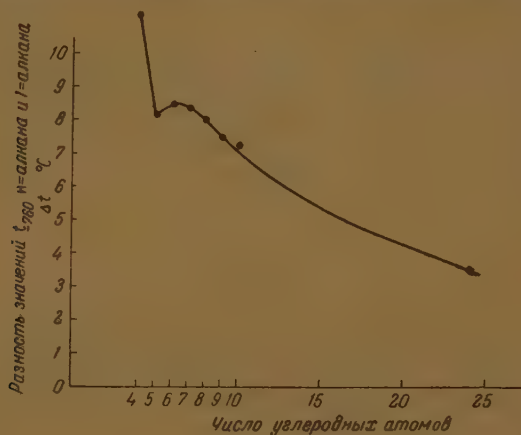
значениями  $t_{760}$  *n*-алканов и 2-метилалканов с одним и тем же числом углеродных атомов.

На основании данных Мези [3] о разности в значениях температур кипения при 3 мм *n*-тетракозана и 2-метилтрикозана, равной  $3,6^\circ$ , было принято (с известным приближением), что нормальная температура кипения 2-метилтрикозана ( $C_{24}$ ) также отличается от значения  $t_{760}$  *n*-тетракозана на  $3,6^\circ$ .

Нормальные температуры кипения *n*-алканов и 2-метилалканов  $C_4$ — $C_{10}$  и  $C_{24}$  и разности между ними приведены в табл. 1.

### Нормальные температуры кипения ( $t_{760}$ ) 2-метилалканов

Зависимость разности между значениями  $t_{760}$  *n*-алканов и соответствующих 2-метилалканов от числа углеродных атомов показана графически на рисунке.



ски на рисунке. Из рисунка видно, что разность между нормальными температурами кипения первых членов ( $C_4$ — $C_7$ ) *n*-алканов и соответствующих 2-метилалканов с ростом молекулярного веса меняется не равномерно.

Таблица 1

Нормальные температуры кипения ( $t_{760}$ ) *n*-алканов и 2-метилалканов

Число углеродных атомов	$t_{760}$		$\Delta t$ (I) — (II)
	<i>n</i> -алканов (I)	2-метилалканов (II)	
$C_4$	—0,50 [4]	—11,72 [4]	11,22
$C_5$	36,073 [5]	27,852 [5]	8,221
$C_6$	68,740 [5]	60,271 [5]	8,469
$C_7$	98,426 [6]	90,052 [6]	8,374
$C_8$	125,665 [5]	117,647 [5]	8,018
$C_9$	150,798 [6]	143,255 [7]	7,543
$C_{10}$	174,123 [5]	166,8 [2]	7,3
$C_{24}$	394,6 [1]	391,0*	3,6*

\* Принято в настоящей работе на основании данных Мези [3]. (см. текст).



связи с этим и отсутствием надежных данных для следующих за 2-метилнонаном членов гомологического ряда попытки подобрать уравнение, удовлетворительно описывающее зависимость разности между нормальными температурами кипения  $n$ -алканов и 2-метилалканов от числа углеродных атомов и в то же время пригодное для экстраполяции в сторону нижних членов гомологического ряда, не дали удовлетворительных результатов. Поэтому указанные значения  $\Delta t$  для 2-метилалканов  $C_{10} - C_{24}$  были вычислены графическим путем на основании кривой рис. 1. При помощи полученных данных и нормальных температур кипения  $n$ -алканов  $C_{10} - C_{24}$ , взятых из работ [1, 4, 5, 6], были вычислены значения  $t_{760}$  для 2-метилалканов  $C_{10} - C_{24}$  (табл. 2).

Вычисленная указанным путем нормальная температура кипения 2-метилнонана оказалась равной  $167,0^\circ \text{C}$ , т. е. на  $0,2^\circ$  выше значения, экспериментально найденного [2]. Вычисленное значение  $167,0^\circ \text{C}$  мы приняли в качестве наиболее надежного.

Вероятная ошибка вычисленных таким путем значений  $t_{760}$ , а также  $t_{10}$  и  $t_{10}$  (см. ниже) для 2-метилнонана равна  $0,1 - 0,2^\circ \text{C}$ , для 2-метилалканов  $C_{11} - C_{12}$  — несколькими десятками долей градуса. С дальнейшим увеличением числа углеродных атомов вероятная ошибка постепенно увеличивается и для 2-метилтрикозана ( $C_{24}$ ) может достигнуть  $1 - 2^\circ$ .

Таблица 2

Число углеродных атомов	$T_{760}/T_{100}$		Отклонение, эксперим. — выч., %	$T_{760}/T_{10}$		Отклонения эксперим. — выч., %
	экспериментальн.	вычисл. по уравнению (3)		экспериментальн.	вычисл. по уравнению (4)	
5	1,1897	1,1898	—0,008	1,3920	1,3921	0,007
6	1,1857	1,1856	0,008	1,3883	1,3831	0,014
7	1,1821	1,1820	0,008	1,3755	1,3756	—0,007
8	1,1790	1,1790	0,000	1,3689	1,3690	—0,007

Температура кипения 2-метилалканов при 100 и 10 мм рт. ст.

На основании данных работ [5, 6] по значениям  $t_{760}$ ,  $t_{100}$  и  $t_{10}$  для 2-метилалканов  $C_5 - C_8$  были вычислены по способу наименьших квадратов значения констант  $a$  и  $b$  уравнения (2) для отношений  $T_{760}/T_{100}$  и  $T_{760}/T_{10}$ :

$$T_{760} / T_{100} = 1,2269 - 0,0531 \lg n; \quad (3)$$

$$T_{760} / T_{10} = 1,4713 - 0,1133 \lg n. \quad (4)$$

В табл. 2 сопоставляются экспериментально найденные [5, 6] отношения  $T_{760} / T_{100}$  и  $T_{760} / T_{10}$  со значениями, вычисленными по уравнениям (3) и (4). Из данных табл. 2 видно, что уравнение типа (2) распространяется не только на  $n$ -алканы, но и на 2-метилалканы. Поэтому можно надеяться, что найденная нами эмпирическая закономерность, выражаемая уравнением (2), носит общий характер и применима ко многим гомологическим рядам углеводородов и других органических соединений.

Основываясь на полученных прежде результатах для ряда  $n$ -алканов [1], можно с достаточной для практических целей точностью экстраполировать уравнения (3) и (4) в сторону высших членов ряда 2-метилалканов. Вычисленные температуры кипения 2-метилалканов  $C_{10} - C_{24}$  при 100 и 10 мм рт. ст. приведены в табл. 3.

Таблица 3

Температура кипения 2-метилалканов при 760, 100  
и 10 мм рт. ст.

Число угле- род- ных атомов	$t_{760}$ н-алканов °C	$\Delta t,$ $t_{760}$ н-алк. — $t_{760}$ 2-мет.-алк. °C	2-метилалканы		
			$t_{760}$ °C	$t_{100}$ °C	$t_{10}$ °C
C <sub>9</sub>	150,80	7,54	143,26	80,88	32,31
C <sub>10</sub>	174,1	7,1	167,0	101,8	51,0
C <sub>11</sub>	195,9	6,7	189,2	121,5	68,5
C <sub>12</sub>	216,3	6,3	210,0	139,9	85,0
C <sub>13</sub>	235,5	6,0	229,5	157,3	100,5
C <sub>14</sub>	253,6	5,7	247,9	173,7	115,2
C <sub>15</sub>	270,8	5,4	265,4	189,3	129,3
C <sub>16</sub>	287,1	5,2	281,9	204,0	142,6
C <sub>17</sub>	302,7	5,0	297,7	218,3	155,4
C <sub>18</sub>	317,5	4,8	313	232	168
C <sub>19</sub>	331,7	4,6	327	245	179
C <sub>20</sub>	345,3	4,4	341	257	191
C <sub>21</sub>	358,3	4,2	354	269	201
C <sub>22</sub>	370,9	3,9	367	281	212
C <sub>23</sub>	383,0	3,8	379	291	222
C <sub>24</sub>	394,6	3,6	391	302	232

Таблица 4

Константы уравнения (1) для 2-метилалканов C<sub>9</sub>—C<sub>24</sub>

Число углеродных атомов	Значения констант A, B и C		
	A	B	C
C <sub>9</sub>	6,9863	1449,77	209,87
C <sub>10</sub>	6,9951	1521,3	202,75
C <sub>11</sub>	7,0585	1624,3	199,60
C <sub>12</sub>	7,0636	1685,6	192,99
C <sub>13</sub>	7,125	1783	190,6
C <sub>14</sub>	7,155	1856	186,4
C <sub>15</sub>	7,156	1904	180,0
C <sub>16</sub>	7,151	1946	173,7
C <sub>17</sub>	7,223	2044	173,1
C <sub>18</sub>	7,19	2050	164
C <sub>19</sub>	7,46	2330	181
C <sub>20</sub>	7,11	2060	146
C <sub>21</sub>	7,37	2320	164
C <sub>22</sub>	7,41	2390	161
C <sub>23</sub>	7,08	2130	128
C <sub>24</sub>	7,12	2190	127

Давление насыщенных паров 2-метилалканов C<sub>9</sub>—C<sub>24</sub>

На основании вычисленных значений температур кипения 2-метилалканов C<sub>9</sub>—C<sub>24</sub> при трех стандартных давлениях, 760, 100 и 10 мм рт. ст., для них были вычислены помещенные в табл. 4 константы уравнения (1) для описания зависимости давления насыщенного пара от температуры. Следует отметить, что малая точность вычисленных констант целиком определяется малой точностью значений нормальных температур кипения. При наличии более надежных данных по последним, при помощи зна-

ительно более точных соотношений (3) и (4) нетрудно будет улучшить значения вычисленных констант уравнения (1)

### Выводы

1. Установлена графическим путем зависимость разности между нормальными температурами кипения  $n$ -алканов и соответствующих 2-метилалканов от числа углеродных атомов. Эта разность с увеличением числа углеродных атомов молекулы углеводорода для первых членов ( $C_4—C_7$ ) гомологических рядов меняется неравномерно, после чего равномерно уменьшается. На основании установленной закономерности впервые вычислены значения нормальных температур кипения 2-метилалканов  $C_{10}—C_{24}$ .

2. Найдено, что отношения температур кипения (в  $^{\circ}K$ ) 2-метилалканов, а именно  $T_{760}/T_{100}$  и  $T_{760}/T_{10}$ , находятся в следующей зависимости от числа углеродных атомов ( $n$ ):

$$T_{760} / T_{100} = 1,2269 - 0,0531 \cdot \lg n,$$

$$T_{760} / T_{10} = 1,4713 - 0,1133 \lg n.$$

Зависимость этого типа имеет, повидимому, общий характер и применима ко многим гомологическим рядам углеводородов и других органических соединений.

3. На основании указанной закономерности и вычисленных значений нормальных температур кипения 2-метилалканов были вычислены температуры кипения 2-метилалканов  $C_9—C_{24}$  при 100 и 10 мм рт. ст, а отсюда — значения констант  $A$ ,  $B$  и  $C$  трехчленного уравнения зависимости давления насыщенного пара от температуры типа

$$\lg P = A - \frac{B}{C + t}.$$

4. Указанным путем была впервые установлена зависимость давления насыщенного пара от температуры для 2-метилалканов  $C_9—C_{24}$ . Вероятная ошибка вычисленных на основании найденной зависимости значений температур кипения 2-метилалканов равна  $0,1^{\circ}$  для 2-метилоктана ( $C_9$ ) и, постепенно увеличиваясь, может достигнуть  $1—2^{\circ}$  для 2-метилтрикозана ( $C_{24}$ ).

Москва

Поступила  
17.VII.1950

### ЛИТЕРАТУРА

1. М. Д. Тиличев и А. В. Погансен, Журн. физ. хим., 24, 770, 1950.
2. G. Calingaert a. H. Soroos, Journ. Amer. Chem. Soc., 58, 635, 1936.
3. Mazee W. M., Rec. trav. chim., 67, 562, 1948.
4. М. Д. Тиличев, Давление насыщенных паров низших углеводородов (от  $C_1$  до  $C_4$ ); «Физико-химические свойства индивидуальных углеводородов», вып. 2, под ред. М. Д. Тиличева, Москва — Ленинград. Гостоптехиздат. 1947, гл. IV.
5. C. B. Willingham, W. J. Taylor, J. M. Pignocco a. F. D. Rossini, Journ. Res. Nat. Bur. Stand., 35, 219, 1945.
6. A. F. Forziati, W. F. Norris a. F. D. Rossini, Journ. Res. Nat. Bur. Stand., 43, 555, 1949.
7. J. D. White a. A. R. Glasgow, Jr., Journ. Res. Nat. Bur. Stand., 19, 423, 1937.



## ЭНЕРГИЯ СМЕШЕНИЯ ДВОЙНЫХ МЕТАЛЛИЧЕСКИХ СПЛАВОВ

## II. СИСТЕМА ВИСМУТ — КАДМИЙ

*Я. Е. Гегузин и В. Я. Пинес*

В предыдущем сообщении [1] было показано, что у двойных сплавов теплоты плавления и дополнительная теплоемкость в области расслоения зависят от энергии смешения в твердой и жидкой фазах. Для системы свинец — олово удалось по данным измерений теплот плавления сплавов и теплоемкости в области расслоения определить энергии смешения в твердой ( $\alpha$ ) и жидкой фазе и показать, что построенная по этим константам системы диаграмма равновесия совпадает с экспериментально известной. Ниже излагаются результаты аналогичных измерений со сплавами системы висмут — кадмий. Эта система обладает диаграммой равновесия с эвтектической точкой, причем в твердой фазе оба компонента взаимно нерастворимы.

## Результаты измерений

Было исследовано 10 сплавов системы висмут — кадмий. Теплоты плавления и температурная зависимость теплоемкости в области расслоения измерялись, как и в предыдущей работе, при помощи высокотемпературного адиабатического калориметра [1]. Измерения проводились над образцами, находившимися под слоем расплавленного парафина. На рис. 1 сплошными линиями изображены экспериментальные кривые теплоемкости  $C = C(T)$ .

Кривые, относящиеся к доэвтектическим сплавам, имеют следующие особенности:

- 1) при температуре плавления эвтектики наблюдается бесконечный скачок теплоемкости;
- 2) все сплавы в области расслоения имеют повышенную теплоемкость, мало зависящую от температуры;
- 3) при температуре линии «ликвидус» для каждого из сплавов наблюдается скачкообразное уменьшение теплоемкости до значения теплоемкости в жидкой фазе;
- 4) теплоемкость жидкой фазы больше теплоемкости твердой фазы. Эвтектический сплав обнаруживает один бесконечный скачок теплоемкости.

Кривые, относящиеся к заэвтектическим сплавам, сходны с кривыми для доэвтектических сплавов, но у сплавов висмут — кадмий (27—73%/о) и (16—84%/о) за бесконечным скачком наблюдается падение теплоемкости, после чего следует ее рост. На рис. 2 изображены кривые концентрационной зависимости полных и «конфигурационных» теплот (см. [1]). Значения «конфигурационных» теплот определялись из полных путем вычитания теплоты, расходуемой на нагрев сплавов в области расслоения ( $-Q_n$ ). Метод вычисления величины  $Q_n$  изложен в предыдущей статье [1]. При определении  $Q_n$  была использована зависимость теплоемкости от концентрации в твердой и жидкой фазах (рис. 3).

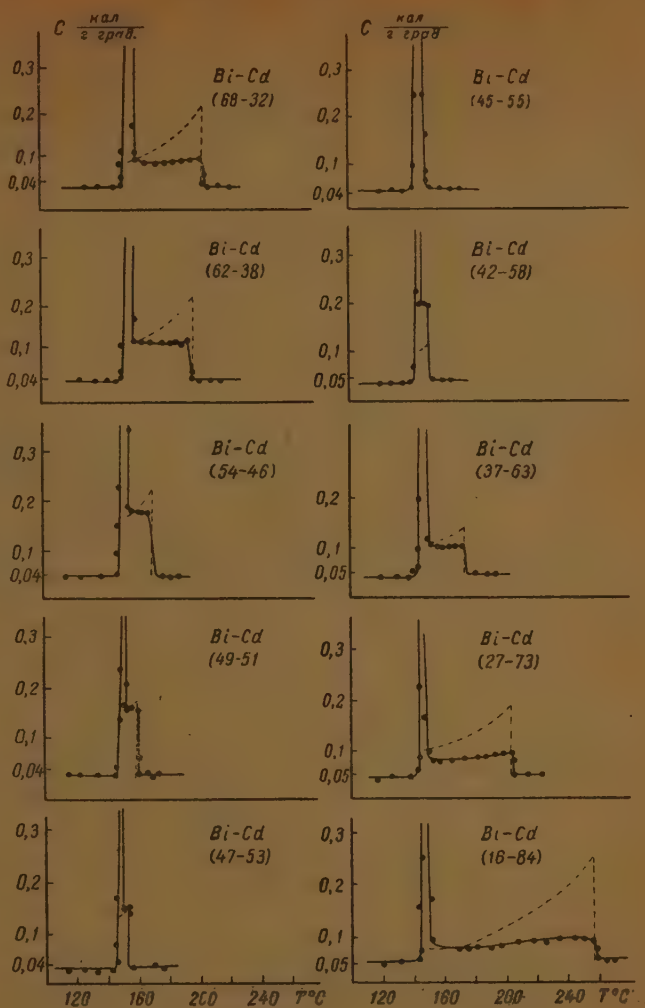


Рис. 1. Сплошная кривая — экспериментальная; пунктирная — расчетная

### Энергия смещения в жидкой фазе

«Конфигурационная» теплота плавления  $Q_K$  равна

$$Q_K = E_{ж} - E_T, \quad (1)$$

где  $E_{ж}$  — энергия сплава в жидкой фазе,  $E_T$  — энергия сплава в твердой фазе.

Энергия жидкого сплава в приближении, данном в [2, 3], равна

$$E_{ж} = N \left\{ \frac{U_{AA}^I}{2} (1-a) + \frac{U_{BB}^I}{2} a + U_0^I (1-a) \right\} \quad (2)$$

$\left( \frac{U_{AA}^I}{2} \right.$  и  $\left. \frac{U_{BB}^I}{2} \right.$  — взаимные потенциальные энергии одноименных атомов:

$U_0^I$  — энергия смешения в жидкой фазе,  $a$  — концентрация).

В твердой фазе, поскольку полностью отсутствует взаимная растворимость компонент и сплав представляет смесь кристалликов висмута и кадмия, энергия равна

$$E_T = N \left\{ -\frac{U_{AA}^{II}}{2} (1-a) + \frac{U_{BB}^{III}}{2} a \right\} \quad (3)$$

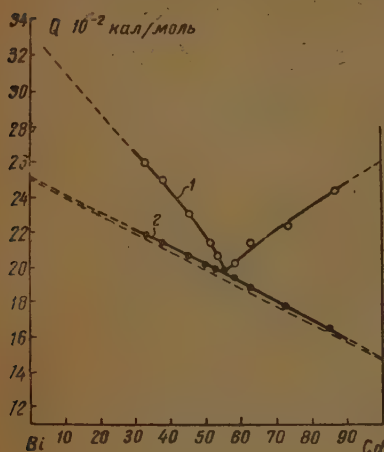


Рис. 2. 1 —  $Q_{II}$ ; 2 —  $Q_p + Q_a = Q_k$

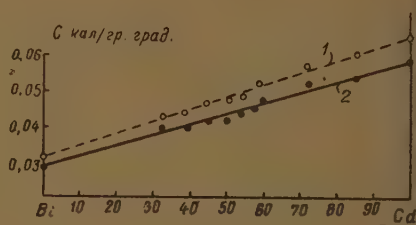


Рис. 3. 1 — в жидкой фазе; 2 — в твердой фазе

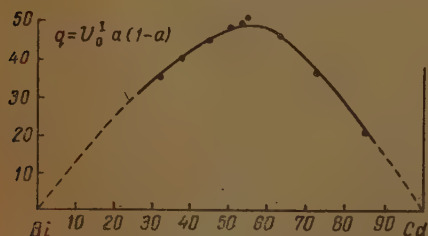
$\left( \frac{U_{AA}^{II}}{2} \right.$  и  $\left. \frac{U_{BB}^{III}}{2} \right.$  — взаимные потенциальные энергии одноименных атомов

в твердых кадмии и висмуте). На основании уравнений (1), (2) и (3):

$$Q_k = Q_A (1-a) + Q_B a + U_0^I (1-a). \quad (4)$$

Здесь  $Q_A$  — теплота плавления компонента A:  $Q_A = N \frac{U_{AA}^{II} - U_{AA}^I}{2}$ ;

$Q_B$  — теплота плавления компонента B,  $Q_B = N \frac{U_{BB}^{III} - U_{BB}^I}{2}$ . Если из экспериментально полученной кривой  $Q_k = Q_k(a)$  вычесть линейную часть ( $Q_A (1-a) + Q_B a$ ), то оставшееся слагаемое, которое должно отвечать величине  $q = U_0^I a (1-a)$ , может быть использовано для нахождения энергии смешения в жидкой фазе.



[Рис. 4]

На рис. 4 изображена зависимость  $q = q(a)$ , полученная графическим вычитанием из  $Q_k = Q_k(a)$  линейной части. Энергия смешения в жидкой фазе, вычисленная из хода функции  $q = q(a)$ , оказалась равной  $U_0^I = 0,15 \cdot 10^{-13}$  эрг/част.

Определение энергии смешения в жидкой фазе принципиально возможно не только по величине  $Q_k = Q_k(a)$ , но также по кон-

центрационной зависимости частей «конфигурационной» теплоты, затрачиваемых при переходе через эвтектическую горизонталь ( $Q_0$ ) и в области расслоения ( $Q_p$ ) [1]. Приведем без вывода расчетные формулы для  $Q_a(a)$  и  $Q_p(a)$ :



$$Q_3(a) \Big|_{a < \mu} = \frac{a}{\mu} \{U_0^I (1 - \mu) + Q_A (1 - \mu) + Q_B \mu\}, \quad (5)$$

$$Q_p(a) \Big|_{a < \mu} = (\mu - a) \left\{ U_0^I a + \frac{Q_A}{\mu} \right\}, \quad (6)$$

$$Q_3(a) \Big|_{a > \mu} = \frac{1-a}{1-\mu} \{U_0^I (1 - \mu) + Q_A (1 - \mu) + Q_B \mu\}, \quad (7)$$

$$Q_p(a) \Big|_{a > \mu} = (a - \mu) \left\{ U_0^I (1 - a) + \frac{Q_B}{1 - \mu} \right\}. \quad (8)$$

Уравнения (6) и (8) являются уравнениями прямых «эвтектического треугольника» (на рис. 5 даны сплошными линиями). Как и должно быть по определению, при попарном сложении (5) и (6), а также (7) и (8), получается выражение (4).

В системе висмут — кадмий определение энергии смешения в жидкой фазе по экспериментально найденным зависимостям  $Q_3 = Q_3(a)$  и  $Q_p = Q_p(a)$  ненадежно в связи с тем, что процесс расслоения осуществляется неравновесно, и поэтому распределение теплоты  $Q_n(a)$  между  $Q_3(a)$  и  $Q_p(a)$  не соответствует формулам (5) — (8), которые выведены в предположении полной равновесности процесса расслоения. Непосредственным указанием на неравновесность процесса расслоения является то, что экспериментально найденные значения  $Q_3$  не укладываются на прямые «эвтектического треугольника» (рис. 5).

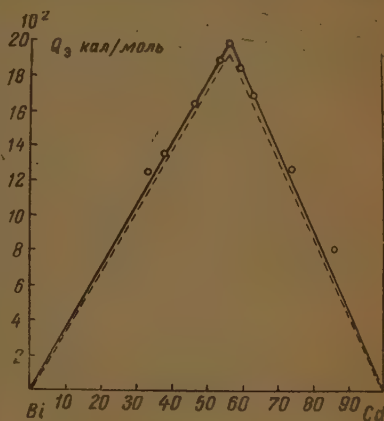


Рис. 5

Следует заметить, что величина  $Q_n(a)$ , являясь полной «конфигурационной» теплотой, нечувствительна к возможной неравновесности процесса расслоения и поэтому может быть использована для надежного определения энергии смешения в жидкой фазе.

### Неравновесность процесса расслоения

Как уже указывалось [1, 4], энергии смешения можно определить и по скачкам теплоемкости, наблюдаемым при переходе сплава через линии «ликвидус» и «солидус». Такое определение предполагает, что процесс расслоения осуществляется равновесно. При обработке данных измерений выяснилось, что применить этот способ в данном случае невозможно, так как кривые рис. 1 отвечают неравновесному осуществлению процесса расслоения. Действительно, дополнительная теплоемкость в области расслоения при равновесном процессе равна:

$$\Delta C = \frac{d}{dT} (\Delta E), \quad (9)$$

где  $\Delta E$  — дополнительная энергия сплава в области расслоения, расходуемая на изменение фазового состава. Написав выражение для  $\Delta E$  (с учетом отсутствия растворимости в твердых фазах), получим

$$\Delta E \Big|_{a < \mu} = a (\mu - x) \left[ U_0^I + \frac{Q_A}{\mu x} \right], \quad (10)$$

$$\Delta E \Big|_{a > \mu} = (1 - a)(x - \mu) \left[ U_0^I + \frac{Q_B}{(1 - x)(1 - \mu)} \right]. \quad (11)$$

Здесь  $x$  — концентрация компонента  $A$  в жидкой фазе, соответствующая равновесному состоянию при температуре  $T$ . На основании (9), (10), (11):

$$\Delta C(a) \Big|_{a < \mu} = -\frac{a}{x^2} \frac{dx}{dT} \{U_0^I x^2 + Q_A\} \quad (12)$$

$$\Delta C(a) \Big|_{a > \mu} = \frac{1 - a}{(1 - x)^2} \frac{dx}{dT} \{U_0^I (1 - x)^2 + Q_B\}. \quad (13)$$

Воспользовавшись величиной  $U_0^I$ , найденной ранее по данным о ходе  $Q_H(a)$ , можно при помощи (12) и (13) построить кривые  $\Delta C = \Delta C(T)$ , соответствующие равновесному осуществлению процесса расслоения. Расчетные кривые изображены пунктирными линиями на рис. 1. Они резко расходятся с экспериментальными, что, несомненно, указывает на неравномерное осуществление процесса расслоения (при использованной в наших опытах скорости нагрева в области расслоения  $\sim \frac{1}{60}$  град/сек).

Повидимому, для определения энергии смешения по скачкам теплоемкости, в системе висмут — кадмий потребовался бы нагрев в области расслоения со значительно меньшей скоростью. Заметим, что сравнение расчетных кривых с экспериментальными, полученными при различных скоростях прохождения области расслоения, может послужить для изучения кинетики плавления сплавов.

### Расчет диаграммы

По найденной величине энергии смешения в жидкой фазе можно рассчитать и построить диаграмму равновесия системы висмут — кадмий.

Уравнения линий «ликвидус» для случая полной нерастворимости компонент в твердых фазах имеют вид [4]:

$$kT = \frac{U_0^I x^2 + kq_3 T_A}{q_3 - \ln(1 - x)} = \frac{U_0^I (1 - x)^2 - kq_2 \tau_B}{-q_2 + \ln x}. \quad (14)$$

Здесь  $T_A$  и  $\tau_B$  — температуры плавления компонент;  $q_3$  и  $q_2$  — изменения энтропии при плавлении компонент.

На рис. 6 изображена диаграмма равновесия  $\text{Bi} - \text{Cd}$ , определенная экспериментальным путем; там же нанесены линии «ликвидус», рассчитанные по (14), с использованием найденного значения энергии смешения в жидкой фазе. Имеющееся совпадение

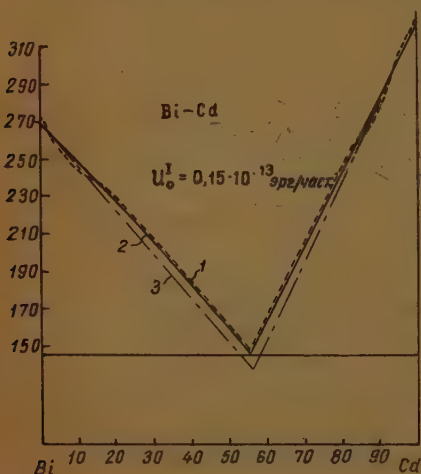


Рис. 6. 1 — теоретическая кривая; 2 — экспериментальная кривая; 3 — при  $U_0^I = 0$

экспериментальной и расчетной диаграмм является удовлетворительным. Пунктиром на рис. 6 изображены кривые «ликвидус», которые соответствовали бы нулевому значению энергии смешения в жидкой фазе. В литературе [5] имеются указания на то, что линии «ликвидус» системы висмут — кадмий достаточно хорошо описываются уравнениями Шредера.

согласуется с малостью экспериментально найденной величины энергии смешения в жидкой фазе данной системы, ибо уравнение Шредера получается из уравнений (14) при  $U_0^I = 0$  [6].

### Выводы

1. Определена энергия смешения в жидкой фазе для системы висмут — кадмий по концентрационной зависимости «конфигурационной» теплоты явления.
2. Расчет кривых дополнительной теплоемкости области расслоения (также концентрационной зависимости теплот перехода через эвтектическую горизонталь и теплот перехода через область расслоения) показал, что в системе висмут — кадмий, при использованной в наших опытах скорости нагрева  $\sim 1/60$  град/сек., прохождение области расслоения шло неравновесно.
3. Расчетная диаграмма равновесия, построенная при помощи найденного значения энергии смешения в жидкой фазе, удовлетворительно совпала с экспериментальной.

Академия Наук СССР  
Физико-технический институт  
Харьков

Поступила  
28. VII. 1950

### ЛИТЕРАТУРА

- Я. Е. Гегузин, Б. Я. Пинес, Журн. физ. химии, 25, вып. 10, 1951.  
Б. Я. Пинес, ЖЭТО, 13, 411, 1943.  
Б. Я. Пинес, Изв. Сек. физ.-хим. анализа, 16, 68, 1943.  
Б. Я. Пинес, Журн. физ. химии, 23, 69, 1949.  
В. Я. Аносов, С. Я. Погодин, Основные начала физико-химического анализа, Изд-во АН СССР, 1947.  
В. И. Данилов, Д. С. Каменецкая, Журн. физ. химии, 22, 69, 1948.



## РЕАКЦИЯ МЕЖДУ ОКИСЬЮ УГЛЕРОДА И ДВУОКИСЬЮ МАРГАНЦА

*Н. А. Шурмовская, Б. П. Брунс и З. Я. Мельникова*

В одной из прошлых статей [1] нами было показано, что имеющиеся в литературе данные о строении поверхностей дисперсных систем очень разноречивы. Выводы о распределении активных участков, сделанные различными исследователями для одного и того же адсорбента или катализатора, в большинстве случаев находятся в резком противоречии друг с другом.

При внимательном и критическом рассмотрении постановки экспериментальных исследований, которые привели авторов к противоречивым выводам, часто можно решить, какой из этих выводов более надежен. Однако во многих случаях такой анализ не дает возможности отдать предпочтение той или иной работе, и решение спорного вопроса требует дополнительного экспериментального исследования. К числу таких вопросов относится вопрос о строении поверхности активной двуокиси марганца.

Двое из авторов настоящего сообщения [2] изучали строение поверхности различных препаратов двуокиси марганца методом прогрессивного отравления ее парами воды при каталитическом окислении окиси углерода. Это исследование привело к выводу, что на поверхности двуокиси марганца число типов активных участков ограничено. Сделанный вывод был подтвержден также определением дифференциальных теплот смачивания двуокиси марганца водой.

В резком противоречии с нашими выводами находятся выводы С. З. Рогинского и его сотрудников, которые изучали активированную адсорбцию окиси углерода двуокисью марганца [3—6] и пришли к заключению о широкой неоднородности ее поверхности. Указанными авторами было показано, что скорость активированной адсорбции окиси углерода двуокисью марганца укладывается в экспоненциальное уравнение

$$\frac{dq}{dt} = ae^{-\alpha q}, \quad (1)$$

в котором  $q$  — количество адсорбированной окиси углерода, а  $a$  и  $\alpha$  — постоянные. Если давление окиси углерода во время опыта заметно меняется, то следует ввести множитель, учитывающий это изменение, и тогда уравнение (1) примет вид

$$\frac{dq}{dt} = a(q_0 - q)e^{-\alpha q}. \quad (2)$$

Найденная зависимость была истолкована С. З. Рогинским как следствие равномерной неоднородной поверхности двуокиси марганца [7].

Таким образом исследования поверхности двуокиси марганца, проведенные в двух лабораториях различными методами, привели к совершенно различным выводам.

Целью настоящей работы являлось более детальное изучение активированной адсорбции окиси углерода двуокисью марганца и выяснение вопроса о том, в какой степени этот процесс дает право судить о строении ее поверхности.

Прежде чем перейти к изложению полученных нами результатов, мы считаем необходимым остановиться на применявшейся до настоящего времени терминологии. При пуске окиси углерода на свежий препарат двуокиси марганца значительное количество первой превращается в углекислоту, которая может быть легко обнаружена в газовой фазе. Поэтому применение к этому процессу термина «адсорбция» не оправдано, так как не соответствует наблюдаемому явлению. В действительности же имеет место окисление окиси углерода за счет кислорода активной двуокиси марганца. Не предвещая пока, идет ли это окисление за счет кислорода, расположенного на поверхности, или принимает участие и кислород всей твердой фазы, мы будем пока применять для этого процесса менее определенный термин «взаимодействие».

### Методика эксперимента

Взаимодействие окиси углерода с двуокисью марганца мы изучали на установке с циркулирующим газом, неоднократно описанной в наших прошлых работах [8,9]. Навеска катализатора помещалась в реакционную трубку, которая погружалась в водяной термостат, гарантировавший постоянство температуры в пределах  $0,2^\circ \text{C}$ . Газ циркулировал в установке при помощи стеклянного поршневого насоса производительностью 200—250 л/час, подробно описанного нами раньше [10]. По пути циркуляции газа находился змеевик, погруженный в жидкий кислород, что обеспечивало непрерывное удаление углекислоты из газовой фазы по мере ее образования. Скорость взаимодействия окиси углерода с двуокисью марганца определялась по падению давления манометром, наполненным дибутилфталатом. Двуокись марганца, применявшаяся нами, была получена электрохимическим методом в виде влажной пасты. Эта паста содержала еще некоторое количество сульфатов, от которых она отмывалась дистиллированной водой до исчезновения реакции на ион  $\text{SO}_4^{2-}$ . После сушки при  $100^\circ \text{C}$  двуокись марганца прессовалась на ручном прессе, опять сушилась при  $180^\circ \text{C}$ , дробилась в ступке и отсеивалась на ситах в пределах 1—1,5 мм. Для каждого опыта бралась отдельная навеска. Перед пуском окиси углерода двуокись марганца тренировалась в высоком вакууме при  $0^\circ \text{C}$  в течение нескольких часов.

### Экспериментальные данные

Сперва была проверена зависимость между скоростью реакции и количеством прореагировавшей окиси углерода, найденная школой С. З. Рогинского. На рис. 1 приведен результат одного такого опыта, из которого видно, что полученные нами данные удовлетворительно укладываются в экспоненциальное уравнение (1). Следовательно, как препарат двуокиси марганца, которым мы пользовались, так и условия проведения опытов сходны с препаратом и условиями, имевшими место в работах С. З. Рогинского и его сотрудников.

Однако, если то же количество окиси углерода разделить на несколько порций и пускать их последовательно, чередуя пуск с «отдыхом» препарата, то характер поглощения, как это видно из рис. 2, совершенно меняется. В приведенном опыте промежутки времени между окончанием поглощения предыдущей порции и пуском последующей составляли 10 мин. Этот опыт ясно показывает, что во время «отдыха» кислород двуокиси марганца перераспределяется и новые количества его становятся доступными к взаимодействию с окисью углерода.

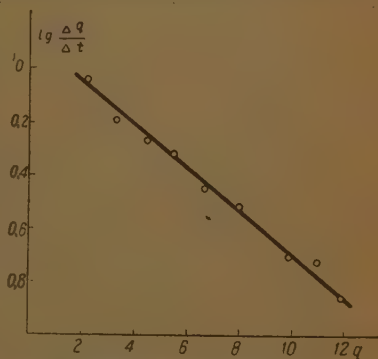
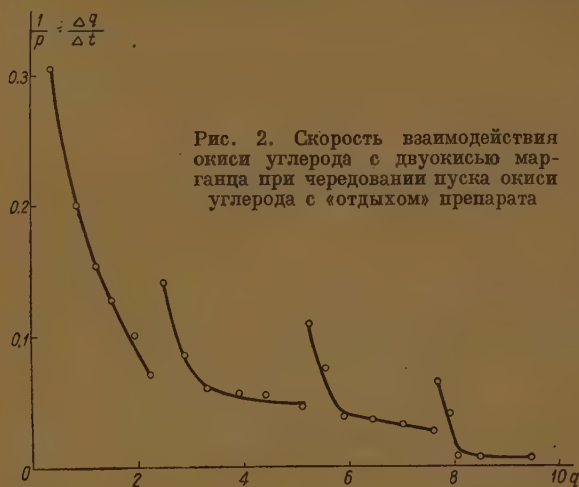


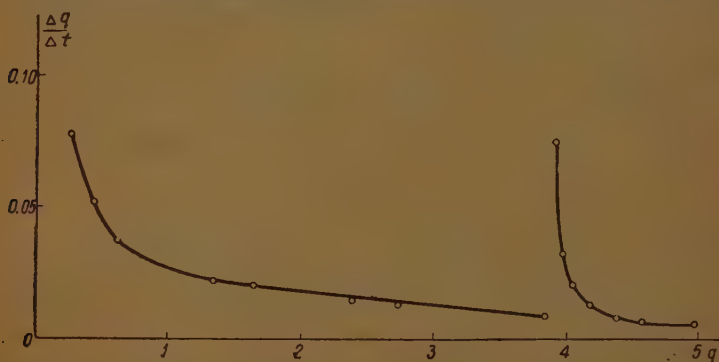
Рис. 1. Результаты нашего опыта по взаимодействию окиси углерода с двуокисью марганца, нанесенные согласно уравнению (1)

Еще большая разница в скоростях взаимодействия до и после «отдыха» наблюдается, если «отдых» сопровождать нагревом препарата до температуры, превышающей температуру проведения опыта. На рис. 3 приведен опыт, в котором поглощение окиси углерода проводилось при  $-50^{\circ}\text{C}$ , а во время «отдыха» препарат нагревался до  $0^{\circ}\text{C}$ . В данном опыте давление окиси углерода перед «отдыхом» и после «отдыха» было одно и



то же. Как видно, скорость взаимодействия после такого «отдыха» возрастает весьма значительно.

Приведенные опыты показывают, что при взаимодействии окиси углерода с двуокисью марганца одновременно со снятием кислорода с поверхности происходит его перераспределение таким образом, что атомы кис-



лорода, вначале не доступные воздействию окиси углерода, становятся доступными по истечении некоторого времени. В данном случае можно сделать два предположения. Во-первых, можно предположить, что только часть расположенных на поверхности атомов кислорода быстро реагирует с окисью углерода, а другая часть неактивна. По мере снятия активных атомов кислорода их места замещаются атомами кислорода с неак-



ивных мест. Однако нам представляется такое объяснение мало вероятным по следующим соображениям. В первую очередь должен был бы реагировать кислород, обладающий наименьшей энергией связи с поверхностью, так как в данном случае можно ожидать, что будет соблюдаться зависимость между энергией активизации и тепловым эффектом его взаимодействия с окисью углерода [11]

$$E = E_0 - \alpha Q.$$

следовательно, непрореагировавшие более прочно связанные атомы кислорода не смогут переходить на освободившиеся участки. Впрочем окончательно отбросить возможность поверхностей диффузии кислорода пока еще нельзя.

Второе предположение заключается в том, что по мере расходования атомов кислорода, сидящих на поверхности двуокиси марганца, их места замещаются путем диффузии из твердой фазы.

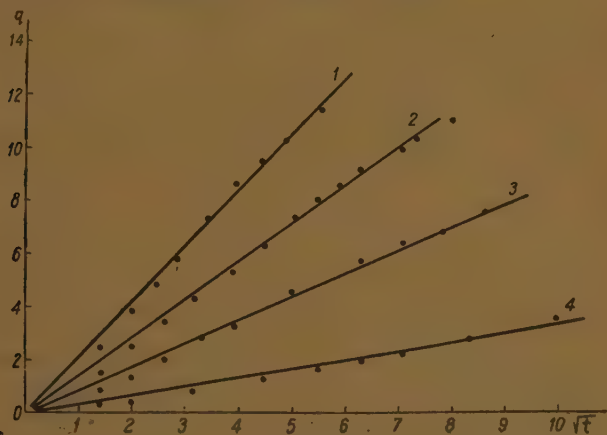


Рис. 4. Зависимость между количеством прореагировавшей окиси углерода и корнем из времени при различных температурах. 1 — при 0°; 2 — при —15°; 3 — при —30°; 4 — при —50° C

На подвижность кислорода в двуокиси марганца уже было несколько указаний в литературе. При изучении активированной адсорбции кислорода двуокисью марганца, С. З. Рогинским и его сотрудниками было показано, что количество поглощенного кислорода пропорционально корню из времени. Эта зависимость говорит в пользу диффузионного характера явления [12]. Позднее эта зависимость была подтверждена и другими исследователями [13]. Недавно С. М. Карпачева и А. М. Розен исследовали обмен кислорода между двуокисью марганца и газовой фазой при каталитическом окислении окиси углерода при помощи тяжелого изотопа кислорода [14]. Ими была обнаружена способность значительной части кислорода твердой фазы обмениваться с кислородом газовой фазы, что однозначно решает вопрос об его подвижности в двуокиси марганца.

Изложенные данные позволяли предположить, что и при взаимодействии окиси углерода с двуокисью марганца скорость процесса будет имитироваться диффузией кислорода, и следовательно, количество прореагировавшей окиси углерода будет пропорционально корню из времени.

Нами была поставлена серия опытов при 0, —15, —30 и 50°C, результаты которых представлены на рис. 4. Как видно, указанная выше зависимость оправдывается на опыте.

Для проверки справедливости нашего вывода мы воспользовались данными по скорости взаимодействия окиси углерода с двуокисью марганца, приведенными в работе С. Ю. Еловича и Ф. Ф. Харахорина [4]. На рис. 5 приведен результат пересчета данных указанных авторов. Таким образом можно считать, что как наши данные, так и данные других исследователей подтверждают диффузионный характер реакции взаимодействия между окисью углерода и двуокисью марганца.

Полученные нами данные не дают еще возможности рассчитать абсолютные коэффициенты диффузии кислорода в двуокиси марганца, но позволяют рассчитать энергию активации этого процесса. На рис. 6 нанесены логарифмы коэффициентов диффузии, выраженных в условных единицах:

$D = \frac{q^2}{t}$ , как функция от  $\frac{1}{T}$ . Как видно, зависимость коэффициента диффузии от температуры хорошо укладывается в уравнение Аррениуса

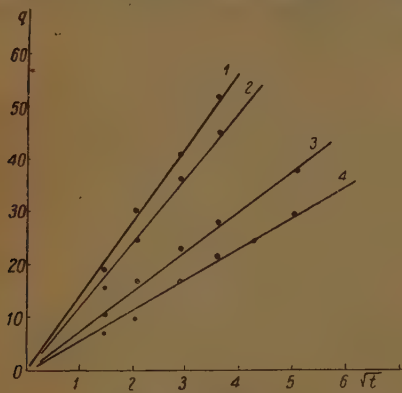


Рис. 5. Зависимость между количеством прореагировавшей окиси углерода и корнем из времени при различных температурах, полученная из данных С. Ю. Еловича и Ф. Ф. Харахорина [4]. 1 — при 24,5°; 2 — при 19,4°; 3 — при 0°; 4 — при -20°С

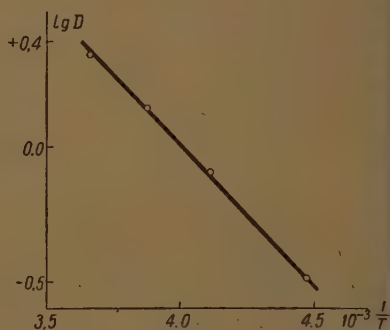


Рис. 6. Зависимость логарифма условного коэффициента диффузии от  $\frac{1}{T}$

Рассчитанная нами энергия активации составляет 9000 кал на ион кислорода. Полученное значение энергии активации близко к найденным для диффузии ионов солей, в которых один из ионов обладает значительной подвижностью [15] (AgCl, AgJ, и др.). Близкое значение энергии активации, равное 8600 кал ион, рассчитано нами из данных С. Ю. Еловича и Ф. Ф. Харахорина для скоростей взаимодействия двуокиси марганца с окисью углерода при 24,5; 19,4 и 0,°С.

В связи с изложенным, естественно, возникает вопрос, считать ли, что при взаимодействии окиси углерода с двуокисью марганца образуется новая фаза низшего окисла (например,  $Mn_2O_3$ ) или от двуокиси марганца отнимается часть кислорода с сохранением ее решетки. В прошлых работах было высказано предположение, что результатом восстановления двуокиси марганца, которое сопровождает каталитическую реакцию окисления окиси углерода, является  $Mn_2O_3$ . При длительном действии окиси углерода на двуокись марганца последнее, надо полагать, верно. Однако если количество кислорода, отнятое от двуокиси марганца, невелико, то возможно, что ее решетка сохраняется. На это указывают исследования Леблана и Венера [16], показавших, что  $MnO_2$  может потерять до 5% своего кислорода без перестройки решетки. При наших измерениях количество кислорода, отнятое от  $MnO_2$ , в среднем не превышало 5%. Однако

сьма вероятно, что поверхностный слой перестраивается в новую решетку низшего окисла, которая растет в глубь твердой фазы по мере протекания реакции. В таком случае кислород должен растворяться в низшем исле и диффундировать через его слой к внешней поверхности. Это предположение находит подтверждение в работе упомянутых выше исследователей [16], обнаруживших заметную растворимость кислорода в  $Mn_2O_3$  в перехода ее в фазу  $MnO_2$ .

Таким образом проведенная нами работа показала, что, независимо того, ограничивается ли реакция взаимодействия окиси углерода с двуокисью марганца поверхностно последней, или распространяется в глубь твердой фазы, эта реакция не может служить для характеристики поверхности двуокиси марганца, так как в основном лимитируется диффузией кислорода. Тот факт, что экспериментальные данные удовлетворительно выражаются не только зависимостью  $q \sim \sqrt{t}$ , но и экспоненциальным уравнением (1), показывает, что первая зависимость в известных пределах аппроксимируется второй.

Мы полагаем, что изложенный в данной работе материал устраняет противоречие, существовавшее до настоящего времени по вопросу о строении поверхности активной двуокиси марганца и позволяет считать сделанный нами ранее вывод об ее ограниченно неоднородном характере правильным. Нет сомнения, что дальнейшие исследования устранят и другие противоречия, существующие в настоящее время по вопросу о строении поверхностей дисперсных систем, которые были нами приведены раньше [1].

В заключение мы хотим высказать одно соображение, которое, как нам кажется, говорит в пользу ограниченно неоднородного строения большинства дисперсных систем. За последнее время появилось несколько работ [17], показавших, что различные грани монокристаллов отличаются своей каталитической активностью. В некоторых случаях, как, например, при каталитическом окислении водорода на гранях (100) и (111) монокристаллов меди, эта разница не велика. В других же случаях, как, например, при разложении окиси углерода на никеле, реакция идет практически только на гранях (111), а на гранях (100) не идет совершенно. Следовательно, даже для очень дисперсных систем, которые согласно последним электронномикроскопическим данным, как правило, состоят из индивидуальных кристалликов, скорее можно ожидать дискретных знаний активностей участков как результата резко отличных активностей различных граней. Было бы, конечно, неосторожно сейчас утверждать, что не могут существовать поверхности с неограниченно неоднородным строением. Вполне возможно, что в случае аморфных веществ поверхность будет состоять из участков непрерывно меняющейся активности.

### Выводы

1. Изучена кинетика взаимодействия между активной  $MnO_2$  и CO при температурах от  $-50^\circ$  до  $0^\circ$  C.
2. Показано, что скорость взаимодействия между  $MnO_2$  и CO определяется скоростью диффузии кислорода из твердой фазы  $MnO_2$  к ее поверхности.
3. Полученные данные опровергают сделанные предыдущими исследователями выводы о широкой неоднородности поверхности двуокиси марганца.



## ЛИТЕРАТУРА

1. Б. П. Брунс. Проблемы кинетики и катализа, т. 7, 1949, стр. 235.
  2. Н. А. Шурмовская и Б. П. Брунс, Журн. физ. химии, 9, 301, 1937.
  3. С. З. Рогинский и Я. Б. Зельдович, Acta Phys. chim. URSS, 9, 554, 1934.
  4. С. Ю. Елович и Ф. Ф. Харахорин, Проблемы кинетики и катализа, т. 3, 1937, стр. 222.
  5. С. Ю. Елович и Б. А. Корндорф, Журн. общ. химии, 9, 673, 1939.
  6. С. Ю. Елович и Л. А. Качур, Журн. общ. химии, 9, 714, 1939.
  7. С. З. Рогинский, Адсорбция и катализ на неоднородных поверхностях. Изд-во АН СССР, 1948.
  8. Н. А. Шурмовская и Б. П. Брунс, Журн. физ. химии, 14, 1183, 1940.
  9. Г. Е. Брауде и Б. П. Брунс, Журн. физ. химии, 22, 487, 1948.
  10. И. Г. Капнельсон, Б. П. Брунс и Д. Ю. Гамбург, Заводская лаборатория, 12, 379, 1946.
  11. M. Polanyi, Zs. phys. Chem., B, 11, 97, 1930.
  12. С. З. Рогинский, Адсорбция и катализ на неоднократных поверхностях. Изд-во АН СССР, 1948, стр. 341.
  13. Sakai Waturu, Hukuyama Hiroto a. Okuno Toshiro Journ. Soc. Chem. Industr. Japan, 45, 1011, 1943.
  14. С. М. Карпачева и А. М. Розен, ДАН, 68, 1057, 1949.
  15. Р. Бэррер, Диффузия в твердых телах, ГИИЛ, Москва, 1948.
  16. M. Leblanc a. G. Wehner, Zs. phys. Chem. A., 168, 59, 1934.
  17. H. Leidheiser a. A. Gwathmey, Journ. Amer. Chem. Soc., 70, 1200, 1948.
-

## К ТЕОРИИ СОВМЕСТНОГО ДЕЙСТВИЯ КАТАЛИЗАТОРОВ В РАСТВОРЕ

### ПРОМЕЖУТОЧНЫЕ ПРОДУКТЫ ПРИ КАТАЛИЗЕ $\text{H}_2\text{O}_2$ СОЛЯМИ КАЛЬЦИЯ И ВОЛЬФРАМА

Г. А. Богданов и Т. И. Беркенгейм

Вначале была проведена серия предварительных опытов, давших качественную картину взаимодействия субстрата с катализаторами. Хлорид кальция не катализирует процесс распада  $\text{H}_2\text{O}_2$  в кислой и нейтральной среде: реакционная смесь бесцветна и однородна. Вольфрамат натрия в полном согласии с исследованием, проведенным ранее одним из нас [1], вызывает каталитическое разложение  $\text{H}_2\text{O}_2$ .

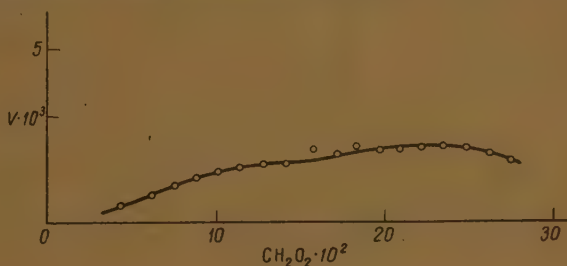


Рис. 1

На рис. 1 представлена кинетическая кривая, выражающая совместное действие хлорида кальция и вольфрамата натрия в условной нейтральной среде при  $c_{\text{Ca}} = c_{\text{W}} = 0,0167 \text{ M}$ ;  $c_{\text{H}_2\text{O}_2} = 0,30 \text{ N}$ ;  $t = 25^\circ \text{ C}$ . Во всех приводимых рисунках на оси ординат откладывалась скорость реакции г.-экв. литр/минуту, а на оси абсцисс — концентрация перекиси водорода в г.-экв./литр.

Прибавление хлорида кальция к смеси  $\text{H}_2\text{O}_2$  с вольфраматом натрия вызывает изменение порядка реакции. Реакционная смесь представляет обою гомогенную фазу, и лишь в конце реакции выпадает осадок белого цвета.

На рис. 2 приведены кривые 1 и 2, отвечающие различным начальным концентрациям  $\text{H}_2\text{O}_2$ , равным соответственно 1,23 и 0,2 N; концентрации катализаторов и температура оставались постоянными  $c_{\text{Ca}} = c_{\text{W}} = 0,0167 \text{ M}$ ,  $t = 35^\circ \text{ C}$ . Как видно из представленного рисунка, порядок реакции и ее скорость не зависят от начальной концентрации субстрата. Это обстоятельство указывает на достаточно быстрое установление равновесия образования промежуточных соединений и на применимость закона действующих масс.

На основании независимости скорости реакции от начальной концентрации перекиси водорода следовало ожидать также независимости скорости от повторного действия субстрата. Однако, если после полного окончания первичного опыта прибавить вновь некоторое количество концентрированной  $\text{H}_2\text{O}_2$ , то во вторичном опыте наблюдается значительно

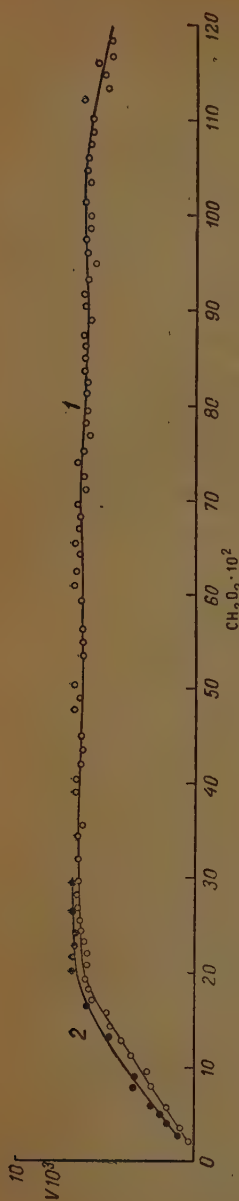


Рис. 2

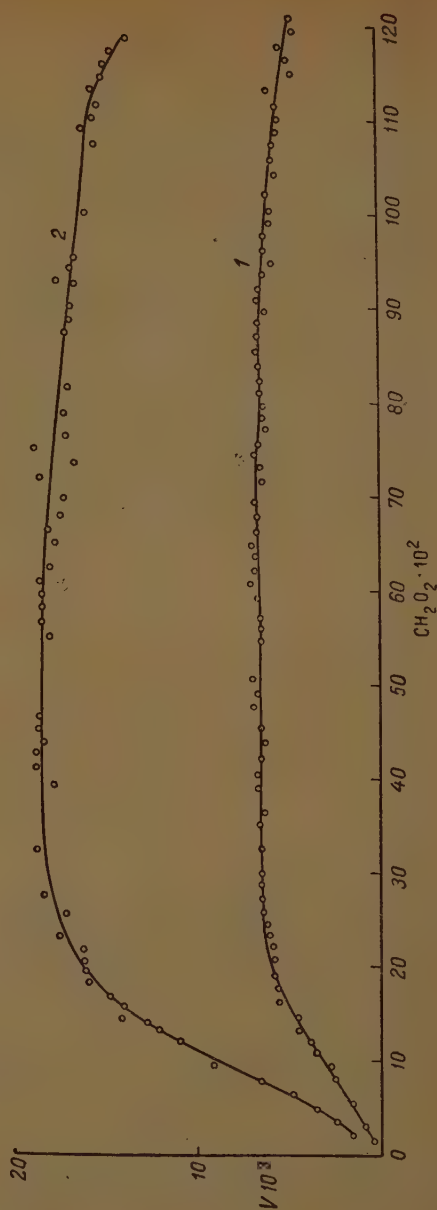


Рис. 3

меньшее катализическое действие. На рис. 4 кривая 1 отвечает первичной реакции, кривая 2 — вторичной. При вторичном действии субстрата осадок не растворяется полностью и с этим связано уменьшение скорости реакции в повторном опыте; значительная часть катализаторов отсутствует в сфере реакции и не участвует в образовании промежуточных веществ. Это предположение легко проверить экспериментально: при внесении нового количества перекиси водорода до образования осадка в первичном опыте кинетические кривые повторного действия катализаторов накладываются на кинетические кривые первичной реакции.

Таким образом изучаемый каталитический процесс представляет собой истинного катализа [2].

Рассмотрим влияние температуры на скорость реакции. На рис. 3 кинетические кривые 1, 2 отвечают температурам, соответственно, равным  $45^{\circ}\text{C}$ . Как видно из рис. 4, порядок реакции — один и тот же: вначале наблюдается возрастание кривых, затем имеет место независимость скорости от концентрации реагирующего вещества, и, наконец, скорость реакции падает приблизительно по прямой линии.

Весьма существенно, что по мере уменьшения концентрации  $\text{H}_2\text{O}_2$ , действие ее разложения, температурный коэффициент и энергия активации не остаются постоянными: в области относительно большой концентрации субстрата температурный коэффициент равен 2,8 и энергия активации — 20,0 ккал, а при малой концентрации  $\text{H}_2\text{O}_2$ , в области первого ряда температурный коэффициент — 30 и энергия активации — 21,4 ккал.

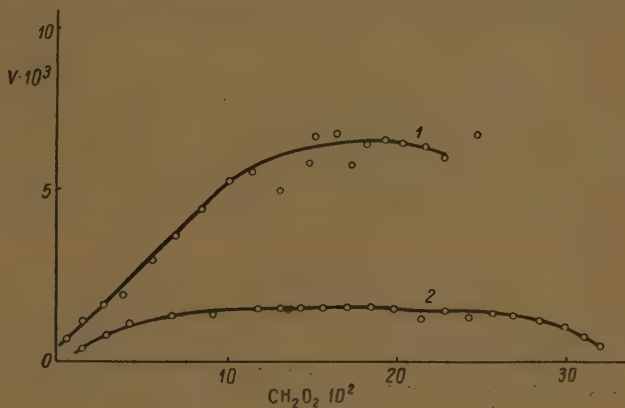


Рис. 4

Одним из нас [1] было доказано, что максимум кривой, или рост скорости в идеально-обратимом катализе, или разные температурные коэффициенты и энергия активации связаны с возникновением нескольких промежуточных продуктов. При этом по числу максимумов и минимумов или по числу температурных коэффициентов и энергий активаций можно судить о числе промежуточных соединений.

Отсюда следует основной вывод относительно изучаемой реакции катализа. Наличие двух разных температурных коэффициентов и некоторый рост кинетических кривых при независимости скорости реакции от начальной концентрации субстрата явно указывают на возникновение двух различных активных промежуточных продуктов. С высказанным предположением о механизме стоят также в соответствии и колориметрические наблюдения: в начале реакции реакционная смесь имеет желтый цвет, а к концу опыта реакционная смесь становится бесцветной, лишь после окончания реакции, когда катализ прекращается и перекись водорода практически полностью оказывается разложенной, выпадает осадок  $\text{CaWO}_4$ .

Кинетика процесса количественно может быть охвачена уравнением, выведенным в предположении о возникновении двух промежуточных продуктов [1]. Значения констант скоростей показывают, что оба предполагаемых промежуточных продукта должны быть малоустойчивыми, и этом состоит одна из трудностей их выделения из раствора в чистом виде. Установленная температурная зависимость указывает на то, что промежуточные продукты можно выделить при достаточно низкой температуре.



Повторные опыты показали, что выделение чистых промежуточных веществ при непосредственном взаимодействии  $\text{H}_2\text{O}_2$  при низкой температуре с заранее приготовленной солью  $\text{CaWO}_4$  представляет довольно трудную задачу. Тем не менее в этом направлении была проделана серия различных наблюдений. Реакцией обмена хлорида кальция с вольфраматом натрия получается продукт белого цвета  $\text{CaWO}_4$ . 10 мл 30%  $\text{H}_2\text{O}_2$  охлаждались сухим льдом, и постепенно при энергичном перемешивании прибавлялся к ней  $\text{CaWO}_4$ . Вся поверхность  $\text{CaWO}_4$  окрашивается в желто-зеленый цвет, и раствор постепенно становится окрашенным в тот же цвет. Интенсивность окраски раствора постепенно увеличивается, что связано с повышением концентрации промежуточного продукта, окрашенного желто-зеленый цвет. Выделение промежуточных продуктов из этого раствора, как и следовало ожидать на основании повторных опытов, оказалось невозможным, главным образом из-за малой их концентрации.

Осадок, окрашенный в желто-зеленый цвет, полученный при взаимодействии  $\text{CaWO}_4$  с охлажденной концентрированной  $\text{H}_2\text{O}_2$ , отфильтровывался через стеклянный фильтр, охлаждаемый снаружи сухим льдом, тщательно промывался сильно охлажденным спиртом и эфиром и анализировался на перекисный кислород. Результаты анализа показали, что исследуемый продукт неоднороден, содержит перекисный кислород, причем проба, взятая с поверхности продукта, имеет больше перекисного кислорода по сравнению с пробами, взятыми из нижних слоев. Эти опыты убеждают в том, что действительно получается промежуточный продукт перекисного характера, окрашенный в желто-зеленый цвет. Естественнее всего предположить, что к нему примешана вступившая в реакцию исходная соль. Возможность одновременного образования низшего перекисного соединения при этих опытах также не исключена.

Как указывалось, данные кинетического анализа приводят к предположению об образовании при этом катализе двух промежуточных продуктов. Поэтому дальнейшие исследования были направлены к поискам второго активного промежуточного вещества. Если оставить лежать полученный препарат желто-зеленого цвета, то через некоторое время он становится белым. Как показали анализы белого продукта, в его состав входит перекисный кислород. При лежании на воздухе белый продукт постепенно теряет перекисный кислород, и в результате этого получается нормальный вольфрамат кальция.

В воде оба выделенных продукта быстро распадаются с выделением  $\text{O}_2$  и образованием  $\text{CaWO}_4$ . Таким образом существование двух предполагаемых промежуточных соединений доказано этими опытами.

Теперь предстоит трудная задача — выделить оба промежуточных продукта в чистом индивидуальном состоянии и установить их состав. Достаточно чистыми они были получены следующими методами.

10 мл 30%  $\text{H}_2\text{O}_2$  охлаждается до  $-10^\circ\text{C}$  и к ней прибавляется 10 мл охлажденного приблизительно до  $0^\circ\text{C}$  водного раствора 6,2 г  $\text{Na}_2\text{WO}_4$ . К этой смеси прибавляется очень малыми порциями при энергичном перемешивании тонко истертый сухой хлорид кальция (около 4,3 г). По мере прибавления хлорида кальция смесь охлаждается сухим льдом, не допуская выделения твердой фазы. После прибавления всей порции хлорида кальция смесь оставляется стоять на сухом льду в течение 4—6 мин. Затем к ней прибавляется охлажденный сухим льдом чистый этиловый спирт в количестве 150—200 мл. Из раствора выпадает желто-зеленый осадок.

Осадок отфильтровывается при отсасывании насосом через стеклянный фильтр, охлаждаемый снаружи сухим льдом, промывается охлажденным спиртом и эфиром. Полученный продукт в количестве около 0,15—0,25 г помещается в стеклянную тугоплавкую узкую пробирку, которая соединяется с газовой бюреткой и подвергается нагреванию до  $200^\circ\text{C}$ . Выделенное количество кислорода, выраженное в молях, рассчитывается на количество молей сухого остатка, получившегося после разложения продукта. Сухой остаток анализируется на  $\text{CaO}$  и на  $\text{WO}_3$  известными методами.

Получение описанным способом желто-зеленого продукта было неоднократно повторено; иногда даже условия выделения были несколько изменены, однако состав продукта оставался достаточно постоянным. Отношение числа молей  $\text{CaO} : \text{WO}_3 : \text{O}_2$ , в среднем, приблизительно равно 1 : 1 : 2, что приводит к формуле  $\text{CaWO}_3$ .

Полученный первовольфрамат кальция очень неустойчив: он может существовать только при очень низкой температуре. На воздухе  $\text{CaWO}_3$  при комнатной температуре разлагается в течение нескольких минут, переходя в новый первовольфрамат белого цвета, который, в свою очередь, распадается с образованием нормального вольфрамата кальция. На воздухе разница в устойчивости обоих продуктов не так велика, чтобы можно было получать в достаточно чистом виде белый первовольфрамат разложением желто-зеленого. Чистый белый промежуточный продукт оказалось возможным получить в условиях подобных тем, в каких был получен желто-зеленый первовольфрамат кальция, но осаждение его из раствора произошло не чистым этиловым спиртом, а сырцом.

Осажденный белый продукт отфильтровывался через охлаждаемый снаружи стеклянный фильтр при отсасывании насосом, тщательно промывался чистым этиловым спиртом и абсолютным эфиром и анализировался точно так же, как и желто-зеленый вольфрамат кальция.

Анализ бесцветного продукта приводит к формуле  $\text{CaWO}_6$ . Этот первовольфрамат является мало устойчивым соединением. При анализе его после 12 час. лежания при комнатной температуре он потерял перекисного кислорода около 25%.

Таким образом, предсказанные на основе данных кинетического анализа два активных промежуточных продукта выделены в чистом виде, установлен их состав, что представляет прямое доказательство правильности исходных положений и является главным итогом исследования.

Выделенные перекисные соединения не были до сих пор описаны в литературе.

### Выводы

1. Изучена газометрически кинетика катализа перекиси водорода под влиянием совместного присутствия солей кальция и вольфрамата. Установлено, что каталитический процесс является случаем идеального катализа, при котором промежуточные вещества возникают мгновенно и обратимо.
2. Кинетические кривые вначале возрастают, переходят почти к полной зависимости от концентрации реагирующего вещества, и к концу реакции наблюдается падение скорости приблизительно по прямой линии; температурный коэффициент в области нулевого порядка равен 2,8, и энергия активации — 20,0 ккал, а в области первого порядка температурный коэффициент равен 3 и энергия активации — 21,4 ккал.
3. Сделано предположение о том, что возрастание кинетических кривых при независимости скорости реакции от начальной концентрации реагента и разные температурные коэффициенты при различной концентрации реагирующего вещества обусловлены образованием двух различных активных промежуточных соединений. Возникновением двух промежуточных продуктов можно полностью объяснить наблюдаемую кинетическую картину. Проверкой правильности высказанного предположения удалось выделить двух новых предсказанных промежуточных соединений.
4. Разработана методика получения первовольфраматов кальция и установлен их состав.

Москва

Поступила  
3.X.1950

### ЛИТЕРАТУРА

- Г. А. Богданов, Журн. физ. химии, 25, 49, 1951; 24, 1450, 1950.  
Г. А. Богданов Журн. физ. химии, 21, 51, 1947.

# ЭЛЕКТРОПРОВОДНОСТЬ СТЕКОЛ СИСТЕМЫ $\text{PbO}-\text{B}_2\text{O}_3$

И. Г. Мельникова, К. С. Евстропьев  
и А. Я. Кузнецов

Чистые щелочно-боратные стекла обладают большим электрическим сопротивлением, чем соответствующие щелочно-кремнеземные стекла [1, 2]. Следовало ожидать, что и борно-свинцовые стекла также имеют большее сопротивление, чем кремнесвинцовые. Известно, что некоторые свинцово-борные стекла находят применение в электротехнике. Однако подробно электропроводность борно-свинцовых стекол не изучена. Исследование электропроводности борно-свинцовых стекол в зависимости от их состава и температуры и посвящена настоящая работа.

Стекла, подлежащие измерению, варились в платиновом тигле в лабораторной платиновой электропечи из химически чистых глета и борной кислоты. По данным химического анализа исходные материалы содержали

1) борная кислота $\text{B}_2\text{O}_3$ . . . . .	99,942%
$\text{Fe}_2\text{O}_3$ . . . . .	0,008%
»          » $\text{SO}_3$ . . . . .	0,02%
нерастворимый осадок . . . . .	0,03%
2) глет: $\text{PbO}$ . . . . .	99,397%
$\text{Fe}_2\text{O}_3$ . . . . .	0,003%
прочие примеси . . . . .	0,6%.

Для выяснения влияния примесей исходных материалов на электропроводность стекол были выполнены варки стекол с применением глета сурика различного происхождения. Расхождения в значениях электропроводности стекол одинакового химического состава, изготовленных из различных сырых материалов, лежат в пределах точности измерения (табл. 1). Во время процесса осветления расплав интенсивно перемешивался платиновой мешалкой. Всего было сварено 33 стекла, составы их даны в табл. 2.

Расплавы, содержащие больше 70 мол. %  $\text{PbO}$ , быстро кристаллизуются при охлаждении. При содержании  $\text{PbO}$ , меньшем 21 мол. %, из расплава получаются молочного вида стекла, что, по мнению ряда авторов, связано с расслаиванием расплавов. Таким образом в стеклообразном состоянии удалось получить сплавы с содержанием  $\text{PbO}$  в пределах 21—73%. Состав контролировался химическим анализом и по плотности, так как известно, что плотность свинцовых стекол весьма значительно изменяется изменением содержания в них окиси свинца. Плотность стекол нами измерялась с точностью до  $\pm 0,005$ , что отвечает 0,07% содержания  $\text{PbO}$ . Измерения электропроводности производились в интервале температур 170—400° С. При более низких температурах стекла имеют сопротивление порядка  $10^{18}$  ом·см, которое соизмеримо с сопротивлением изоляции нашей установки. При температурах выше 400° многие свинцово-боратные стекла размягчаются.

Установка для измерения электропроводности стекол была описана в нашей статье [3], посвященной изучению электропроводности свинцово-силикатных стекол.

Таблица 1

Влияние качества исходных материалов на значение электропроводности стекол

№ текол	Исходный материал	Состав изготовленного стекла в мол. % по данным анализа	°C	Удельная проводимость $\text{ом}^{-1} \text{см}^{-1}$
11 <sub>1</sub>	Сурик отечественный . . .	47,6 PbO 52,4 B <sub>2</sub> O <sub>3</sub>	290	$3,3 \cdot 10^{-12}$
11 <sub>2</sub>	Глет импортный . . . . .	47,0 PbO 53,0 B <sub>2</sub> O <sub>3</sub>	300	$3,0 \cdot 10^{-12}$
13 <sub>2</sub>	Глет отечественный . . . . .	53,7 PbO 46,4 B <sub>2</sub> O <sub>3</sub>	268	$2,8 \cdot 10^{-12}$
13 <sub>3</sub>	Глет импортный . . . . .	53,0 PbO 47,0 B <sub>2</sub> O <sub>3</sub>	266	$2,6 \cdot 10^{-12}$

Таблица 2

Составы исследованных борно-свинцовых стекол в мол. %

№ стекол	Данные синтеза		Данные анализа		Данные, полученные по изм. плотности	
	PbO	B <sub>2</sub> O <sub>3</sub>	PbO	B <sub>2</sub> O <sub>3</sub>	PbO	B <sub>2</sub> O <sub>3</sub>
1	21,0	79,0	21,4	78,6	21,4	78,6
2	21,5	78,5				
3	24,0	76,0	24,0	76,0		
4	27,0	73,0			28,0	72,0
5	30,0	70,0	30,8	69,2	30,8	69,2
6	33,0	67,0	33,3	66,7		
7	36,0	64,0			36,4	63,6
8	39,0	61,0	39,5	60,5		
9	42,0	58,0			42,4	57,6
10 <sub>1</sub>	45,0	55,0	44,9	55,1	44,0	56,0
10 <sub>2</sub>	45,0	55,0			44,8	55,2
11 <sub>1</sub>	48,0	52,0			47,6	52,4
11 <sub>2</sub>	48,0	52,0	46,8	53,2	47,0	53,0
12 <sub>1</sub>			49,2	50,8		
12 <sub>2</sub>			46,4	53,6		
12 <sub>3</sub>	51,0	49,0	49,7	50,3	49,6	50,4
12 <sub>4</sub>					50,8	49,2
12 <sub>5</sub>					50,0	50,0
12 <sub>6</sub>	52,0	48,0			51,0	49,0
12 <sub>7</sub>					52,0	48,0
13 <sub>1</sub>			49,6	50,4	49,0	51,0
13 <sub>2</sub>	54,0	46,0	54,0	46,0	53,6	46,4
13 <sub>3</sub>					53,0	47,0
13 <sub>4</sub>	55,0	45,0			57,2	48,8
14 <sub>1</sub>	57,0	43,0			56,0	44,0
14 <sub>3</sub>					56,0	44,0
15 <sub>2</sub>	60,0	40,0	56,4	43,6	56,6	43,4
16 <sub>1</sub>	63,0	37,0			61,0	39,0
16 <sub>2</sub>			61,9	38,1	62,0	38,0
17 <sub>2</sub>	70,0	30,0			67,2	32,8
17 <sub>3</sub>					69,0	31,0
18 <sub>1</sub>	69,0	31,0			66,0	34,0
18 <sub>2</sub>	73,0	27,0	69,0	31,0	69,0	31,0



# Зависимость электропроводности стекол от температуры

Удельная электропроводность стекол при различных температурах дана в табл. 3.

Как видно из таблицы, электропроводность стекла увеличивается примерно в 10 раз при увеличении температуры на каждые  $25^\circ\text{C}$ .

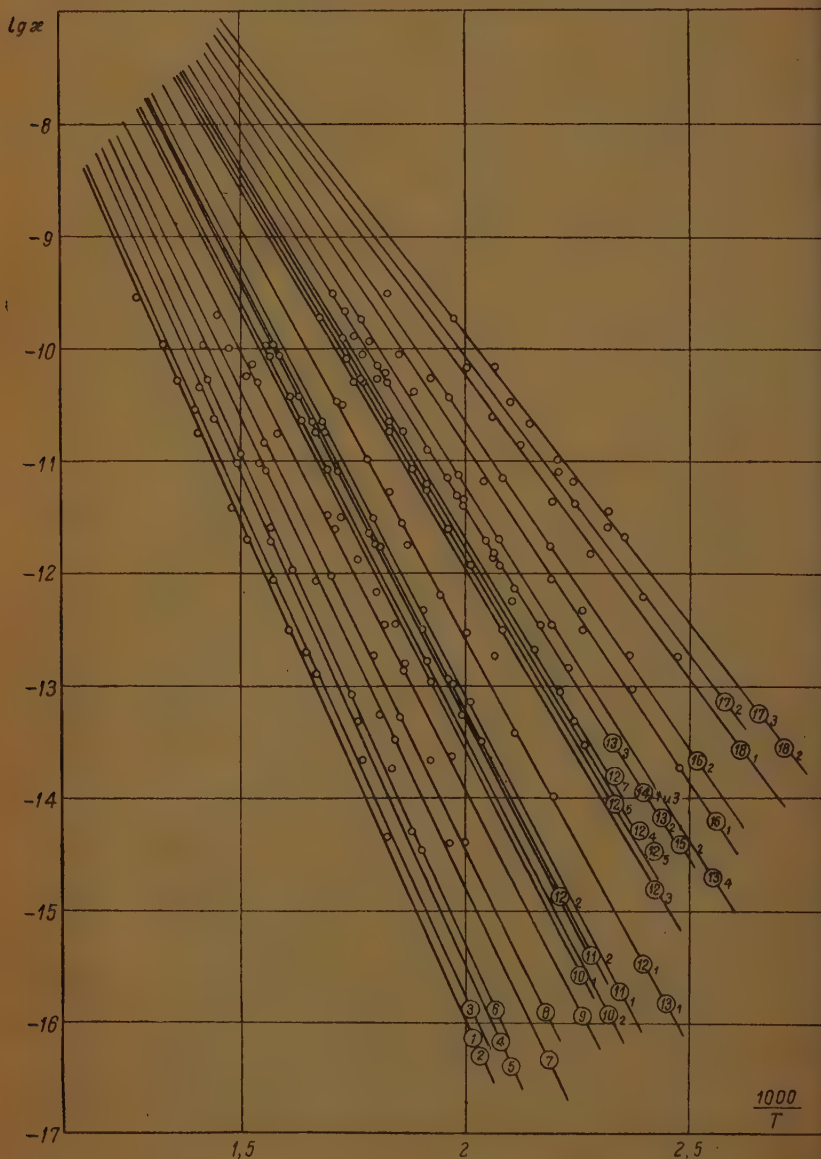


Рис. 1. Температурная зависимость электропроводности стекол борно-свинцовой системы

Таблица 3

## Значения электропроводности стекол при различных температурах

Состав стекла в мол. %	$t, ^\circ\text{C}$	$\kappa$	$-\lg \kappa$	№ стекла	Состав стекла в мол. %	$t, ^\circ\text{C}$	$\kappa$	$-\lg \kappa$
2	3	4	5	1	2	3	4	5
PbO 21,4 B <sub>2</sub> O <sub>3</sub> 78,6	468	$5,5 \cdot 10^{-11}$	10,26	9	PbO 42,4 B <sub>2</sub> O <sub>3</sub> 57,6	374	$5,2 \cdot 10^{-11}$	10,29
	388	$2,0 \cdot 10^{-12}$	11,70			356	$1,8 \cdot 10^{-11}$	10,75
	350	$3,1 \cdot 10^{-13}$	12,51			316	$3,2 \cdot 10^{-12}$	11,50
	330	$1,3 \cdot 10^{-13}$	12,89			310	$2,4 \cdot 10^{-12}$	11,62
	310	$3,0 \cdot 10^{-14}$	13,53			290	$1,3 \cdot 10^{-12}$	11,89
PbO 21,5 B <sub>2</sub> O <sub>3</sub> 78,5	485	$1,1 \cdot 10^{-11}$	10,96	10(1)	PbO 44,0 B <sub>2</sub> O <sub>3</sub> 56,0	280	$6,6 \cdot 10^{-13}$	12,19
	445	$1,8 \cdot 10^{-11}$	10,75			265	$1,3 \cdot 10^{-13}$	12,89
	406	$3,7 \cdot 10^{-12}$	11,43			386	$1,4 \cdot 10^{-10}$	9,86
	386	$1,5 \cdot 10^{-12}$	11,83			348	$2,1 \cdot 10^{-11}$	10,68
	328	$6,9 \cdot 10^{-14}$	13,16			310	$3,2 \cdot 10^{-12}$	11,50
	305	$2,9 \cdot 10^{-14}$	13,53			270	$3,4 \cdot 10^{-13}$	12,47
	296	$1,8 \cdot 10^{-14}$	13,74			250	$1,1 \cdot 10^{-13}$	12,96
	275	$4,6 \cdot 10^{-13}$	12,34					
PbO 24,1 B <sub>2</sub> O <sub>3</sub> 75,9	448	$2,8 \cdot 10^{-11}$	10,56	10(2)	PbO 44,9 B <sub>2</sub> O <sub>3</sub> 55,1	368	$8,8 \cdot 10^{-11}$	10,06
	408	$4,9 \cdot 10^{-12}$	11,31			340	$2,2 \cdot 10^{-11}$	10,66
	370	$8,9 \cdot 10^{-13}$	12,06			290	$1,7 \cdot 10^{-12}$	11,77
	335	$2,1 \cdot 10^{-13}$	12,63			252	$1,6 \cdot 10^{-13}$	12,80
	290	$2,3 \cdot 10^{-14}$	13,64					
PbO 28,0 B <sub>2</sub> O <sub>3</sub> 12,0	420	$2,4 \cdot 10^{-11}$	10,62	11(1)	PbO 47,3 B <sub>2</sub> O <sub>3</sub> 52,7	370	$1,1 \cdot 10^{-10}$	9,96
	400	$9,6 \cdot 10^{-13}$	11,02			325	$1,9 \cdot 10^{-11}$	10,73
	367	$2,0 \cdot 10^{-12}$	11,70			290	$3,3 \cdot 10^{-12}$	11,49
	365	$2,3 \cdot 10^{-12}$	11,64			260	$4,6 \cdot 10^{-13}$	12,34
	365	$2,3 \cdot 10^{-12}$	11,64			230	$7,4 \cdot 10^{-14}$	13,14
	348	$1,1 \cdot 10^{-12}$	11,96					
	308	$1,1 \cdot 10^{-13}$	12,96					
PbO 30,8 B <sub>2</sub> O <sub>3</sub> 69,2	260	$4,9 \cdot 10^{-15}$	14,31	11(2)	PbO 46,8 B <sub>2</sub> O <sub>3</sub> 53,2	350	$3,6 \cdot 10^{-11}$	10,45
	235	$9,1 \cdot 10^{-16}$	15,04			300	$3,0 \cdot 10^{-12}$	11,53
	445	$4,3 \cdot 10^{-11}$	10,37			285	$1,8 \cdot 10^{-12}$	11,75
	420	$1,8 \cdot 10^{-11}$	10,75			262	$3,6 \cdot 10^{-13}$	12,45
	328	$2,0 \cdot 10^{-13}$	12,70			248	$1,4 \cdot 10^{-13}$	12,86
	293	$3,4 \cdot 10^{-14}$	13,47			242	$1,1 \cdot 10^{-13}$	12,96
	254	$3,6 \cdot 10^{-15}$	14,42			225	$3,0 \cdot 10^{-14}$	13,53
PbO 33,3 B <sub>2</sub> O <sub>3</sub> 66,7	434	$5,0 \cdot 10^{-11}$	10,31	12(1)	PbO 49,2 B <sub>2</sub> O <sub>3</sub> 50,8	215	$2,2 \cdot 10^{-14}$	13,66
	396	$1,1 \cdot 10^{-11}$	10,96			350	$1,6 \cdot 10^{-10}$	9,80
	364	$2,3 \cdot 10^{-12}$	11,64			310	$2,9 \cdot 10^{-11}$	10,54
	300	$8,3 \cdot 10^{-14}$	13,09			285	$6,3 \cdot 10^{-12}$	11,21
	270	$1,8 \cdot 10^{-14}$	13,75			256	$1,2 \cdot 10^{-12}$	11,93
						230	$2,9 \cdot 10^{-13}$	12,54
PbO 36,4 B <sub>2</sub> O <sub>3</sub> 63,6	438	$1,0 \cdot 10^{-10}$	10,00	12(2)	PbO 46,4 B <sub>2</sub> O <sub>3</sub> 53,6	205	$5,9 \cdot 10^{-14}$	13,23
	378	$9,1 \cdot 10^{-12}$ (1)	11,05			196	$1,9 \cdot 10^{-14}$	13,73
	370	$7,9 \cdot 10^{-12}$ (1)	11,11			350	$3,6 \cdot 10^{-10}$	9,45
	325	$8,1 \cdot 10^{-13}$	12,10			320	$8,1 \cdot 10^{-11}$	10,10
	308	$1,8 \cdot 10^{-13}$ (1)	12,74			294	$2,0 \cdot 10^{-11}$	10,70
	280	$5,4 \cdot 10^{-14}$	13,27			258	$2,7 \cdot 10^{-12}$	11,57
	238	$3,6 \cdot 10^{-15}$ (1)	14,44			235	$5,3 \cdot 10^{-13}$	12,28
PbO 39,5 B <sub>2</sub> O <sub>3</sub> 60,5	370	$1,4 \cdot 10^{-11}$	10,86	12(3)	PbO 49,6 B <sub>2</sub> O <sub>3</sub> 50,4	330	$1,3 \cdot 10^{-10}$	9,89
	316	$9,3 \cdot 10^{-13}$	12,04			300	$5,4 \cdot 10^{-11}$	10,27
	310	$6,1 \cdot 10^{-13}$	12,22			285	$2,3 \cdot 10^{-11}$	10,64
	290	$1,8 \cdot 10^{-13}$	12,75			265	$9,2 \cdot 10^{-12}$	11,05
	265	$5,4 \cdot 10^{-14}$	13,27			250	$2,6 \cdot 10^{-12}$	11,59
	245	$2,1 \cdot 10^{-14}$	13,68			230	$2,0 \cdot 10^{-13}$	11,70
						210	$3,3 \cdot 10^{-13}$	12,49

\* Значения электропроводности с  
 индексом (1) — для первого образца,  
 индекса — для второго образца.

Таблица 3 (продолжение)

№ стекла	Состав стекол в мол. %	$t, ^\circ\text{C}$	$\kappa$	$-\lg \kappa$	№ стекла	Состав стекол в мол. %	$t, ^\circ\text{C}$	$\kappa$	$-\lg \kappa$
1	2	3	4	5	1	2	3	4	5
12 <sup>(4)</sup>	PbO 50,8 B <sub>2</sub> O <sub>3</sub> 49,2	325 296 265 250 195 175	$1,9 \cdot 10^{-10}$ $5,1 \cdot 10^{-11}$ $1,7 \cdot 10^{-11}$ $5,4 \cdot 10^{-12}$ $2,1 \cdot 10^{-13}$ $5,0 \cdot 10^{-14}$	9,73 10,30 10,77 11,27 12,68 13,31	14 <sup>(3)</sup>	PbO 56,0 B <sub>2</sub> O <sub>3</sub> 44,0	295 285 250 230 215 200 190	$8,3 \cdot 10^{-11}$ $5,0 \cdot 10^{-11}$ $1,3 \cdot 10^{-11}$ $4,5 \cdot 10^{-12}$ $1,4 \cdot 10^{-12}$ $7,5 \cdot 10^{-13}$ $3,4 \cdot 10^{-13}$	10,0 10,3 10,8 11,3 11,8 12,1 12,4
12 <sup>(5)</sup>	PbO 50,0 B <sub>2</sub> O <sub>3</sub> 50,0	310 295 276	$1,2 \cdot 10^{-10}$ $4,6 \cdot 10^{-11}$ $2,2 \cdot 10^{-11}$	9,92 10,34 10,66	15 <sup>(2)</sup>	PbO 56,4 B <sub>2</sub> O <sub>3</sub> 43,6	310 280 230 210 200 150	$2,1 \cdot 10^{-10}$ $5,8 \cdot 10^{-11}$ $3,9 \cdot 10^{-12}$ $1,1 \cdot 10^{-12}$ $5,6 \cdot 10^{-13}$ $1,4 \cdot 10^{-14}$	9,6 10,2 11,4 11,9 12,2 13,8
12 <sup>(6)</sup>	PbO 51,0 B <sub>2</sub> O <sub>3</sub> 49,0	276 260 240 224 170	$1,8 \cdot 10^{-11}$ $8,0 \cdot 10^{-12}$ $2,4 \cdot 10^{-12}$ $1,1 \cdot 10^{-12}$ $2,6 \cdot 10^{-14}$	10,75 11,10 11,62 11,96 13,59	16 <sup>(1)</sup>	PbO 61,0 B <sub>2</sub> O <sub>3</sub> 39,0	285 265 235 230 210 200 196	$2,6 \cdot 10^{-10}$ $7,7 \cdot 10^{-11}$ $2,1 \cdot 10^{-11}$ $1,6 \cdot 10^{-11}$ $4,8 \cdot 10^{-12}$ $3,2 \cdot 10^{-12}$ $2,7 \cdot 10^{-12}$	9,5 10,1 10,6 10,8 11,3 11,5 11,5
12 <sup>(7)</sup>	PbO 52,0 B <sub>2</sub> O <sub>3</sub> 48,0	305 250 230 206 180	$9,7 \cdot 10^{-11}$ $6,3 \cdot 10^{-12}$ $2,2 \cdot 10^{-12}$ $5,6 \cdot 10^{-13}$ $8,8 \cdot 10^{-14}$	10,12 11,21 11,66 12,26 13,06	16 <sup>(2)</sup>	PbO 62,0 B <sub>2</sub> O <sub>3</sub> 38,0	280 250 240 210 186 170 152	$3,2 \cdot 10^{-10}$ $5,6 \cdot 10^{-11}$ $3,5 \cdot 10^{-11}$ $7,1 \cdot 10^{-12}$ $1,7 \cdot 10^{-12}$ $4,7 \cdot 10^{-13}$ $1,9 \cdot 10^{-13}$	9,5 10,2 10,4 11,1 11,7 12,3 12,7
13 <sup>(1)</sup>	PbO 49,6 B <sub>2</sub> O <sub>3</sub> 50,4	356 315 268 275 245 200 180	$1,1 \cdot 10^{-10}$ $3,4 \cdot 10^{-11}$ $2,8 \cdot 10^{-12}$ $5,2 \cdot 10^{-12}$ $5,8 \cdot 10^{-13}$ $3,6 \cdot 10^{-14}$ $1,0 \cdot 10^{-14}$	9,96 10,47 11,56 11,29 12,24 13,45 14,00	16 <sup>(2)</sup>	PbO 62,0 B <sub>2</sub> O <sub>3</sub> 38,0	280 250 240 210 186 170 152	$3,2 \cdot 10^{-10}$ $5,6 \cdot 10^{-11}$ $3,5 \cdot 10^{-11}$ $7,1 \cdot 10^{-12}$ $1,7 \cdot 10^{-12}$ $4,7 \cdot 10^{-13}$ $1,9 \cdot 10^{-13}$	9,5 10,2 10,4 11,1 11,7 12,3 12,7
13 <sup>(2)</sup>	PbO 53,6 B <sub>2</sub> O <sub>3</sub> 46,4	290 240 216	$1,1 \cdot 10^{-10}$ $1,4 \cdot 10^{-12}$ $1,7 \cdot 10^{-12}$	9,96 11,14 11,77	17 <sup>(2)</sup>	PbO 67,2 B <sub>2</sub> O <sub>3</sub> 32,8	230 200 188 176 160 148	$7,4 \cdot 10^{-11}$ $1,5 \cdot 10^{-11}$ $8,4 \cdot 10^{-12}$ $4,2 \cdot 10^{-12}$ $1,7 \cdot 10^{-12}$ $7,0 \cdot 10^{-13}$	10,4 10,8 11,0 11,3 11,7 12,1
13 <sup>(3)</sup>	PbO 53,0 B <sub>2</sub> O <sub>3</sub> 47,0	345 300 266 255 235 230 215 210	$1,7 \cdot 10^{-10}$ $2,0 \cdot 10^{-11}$ $2,6 \cdot 10^{-12}$ $1,2 \cdot 10^{-12}$ $4,4 \cdot 10^{-13}$ $2,6 \cdot 10^{-13}$ $1,5 \cdot 10^{-13}$ $8,7 \cdot 10^{-14}$	9,77 10,70 11,59 11,92 12,35 12,59 12,83 13,06	17 <sup>(3)</sup>	PbO 69,0 B <sub>2</sub> O <sub>3</sub> 31,0	236 215 196 176 162 156	$2,0 \cdot 10^{-10}$ $7,2 \cdot 10^{-11}$ $2,4 \cdot 10^{-11}$ $7,4 \cdot 10^{-12}$ $2,8 \cdot 10^{-12}$ $2,0 \cdot 10^{-12}$	9,7 10,1 10,6 11,1 11,5 11,7
13 <sup>(4)</sup>	PbO 57,2 B <sub>2</sub> O <sub>3</sub> 42,8	296 266 234 210 185	$4,2 \cdot 10^{-11}$ $1,8 \cdot 10^{-11}$ $7,0 \cdot 10^{-12}$ $1,9 \cdot 10^{-12}$ $3,5 \cdot 10^{-13}$	10,38 10,75 11,16 11,73 12,46	18 <sup>(1)</sup>	PbO 66,0 B <sub>2</sub> O <sub>3</sub> 34,0	215 186 170 134	$2,8 \cdot 10^{-11}$ $4,5 \cdot 10^{-12}$ $1,5 \cdot 10^{-12}$ $1,7 \cdot 10^{-13}$	10,1 11,1 11,3 12,1
14 <sup>(1)</sup>	PbO 56,0 B <sub>2</sub> O <sub>3</sub> 44,0	320 300 280 252 234 212 176 150	$2,7 \cdot 10^{-10}$ $1,3 \cdot 10^{-10}$ $4,5 \cdot 10^{-11}$ $1,1 \cdot 10^{-11}$ $4,7 \cdot 10^{-12}$ $1,4 \cdot 10^{-12}$ $1,5 \cdot 10^{-13}$ $2,1 \cdot 10^{-14}$	9,57 9,89 10,35 10,96 11,33 11,86 12,83 13,68	18 <sup>(2)</sup>	PbO 69,0 B <sub>2</sub> O <sub>3</sub> 31,0	235 205 184 178 162 156	$1,7 \cdot 10^{-10}$ $3,6 \cdot 10^{-11}$ $1,1 \cdot 10^{-11}$ $6,8 \cdot 10^{-12}$ $4,0 \cdot 10^{-13}$ $2,2 \cdot 10^{-12}$	9,1 10,1 10,1 11,1 11,1 11,1

Для всех стекол зависимость  $\lg \kappa - \frac{1}{T}$  (рис. 1) графически выражается прямыми, так как оказывается справедливым уравнение:

$$\kappa = A \cdot e^{-\frac{B}{T}}$$

Наклон прямых к оси ординат непрерывно возрастает по мере увеличения содержания в стеклах борного ангидрида, т. е. температурный коэффициент электропроводности возрастает с увеличением содержания в стеклах  $B_2O_3$ ; иными словами, с увеличением сопротивления стекол происходит увеличение и температурного коэффициента электросопротивления.

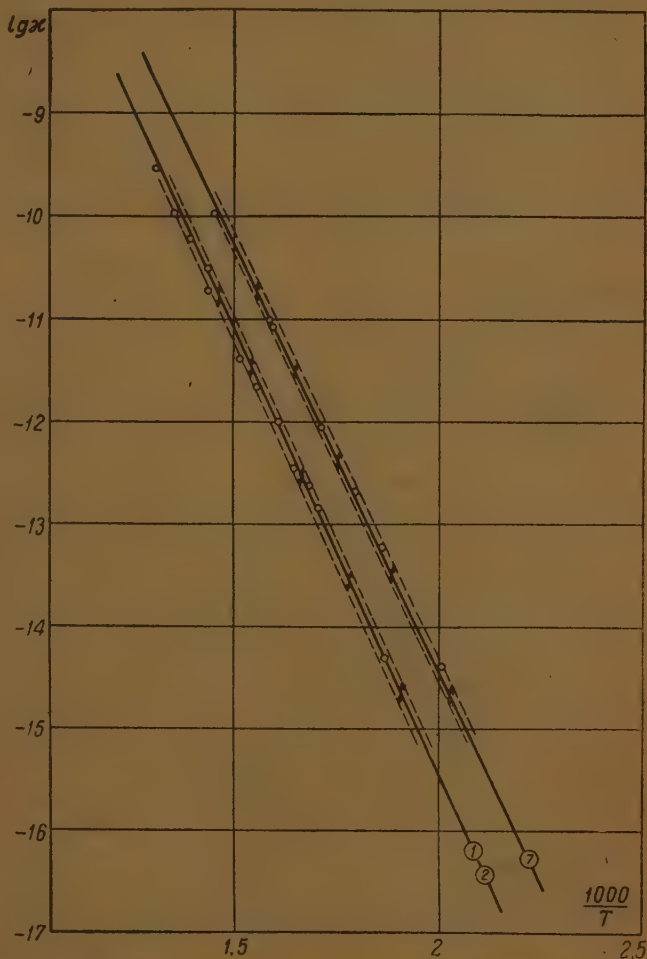


Рис. 2. Воспроизводимость результатов измерений

Воспроизводимость результатов измерения можно проследить на стеклах одного состава различных варок (стекло 1 и стекло 2 табл. 3) и на стеклах одной варки (стекло 7 табл. 3). Из рис. 2 можно видеть, в каких пределах воспроизводились результаты отдельных изме-



рений. На прямых  $\lg \kappa - \frac{1}{T}$  стрелками показан интервал воспроизводимости. Так, из рисунка видно, что для стекол 1 и 2 наибольшая разница в значениях логарифма электропроводности для одной и той же температуры 13,76—13,56, для стекла 7 разница составляет 13,92—13,72.

Путем экстраполяции находим, что при комнатных температурах сопротивление стекол, содержащих 40 мол. %  $B_2O_3$  и меньше, достигает  $10^{17}$  ом·см, для стекол с большим содержанием борного ангидрида увеличивается до  $10^{22}$  ом·см. Таким образом, борно-свинцовые стекла, содержащие значительное количество борного ангидрида, имеют сопротивление превосходящее сопротивление одного из лучших изоляторов — плавленного кварца ( $\rho = 10^{18}$  ом·см).

К сожалению, эти стекла из-за малой химической устойчивости не пригодны для практического использования, но они могут рассматриваться как основа при разработке практических стекол с высокими изоляционными свойствами. Сопротивление борного ангидрида при комнатных температурах достигает примерно  $10^{23}$  ом·см, а кварца  $10^{18}$  ом·см. Повышенное сопротивление борных стекол, надо думать, обусловлено высокими изоляционными свойствами самого борного ангидрида. Структурная сетка борного ангидрида в энергетическом отношении более прочна, нежели сетка кремнезема. Подтверждением этого может служить различие в теплотах образования борного ангидрида (340 ккал) и кварца (204 ккал).

### Зависимость электропроводности от состава

На рис. 3 представлены изотермы электропроводности борно-свинцовых стекол. Изотермы даны для трех температур: 200, 300 и 400° С.

Из рисунка видно, что изотермы состоят из отрезков прямых, пересекающихся в некоторых точках. При всех температурах имеет место возрастание электропроводности при увеличении содержания в стекле окиси свинца.

Изотермы логарифма электропроводности образованы отрезками прямых, пересекающихся в точках, отвечающих соединениям  $PbO \cdot 2B_2O_3$  (стекло 6),  $5PbO \cdot 4B_2O_3$  (стекла 13<sub>2</sub> и 14<sub>1,3</sub>) и  $2PbO \cdot B_2O_3$  (стекло 18). Исключение составляет область стекол, содержащих  $PbO$  от 49 до 51 мол. %. На рис. 3 приведена диаграмма состояния системы  $PbO - B_2O_3$  [4].

Таким образом, в области, ограниченной определенными соединениями, между которыми в случае кристаллизации расплава возможно образование эвтектики, электропроводность стекол изменяется с составом по экспоненте. Эта же закономерность часто наблюдается при исследовании электропроводности бинарных солеобразных и стеклообразных расплавов. К. С. Евстропьев [5] считает, что аддитивность логарифма электропроводности стекол по их составу свидетельствует об аддитивности энергии структурных связей компонентов, образующих бинарную эвтектику. Последнее рассматривается как косвенное указание на микрогетерогенную природу стекол.

Особый интерес представляет область составов, отвечающих 50 мол. %  $PbO$ . Здесь наблюдается резкий скачок электропроводности с изменением содержания в стекле  $PbO$ . На участке, где состав меняется на 1% (от 49 до 50 мол. %  $PbO$ ), электропроводность претерпевает десятикратное изменение. На остальных участках изотермы десятикратному изменению электропроводности соответствуют изменения в составе  $PbO$  примерно на 9—10 мол. %.

Чтобы убедиться в правильности обнаруженного нами резкого изменения  $\kappa$ , были проведены дополнительные варки стекол, составы которых лежат в пределах 42—57 мол. %  $PbO$ . Таким образом всего изготовлено и измерено дополнительно 12 стекол. На рис. 3 повторные варки обозначены соответствующими значками, отвечающими номеру варки. Так, обозна-

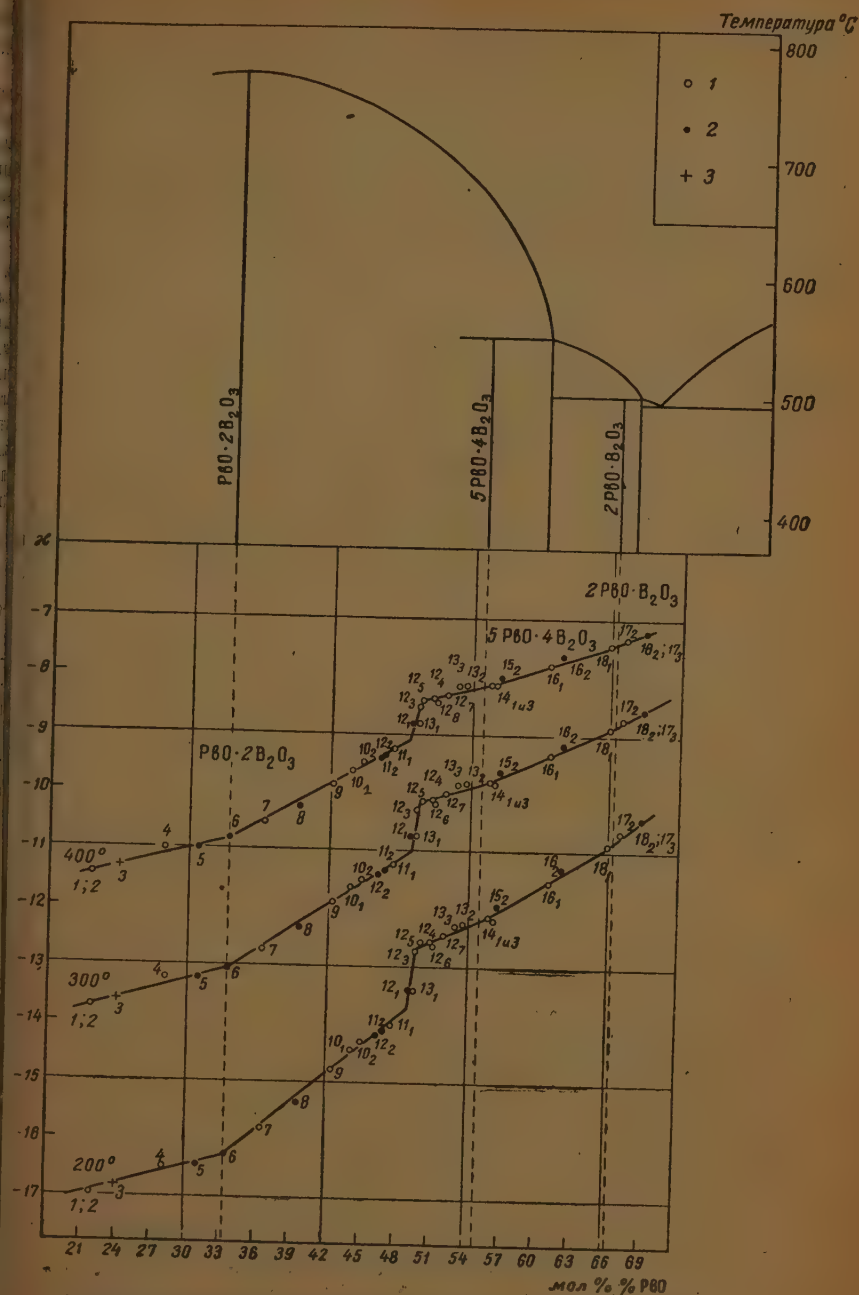


Рис. 3. Изотермы электропроводности борно-свинцовых стекол.  
Обозначения: 1 — состав в мол. % по измерениям плотности; 2 — состав в мол. % по данным анализа; 3 — синтез

по 12, отвечает седьмой варке стекла с синтетическим составом 51 мол. % В<sub>2</sub>О<sub>3</sub>.

Составы изготовленных стекол были тщательно исследованы аналитически и была измерена плотность каждого из этих стекол. По кривой зависимости плотности борно-свинцовых стекол от их состава можно было проверить правильность химического анализа. Каждое из стекол измерялось дважды для проверки воспроизводимости измерения. Такое большое количество измерений в области составов 49—51 мол.%  $PbO$  проводилось для подтверждения того, что обнаруженный скачок электропроводности действительно существует и не связан с ошибками опыта. В настоящий момент мы не располагаем данными, которые могли бы объяснить природу этого скачка.

Таблица 4

Значения энергии активации для стекол борно-свинцовой системы

№ стекло	Состав стекол в мол. %		В	Q
	$PbO$	$B_2O_3$		
1	21,4	78,6	9000	83 000
2	21,5	78,5	9000	83 000
3	24,1	75,9	8800	81 000
4	28,0	72,0	8800	81 000
5	30,8	69,2	8800	81 000
6	33,3	66,7	8800	81 000
7	36,4	63,6	8300	76 000
8	39,5	60,5	8200	75 000
9	42,4	57,6	7800	72 000
10 <sub>1</sub>	44,0	56,0	7800	72 000
11 <sub>2</sub>	46,8	53,2	7800	72 000
12 <sub>6</sub>	51,0	49,0	6700	62 000
13 <sub>3</sub>	53,0	47,0	6400	59 000
14 <sub>3</sub>	56,0	44,0	6400	59 000
15 <sub>2</sub>	56,4	43,6	6400	59 000
16 <sub>1</sub>	61,0	39,0	5800	53 000
17 <sub>2</sub>	67,2	32,8	5300	49 000
18 <sub>2</sub>	69,0	31,0	5200	48 000

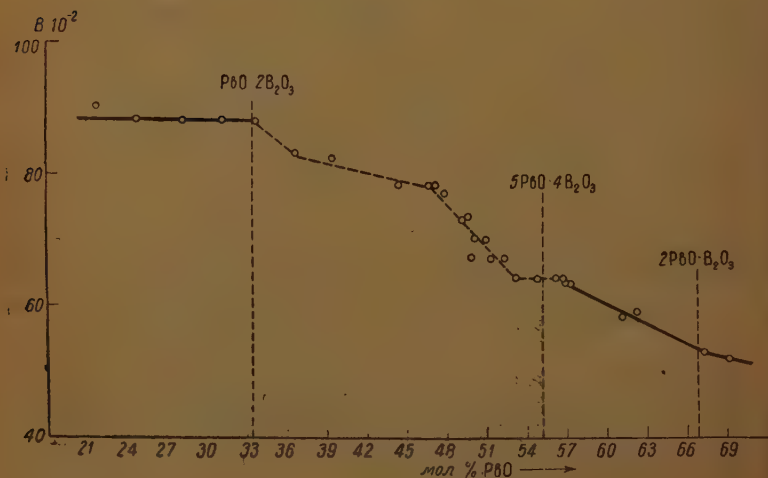


Рис. 4

В табл. 4 даны значения энергии активации, подсчитанные по известному соотношению Н. И. Френкеля  $Q = 2RB$ , где  $Q$  — энергия активации,несенная к 1 молю вещества,  $R$  — газовая постоянная в калориях, — постоянная в уравнении  $\ln \kappa = A - \frac{B}{T}$  ( $B = 2,304 b$ , где  $b$  — постоянная уравнения  $\lg \kappa = a - \frac{b}{T}$ ).

Значения энергии активации для исследованных стекол превосходят по своей величине значения энергии активации для других ранее исследованных стекол.

У свинцово-кремнеземных стекол энергия активации составляет примерно 50 ккал, в то время как у борно-свинцовых стекол ее значение выходит до 83 ккал. Энергия активации для плавленого кварца по данным электропроводности составляет около 80 ккал/моль.

Энергия активации борно-свинцовых стекол по данным вязкости составляет около 200 ккал, что примерно в три раза превосходит энергию активации, соответствующую электропроводности. Энергия активации вязкости кремне-свинцовых стекол значительно меньше и равна примерно 50 ккал на моль [6].

Зависимость коэффициента  $B$  от состава (рис. 4) выражается отрезками прямой, пересекающимися в точках, отвечающих по составу химическим соединениям  $PbO \cdot 2B_2O_3$ ;  $5PbO \cdot 4B_2O_3$ ;  $2PbO \cdot B_2O_3$ . Значения коэффициента возрастают с увеличением в стеклах содержания борного ангидрида.

### Выводы

1. Измерена удельная электропроводность стекол системы  $PbO-B_2O_3$  на участке, где содержание  $PbO$  меняется от 21,4 до 69 мол.% в интервале температур 170—400° С.

2. Найдено, что зависимость электропроводности стекол от температуры удовлетворительно следует формуле  $\lg \kappa = a - \frac{b}{T}$ .

3. Установлено возрастание электропроводности стекол с увеличением содержания окиси свинца.

4. Логарифм электропроводности линейно возрастает с увеличением содержания  $PbO$  в стеклах.

5. Изотермы логарифма электропроводности претерпевают изломы в точках, соответствующих в диаграмме состояния системы соединениям  $PbO \cdot 2B_2O_3$ ;  $5PbO \cdot 4B_2O_3$ ;  $2PbO \cdot B_2O_3$ .

Обнаружен резкий скачок электропроводности в области состава, отвечающего 50 мол.%  $PbO$ .

6. Вычислена энергия активации стекол.

Установлено, что борно-свинцовые стекла имеют высокую энергию активации. Энергия активации стекол возрастает с увеличением в стеклах содержания  $B_2O_3$ .

Ленинград

Поступила  
3.X.1950

### ЛИТЕРАТУРА

- С. А. Шукарев и Р. Л. Мюллер, Журн. физ. химии, 1, 625, 1930.  
E. Seddon, E. J. Tippet, E. S. Turnel, Journ. Soc. Glass. Techn., 16, 450, 1932.  
А. Я. Кузнецов, К. С. Евстропьев, Н. Г. Мельникова, Журн. техн. физики XXI, 104, 1951.  
R. F. Geller u. E. N. Bunting, Journ. of Research of the National Bureau of Standards, 1937, 48 (5), 585.  
К. С. Евстропьев, Изв. АН СССР, сер. физ., IV, № 4, 1940.  
Б. А. Поспелов, Диссертация, Ленинград, 1947.



## КАТАЛИТИЧЕСКАЯ ПОЛИМЕРИЗАЦИЯ НЕНАСЫЩЕННЫХ СОЕДИНЕНИЙ

### II. ВЛИЯНИЕ ДИЭЛЕКТРИЧЕСКОЙ ПОСТОЯННОЙ СРЕДЫ НА КАТАЛИТИЧЕСКУЮ ПОЛИМЕРИЗАЦИЮ СТИРОЛА

*А. Р. Гантмахер и С. С. Медведев*

Процессы каталитической полимеризации являются своеобразными цепными реакциями и протекают, повидимому, по так называемому карбониевому механизму, согласно которому активные центры являются соединениями ионного типа — содержат на конце трехвалентный положительный углерод. Ионный характер этих процессов подтверждается тем обстоятельством, что эти реакции существенно зависят от диэлектрической постоянной среды, в которой протекает полимеризация.

В работе Пепера [1] было показано, что скорость каталитической полимеризации возрастает с ростом диэлектрической постоянной растворителя. При исследовании влияния воды на каталитическую полимеризацию стирола со  $\text{SnCl}_4$  Пепером было найдено, что вода снижает скорость каталитической полимеризации в растворителях с различной диэлектрической постоянной.

В нашей работе [2] было установлено, что  $\text{H}_2\text{O}$  и  $\text{HCl}$  ускоряют каталитическую полимеризацию в системе стирол,  $\text{SnCl}_4$ , хлористый этил.

В растворителе  $\text{CCl}_4$  Вильямс [3] наблюдал ингибирующее действие  $\text{HCl}$  при полимеризации стирола с катализатором  $\text{SnCl}_4$ .

Представлялось интересным исследовать влияние  $\text{HCl}$  на каталитическую полимеризацию в зависимости от диэлектрической постоянной среды. В настоящей работе нами исследовалась каталитическая полимеризация стирола со  $\text{SnCl}_4$  в различных растворителях, а также влияние  $\text{HCl}$  на этот процесс в зависимости от диэлектрической постоянной среды.

### Результаты исследования

Исследовалась скорость каталитической полимеризации стирола со  $\text{SnCl}_4$  в растворителях: циклогексане, хлористом этиле, дихлорэтано и ортонитротолуоле. Изучалось также влияние добавок  $\text{HCl}$  на скорость процесса в этих же растворителях. Исследования проводились при  $20^\circ\text{C}$  dilatометрическим методом.

На рис. 1, 2, 3, 4 приведены кривые, характеризующие протекание реакции в различных растворителях, а также влияние добавок  $\text{HCl}$  в тех же растворителях. Было установлено, что с возрастанием диэлектрической постоянной растворителя скорость каталитической полимеризации возрастает.

Как видно на рис. 1, 2, 3, 4, влияние  $\text{HCl}$  на каталитическую полимеризацию стирола в различных растворителях различно. В растворителях хлористом этиле, дихлорэтано и ортонитротолуоле добавка  $\text{HCl}$  вызывала возрастание скорости полимеризации; причем, в дихлорэтано добавка  $\text{HCl}$  вызывает большее возрастание скорости, чем в хлористом этиле. Однако в ортонитротолуоле ускоряющее влияние добавки  $\text{HCl}$  меньше, чем в хлористом этиле и дихлорэтано. При проведении реакции в циклогексане

растворителе с диэлектрической постоянной, близкой к диэлектрической постоянной  $\text{CCl}_4$ ) наблюдались начальные периоды ингибирования. Добавка  $\text{HCl}$  не вызвала возрастания продолжительности периодов ингибирования.

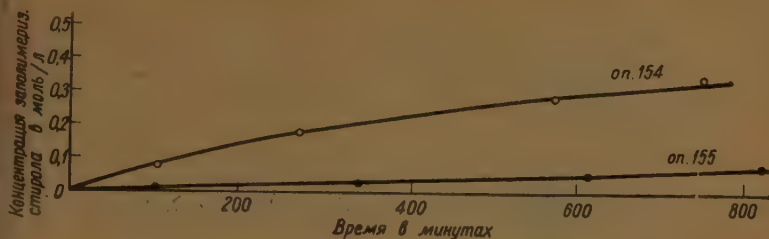


Рис. 1. Полимеризация в растворителе циклогексане

№ опыта	Начальная концентрация стирола в моль/л	Концентрация $\text{SnCl}_4$ в моль/л	Концентрация $\text{HCl}$ в моль/л
154	1,00	0,063	0
155	1,21	0,061	0,06

Добавка  $\text{HCl}$  в циклогексане вызывала снижение скорости полимеризации, причем это снижение скорости не носит характера временного ингибирования, как это наблюдал Вильямс в растворителе  $\text{CCl}_4$ . При длительном наблюдении возрастание скорости процесса во времени в присутствии  $\text{HCl}$  не наблюдалось. Интересно отметить, что и в растворителе

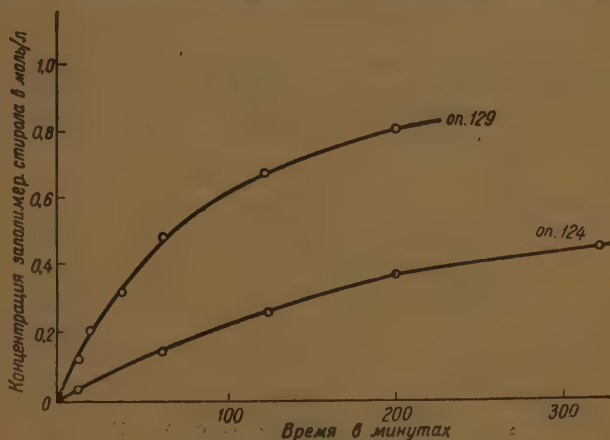


Рис. 2. Полимеризация в растворителе хлористом этиле

№ опыта	Начальная концентрация стирола в моль/л	Концентрация $\text{SnCl}_4$ в моль/л	Концентрация $\text{HCl}$ в моль/л
124	0,9254	0,0197	0
129	1,074	0,021	0,0190

циклогексане, как и в хлористом этиле [2], в области высоких концентраций прола, наблюдалось возрастание скорости реакции во времени. В присутствии  $\text{HCl}$  этот эффект не имел места. Соответствующие кривые приведены на рис. 5.

Как видно из сравнения кривых на рис. 1 и 2, скорость полимеризации при переходе от циклогексана к хлористому этилу резко возрастает. Наличие такого большого влияния диэлектрической постоянной растворителя на скорость реакции указывало на необходимость учета изменения диэлек-

трической постоянной среды при исследовании зависимости скорости реакции каталитической полимеризации стирола от концентрации мономера в растворителе хлористом этиле.

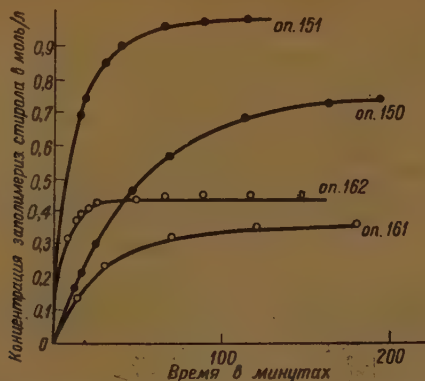


Рис. 3. Полимеризация в растворителе дихлорэтане

№ опыта	Начальная концентрация стирола в моль/л	Концентрация $\text{SnCl}_4$ в моль/л	Концентрация $\text{HCl}$ в моль/л
150	1,045	0,0108	0
151	1,073	0,0113	0,0118
161	0,562	0,0112	0
162	0,573	0,0122	0,0110

Существенно было исследовать эту зависимость в растворах с одинаковой диэлектрической постоянной. Это условие было осуществлено таким образом, что к системе прибавлялся бензол в таком количестве, что при

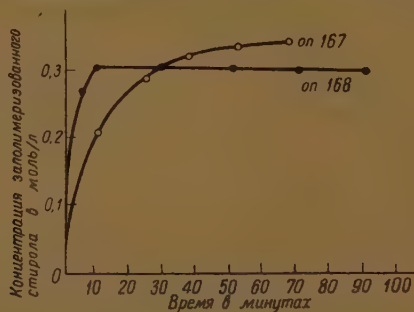


Рис. 4. Полимеризация в растворителе ортонитротолуоле

№ опыта	Начальная концентрация стирола в моль/л	Концентрация $\text{SnCl}_4$ в моль/л	Концентрация $\text{HCl}$ в моль/л
167	0,5050	0,0089	0
168	0,5474	0,0102	0,0189

вариации концентрации стирола сумма объемных процентов бензола и стирола оставалась постоянной.

При этом было найдено, что скорость реакции каталитической полимеризации стирола со  $\text{SnCl}_4$  пропорциональна квадрату концентрации стирола, аналогично результатам, полученным Пепером для каталитической полимеризации стирола в дихлорэтане [4]. Соответствующие данные приведены на рис. 6.

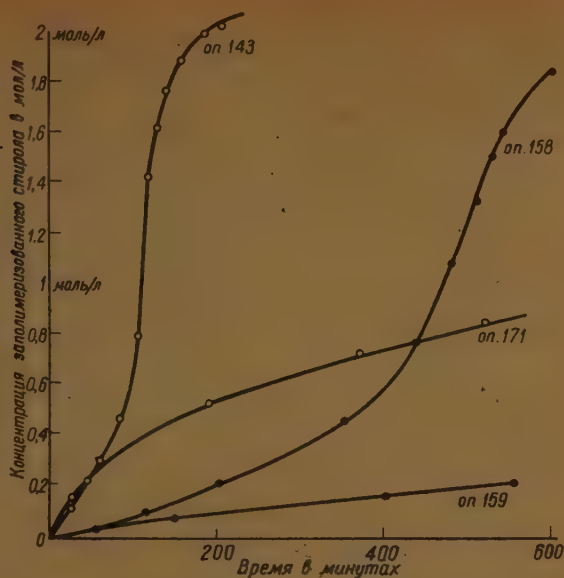


Рис. 5. Полимеризация в растворителях хлористом этиле и циклогексане при высокой концентрации мономера

№ опы- та	Растворитель	Концентрация сти- рола в моль/л	Концентрация $\text{SnCl}_4$ в моль/л	Концентрация $\text{HCl}$ в моль/л
143	хлор. этил	2,554	0,0180	0
171	»	2,791	0,0038	0,089
158	циклогексан	2,615	0,1196	0
159	»	2,655	0,1190	0,160

Таблица 1

Растворитель	Началь- ная концентр. стирола в моль/л	Концентр. $\text{SnCl}_4$ в моль/л	Концентр. $\text{HCl}$ в моль/л	$[\eta]$	% полиме- ризации	Молеку- лярный вес поли- стирола*
Циклогексан	1,131	0,0283	0	0,75	23,2	1,741
»	1,21	0,0613	0,060	0,50	13,28	773
»	2,615	0,1196	0	0,82	71,55	2,081
»	2,655	0,1190	0,160	0,50	32,40	773
Хлористый этил	0,9254	0,01969	0	2,00	73,73	12,370
»	0,6161	0,0080	0	1,77	73,68	9,697
»	1,074	0,0213	0,019	1,296	88,28	5,199
Дихлорэтан	1,045	0,0108	0	1,74	74,45	9,372
»	1,073	0,0113	0,0118	1,245	90,72	4,798
»	0,562	0,0112	0	0,9592	62,95	2,848
»	0,573	0,0122	0,0110	0,748	75,36	1,732
Ортонитротолуол	0,5050	0,0089	0	0,9539	69,88	2,817
»	0,5474	0,0102	0,0189	0,630	56,96	1,228

\* Молекулярный вес рассчитан по формуле  $M = 104 \cdot P$ , где  $P$  — средняя степень полимеризации.  $P$  определялось из соотношения  $[\eta] = k' P^a$ , где  $k' = 0,1833$ ,  $a = 1/2$ .

$$[\eta] = \lim_{c \rightarrow 0} \frac{\eta_{уд}}{c} \quad (c \text{ в моль/л (см. [2])).}$$



Нами исследовалась также вязкость растворов полимеров, полученных при каталитической полимеризации стирола в различных растворителях при наличии и отсутствии добавок  $\text{HCl}$ . Измерения проводились при  $20^\circ \text{C}$ . Соответствующие данные приведены в табл. 1.

Из данных таблицы видно, что при переходе от циклогексана к хлористому этилу наблюдается возрастание молекулярного веса полистирола,

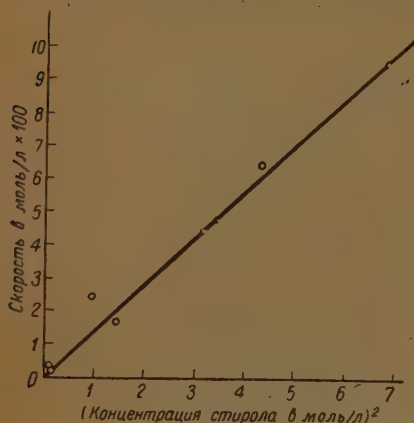


Рис. 6

однако при переходе от хлористого этила к дихлорэтану и ортонитротолуолу с возрастанием диэлектрической постоянной растворителя молекулярный вес не только не растет, но даже несколько понижается.

Во всех исследованных растворителях добавки  $\text{HCl}$  вызывали понижение молекулярного веса полистирола.

### Обсуждение результатов

Как видно из приведенных выше рис. 1, 2, 3, 4 скорость реакции возрастает с ростом диэлектрической постоянной среды.

При переходе от циклогексана к хлористому этилу это возрастание скорости сопровождается увеличением молекулярного веса.

В нашей работе [2] было показано, что для каталитической полимеризации стирола средняя степень полимеризации

$$P = \frac{K_2}{K_3} A,$$

$K_2$  — скорость роста цепи,  $K_3$  — скорость обрыва цепи,  $A$  — концентрация мономера. Поэтому наблюдаемое увеличение молекулярного веса,

очевидно, обусловлено возрастанием отношения  $\frac{K_2}{K_3}$  \* с ростом диэлектри-

ческой постоянной среды; возможно, что рост значения  $\frac{K_2}{K_3}$  в основном и

обуславливает увеличение скорости при замене растворителя циклогексана хлористым этилом. Однако при переходе от хлористого этила к дихлорэтану и ортонитротолуолу возрастание скорости не сопровождается ростом молекулярного веса образующихся полимеров. В этих растворителях большая скорость реакции обусловлена, очевидно, увеличением скорости образования начальных активных центров.

В растворителях хлористом этиле, дихлорэтане и ортонитротолуоле добавка  $\text{HCl}$  вызывает возрастание скорости реакции каталитической полимеризации стирола со  $\text{SnCl}_4$ .

Этот эффект, вероятно, обусловлен диссоциацией комплекса хлористого водорода с четыреххлористым оловом с образованием  $\text{H}^+$ -ионов, более активно иницирующих процесс, чем молекулы  $\text{SnCl}_4$ .

Возрастание ускорения реакции, обусловленное  $\text{HCl}$ , при переходе от хлористого этила к дихлорэтану вызвано, повидимому, большей диссоциа-

\* С ростом диэлектрической постоянной среды, очевидно, уменьшаются и  $K_2$  и  $K_3$  — константы скоростей реакций взаимодействия заряженной частицы и молекулы, и двух заряженных частиц, соответственно. В хлористом этиле  $K_2$  уменьшается, повидимому, более резко, чем  $K_3$ , вследствие чего их отношение  $\frac{K_2}{K_3}$  возрастает.

ой комплекса и соответственно большей концентрацией  $H^+$ -ионов в растворителе с большей диэлектрической постоянной. Однако при переходе дихлорэтана к ортонитротолуолу ускорение, вызванное добавкой  $HCl$ , снижается. Это обстоятельство, вероятно, обусловлено тем, что молекулы ортонитротолуола образуют с  $H^+$ -ионами довольно прочные комплексы экранируя, таким образом, поле  $H^+$ -иона, снижают его каталитическую живность.

В присутствии циклогексана, растворителя с небольшой диэлектрической постоянной, скорость реакции при прибавлении  $HCl$  снижается. Это снижение скорости реакции не носит характера временного ингибирования и обусловлено, повидимому, тем, что молекулы  $HCl$  образуют со  $SnCl_4$  прочные комплексы и, блокируя, таким образом, молекулы четырехористого олова, делают их каталитически неактивными. Концентрация  $H^+$ -ионов в циклогексане очень мала, вследствие малой диэлектрической постоянной циклогексана.

Понижение молекулярного веса в присутствии  $HCl$  во всех исследованных нами растворителях обусловлено, очевидно, меньшей энергией активации обрыва цепи в присутствии  $HCl$  при взаимодействии растущей цепи трихлоралюминиевым ионом (см. в предыдущей работе [2] реакции (23)).

В нашей работе [2] было показано, что небольшие добавки воды также тормозят каталитическую полимеризацию стирола в хлористом этиле. Добавка воды также обуславливала снижение молекулярного веса образующегося полимера.

Как уже указывалось выше, Пепер наблюдал снижение скорости полимеризации стирола со  $SnCl_4$  в присутствии добавок воды при проведении реакции в дихлорэтаноле и ортонитротолуоле. Однако, как указывает автор, в работе не предпринимались особые предосторожности для удаления следов  $H_2O$  и  $HCl$  из катализатора. Возможно, что исходные растворы уже содержали значительное количество влаги и  $HCl$  и добавление избытка  $H_2O$ , вызывающее гидратацию и разложение  $SnCl_4$ , обуславливало снижение скорости процесса. В пользу этого предположения говорит то обстоятельство, что молекулярные веса полимеров, полученные Пепером при полимеризации стирола без добавок воды, ниже молекулярных весов полимеров, полученных нами в тех же условиях и близки к молекулярным весам полимеров, полученных в присутствии  $HCl$  (табл. 2). Следует отметить, что проводили полимеризацию при  $20^\circ C$ , а Пепер исследовал ту же систему при  $25^\circ C$ , однако, как это следует из нашей работы [2], такое небольшое изменение температуры полимеризации не могло обусловить наблюдаемую значительную разницу в молекулярных весах полимеров.

Таблица 2

	Начальная концентрация стирола в моль/л*	Концентрация $SnCl_4$ в моль/л	Концентрация $HCl$ в моль/л	$[\eta]$
Наши данные . . .	1,045	0,0108	0	1,74
» » . . .	1,073	0,0113	0,0118	1,245
Данные Пепера . . .	1,74	0,009	0	1,04

\* В работе Пепера исследование проводилось с большей концентрацией мономера, что должно было обусловить у него больший молекулярный вес образующегося полистирола.

### Методика исследования

Очистка и дозировка стирола, хлористого этила, хлористого водорода и четырех хлористого олова описаны в нашей работе [2]. Там же описано устройство применявшегося нами дилатометра.

Циклогексан обрабатывался 3% олеумом, затем промывался 3% раствором соды и водой, сушился последовательно плавленым поташом и металлическим натрием и подвергался фракционной перегонке.

Дихлорэтан промывался 10% раствором КОН, водой, сушился прокаленным поташом, затем плавленым  $\text{CaCl}_2$  и перегонялся на установке с дефлегматором со стеклянной спиралью.

Ортонитротолуол взбалтывался с разбавленным раствором соды, промывался водой и длительно сушился плавленым  $\text{Na}_2\text{SO}_4$ , после чего перегонялся в вакууме.

Ортонитротолуол хранился в склянке с притертой пробкой в эксикаторе над прокаленным  $\text{CaCl}_2$ .

### Выводы

1. Результаты, полученные при изучении процесса каталитической полимеризации стирола со  $\text{SnCl}_4$  в растворителях с различной диэлектрической постоянной (возрастание скорости реакции с ростом диэлектрической постоянной среды, различное влияние  $\text{HCl}$  в различных растворителях — ускоряющий эффект добавок  $\text{HCl}$  в хлористом этиле, дихлорэтаноле и ортонитротолуоле и понижение скорости реакции в присутствии добавок  $\text{HCl}$  в циклогексане, снижение молекулярного веса полимеров в присутствии добавок  $\text{HCl}$  в растворителях с различной диэлектрической постоянной) подтверждают ионный характер процессов каталитической полимеризации.

2. При проведении исследования зависимости скорости каталитической полимеризации стирола со  $\text{SnCl}_4$  от концентрации мономера в хлористом этиле в растворах с одинаковой диэлектрической постоянной среды было установлено, что скорость реакции пропорциональна квадрату концентрации стирола. Таким образом, процесс каталитической полимеризации стирола описывается следующим уравнением

$$-\frac{d[A]}{dt} = \frac{K_1 K_2}{K_3} [A]^2 [B],$$

(где  $[A]$  — концентрация стирола в момент  $t$ ,  $[B]$  — начальная концентрация катализатора,  $K_1$  — константа скорости иницирования,  $K_2$  — константа скорости роста цепи,  $K_3$  — константа скорости обрыва цепи).

Физико-химический институт  
им. Л. Я. Карпова  
Москва

Поступила  
20.X.1950

### ЛИТЕРАТУРА

1. D. C. Pepper, Trans. Farad. Soc., 45, 397, 1949.
2. А. Р. Гантмахер и С. С. Медведев, Журн. физ. химии, 23, 516, 1949.  
Труды 6-й конф. по высокомолекулярным соединениям, стр. 56, 1949.
3. Williams, Journ. Chem. Soc. Lond., 1046, 1938.
4. D. C. Pepper, Trans. Farad. Soc., 45, 404, 1949.

## ТЕОРИЯ СТЕКЛЯННОГО ЭЛЕКТРОДА

## IV. ЭКСПЕРИМЕНТАЛЬНОЕ ПОДТВЕРЖДЕНИЕ ОБМЕННОЙ ПРИРОДЫ ПОТЕНЦИАЛА СТЕКЛЯННОГО ЭЛЕКТРОДА

Б. П. Никольский и Е. А. Матерова

Исходя из представления об обмене ионов натрия в стекле на ионы водорода раствора, одним из авторов статьи [1] выведено уравнение для потенциала стеклянного электрода, объясняющее его водородную функцию и отступления от этой функции в зависимости от состава раствора:

$$\varepsilon = \varepsilon_0 + \vartheta \lg (a_{\text{H}^+} + k a_{\text{Na}^+}). \quad (1)$$

Здесь  $k$  — константа обмена, определяемая равенством:

$$k = \frac{a_{\text{H}^+} \cdot N_{\text{Na}^+}}{a_{\text{Na}^+} \cdot N_{\text{H}^+}}, \quad (2)$$

$$\vartheta = \frac{RT}{F} \cdot 2,303.$$

— потенциал стеклянного электрода;  $\varepsilon_0$  — константа, зависящая от вспомогательных электродов и от состава жидкости внутри электрода;  $a_{\text{Na}^+}$  и  $a_{\text{H}^+}$  — активности ионов натрия и водорода в растворе;  $N_{\text{H}^+}$  и  $N_{\text{Na}^+}$  — концентрации соответствующих ионов в стекле. Величина константы обмена  $k$  характеризует разницу в относительной прочности связи ионов натрия и водорода в стекле по сравнению с раствором и определяет границу рН, ниже которой стеклянный электрод ведет себя как водородный. Уравнение (1) выведено на основании предположения о том, что в обмене ионов участвует тонкий мономолекулярный слой стекла, который находится в равновесии с раствором.

Если стеклянный электрод находится в растворе ионов лития, то потенциал его определяется активностью водородных и литиевых ионов и константой обмена  $k' = \frac{a_{\text{H}^+} \cdot N_{\text{Li}^+}}{a_{\text{Li}^+} \cdot N_{\text{H}^+}}$  ионов водорода стекла на ионы лития в растворе:

$$\varepsilon = \varepsilon_0 + \vartheta \lg (a_{\text{H}^+} + k' a_{\text{Li}^+}). \quad (1a)$$

В щелочной среде, где концентрация водородных ионов ничтожно мала, потенциал стеклянного электрода определяется только активностью литиевых ионов и электрод приобретает металлическую литиевую функцию. По данным Б. П. Никольского и Т. А. Толмачевой [2] максимум на кривой  $\varepsilon - \text{pH}$ , полученной со стеклянным электродом для едкого лития, лежит почти при том же рН, как и в случае едкого натра. Это указывает на то, что константа обмена ионов натрия и водорода близка к величине константы обмена ионов лития и водорода.

Экспериментальная проверка [2] подтвердила уравнения (1) и (1a) и тем самым косвенно подтвердила представление о том, что механизм действия стеклянного электрода теснейшим образом связан с обменом катионов в поверхностном слое стекла.



Указание на то, что в основе действия стеклянного электрода лежат обмен ионов, дают также работы Хаугарда [3], который показал, что между потенциалом стеклянного электрода и поглощением водородных ионов стеклом имеется определенная зависимость. Поскольку водородные ионы являются в кислых растворах электромоторно-активными, потенциал стеклянного электрода при  $a_{H^+} = \text{const}$  должен меняться пропорционально изменению логарифма концентрации поглощенных стеклом водородных ионов:

$$e = \delta \lg N_{H^+} + \text{const.} \quad (3)$$

Это соотношение Хаугард пытался подтвердить опытным путем. Свежеприготовленные стеклянные электроды погружались в титрованные растворы соляной кислоты. Наблюдалось изменение потенциала электрода и содержания свободной соляной кислоты во времени. Результаты опытов находятся в соответствии с уравнением (3). Количество поглощенных ионов водорода определялось по количеству нейтрализованной соляной кислоты. Такое подтверждение обменной природы потенциала стеклянного электрода не может считаться достаточным, так как, во-первых, оно не прямое; во-вторых, на результаты могла оказать влияние растворимость стекла.

Более убедительные результаты по обмену ионов на стеклянной поверхности получены в работе Хенсли, Ланга, Вилларда [4]. Авторы применили метод радиоактивных индикаторов и показали, что поглощение стеклом иона натрия зависит от времени взаимодействия стекла с раствором и от pH. Опыты проведены на мягком стекле состава:  $\text{SiO}_2$  — 72,7%,  $\text{Na}_2\text{O}$  — 12%,  $\text{CaO}$  — 9,0%,  $\text{MgO}$  — 3,8%,  $\text{R}_2\text{O}_3$  — 1,4%,  $\text{K}_2\text{O}$  — 0,13%. В их опытах наблюдалось проникновение ионов натрия в стекло путем обмена на глубину до 10 молекулярных диаметров (слоев). Количество поглощенных ионов натрия увеличивалось с возрастанием pH. Авторы также показали, что ионы цезия значительно хуже поглощаются стеклом, чем ионы натрия. Это исследование не имело целью связать обмен ионов с электродными свойствами стекла, но результаты его представляют несомненный интерес в том отношении, что входжение ионов натрия в стекло констатировано непосредственными опытами, хотя и не для электродного стекла.

Большой интерес для рассматриваемого нами вопроса представляют работы ряда исследователей [5], в особенности С. А. Соколова и А. Г. Пасынского [6], в которых изучалось влияние природы ионов, входящих в состав стекла, на отклонение стеклянного электрода от водородной функции в растворах, содержащих различные катионы. Опыты С. А. Соколова и А. Г. Пасынского указывают на определенную связь между отклонениями потенциала стеклянного электрода в щелочных растворах и размером ионов. В литиевых стеклах резкие отступления от водородной функции вызываются ионами лития; ионы натрия и калия вызывают в этих стеклах лишь небольшие отступления. В натриевых стеклах большие отступления вызываются ионами лития и натрия, а в калиевых — ионами лития, натрия и калия. Величина отклонения зависит также от концентрации соответствующего иона в растворе. Эти экспериментальные факты с точки зрения теории обмена ионов в стеклах могут быть объяснены следующим образом. Ионы натрия и ионы лития легко проникают в натриевое стекло: ионы калия и бария, более крупные, чем ионы натрия, не могут свободно проникать внутрь этого стекла. В литиевое стекло способны проникать только ионы лития, в то время как в калиевое стекло легко могут проникать на место ионов калия ионы натрия и лития, имеющие меньшие размеры.

Таким образом, обменная природа стеклянного электрода подтверждается косвенными экспериментальными данными, указывающими на связь электродного процесса с проникновением ионов из стекла в раствор, и обратно.

Весьма существенным для теории стеклянного электрода, основанной на представлении об обмене ионов, было бы прямое экспериментальное наблюдение обмена водородных и металлических ионов между твердым стеклом и раствором в соответствии с указанными выше особенностями в поведении различных катионов. Этому вопросу и посвящена настоящая работа.

### Экспериментальная часть

#### Изучение обмена ионов в стекле потенциометрическим методом

Изучение обмена ионов в стекле, как было выяснено предварительными опытами, связано с большими методическими трудностями. Эти трудности обусловлены тем, что проникновение ионов в глубь стеклянной фазы происходит крайне медленно и процесс обмена ионов осложняется растворением стекла, количество же обменных катионов в растворе невелико. Вначале была сделана попытка определить обмен ионов водорода на ионы натрия и другие ионы методом потенциометрического титрования. Для этого проводилось титрование водно-солевой суспензии стеклянного порошка соответствующей щелочью и кривые титрования сравнивались с кривыми титрования того же титранта, полученными при отсутствии стекла. Если единственным процессом при взаимодействии стекла с растворами является обмен ионов, то по отступлению кривой титрования в присутствии стеклянного порошка от кривой титрования без стекла можно определить поглощение ионов стеклом.

Кривые титрования были получены методом отдельных проб, так как непосредственное титрование в присутствии одной и той же навески стекла, как показали предварительные опыты, не может быть проведено вследствие медленности установления равновесия в такой системе\*.

Отдельные пробы для снятия кривой титрования готовились следующим образом: склянные баночки на 100 мл брались навески стеклянного порошка по 3 г и к ним добавлялись определенные объемы растворов соли соответствующего металла ( $\text{NaCl}$ ,  $\text{BaCl}_2$ ), дистиллированной воды и соответствующей щелочи ( $\text{NaOH}$ ,  $\text{KOH}$ ,  $\text{Ba(OH)}_2$ ). Объем жидкости в каждой баночке всегда был равен 50 мл, а концентрация ионов металла сохранялась постоянной, равной 0,1 N или 1 N. Баночки в течение часа встряхивались на механической болталке. Через сутки и затем через трое суток производились измерения pH в жидкости в присутствии твердой фазы при помощи водородного электрода.

Для опытов были взяты следующие стекла:

Таблица 1

	Состав стекол в весовых процентах								Константа обмена $k$	Примечание
	$\text{SiO}_2$	$\text{Na}_2\text{O}$	$\text{CaO}$	$\text{B}_2\text{O}_3$	$\text{Al}_2\text{O}_3$	$\text{Fe}_2\text{O}_3$	$\text{MgO}$	$\text{K}_2\text{O}$		
1	72	22	6	—	—	—	—	—	$2 \cdot 10^{-12}$	Стекло Мак-Иннесса
2	64,6	20,9	5,6	8,8	—	—	—	—	$6 \cdot 10^{-9}$	Стекло борное*
3	67,9	9,58	8,63	2,68	4,01	0,27	0,52	6,33	—	» «Дружная горка» № 23

\* Электрохимические свойства стекла № 2 (борного), использованного в этой работе, исследованы В. Н. Никольским и Т. А. Толмачевой [2]. Было найдено, что присутствие борного ангидрида вызывает появление более значительных отклонений водородной функции, чем для электрохимического стекла № 1 в соответствии с приведенными в табл. 1 значениями констант обмена.

Подготовка стекла для опытов производилась следующим образом: стеклянный порошок получался растиранием кусочков соответствующего стекла в агатовой ступке розеттином через сита. Для опытов применялись порошки с частицами диаметром 10 до 50  $\mu$ . Порошки стекла длительно обрабатывались 0,1 N соляной кислотой и вымывались от иона хлора водой ( $\text{H}^+$  — стекла).

\* Подробности, касающиеся этой методики, см. [7].

Результаты опытов на стекле № 1 с различными катионами для 0,1 N растворов соли представлены на рис. 1. На оси ординат отложены величины рН, на оси абсцисс миллиэквиваленты прибавленной щелочи. Кривые, обозначенные 0, являются кривыми титрования раствора соли (в отсутствие стеклянного порошка); кривые 1 и 2 представляют кривые титрования того же раствора в присутствии стеклянного порошка, полученные через сутки (1) и через трое суток (2).

Наибольшие отклонения кривых 1 и 2 от 0-кривой наблюдаются для ионов натрия. Кривые для ионов калия показывают значительно меньшие отступления, а для ионов бария — совсем незначительные. Характерно

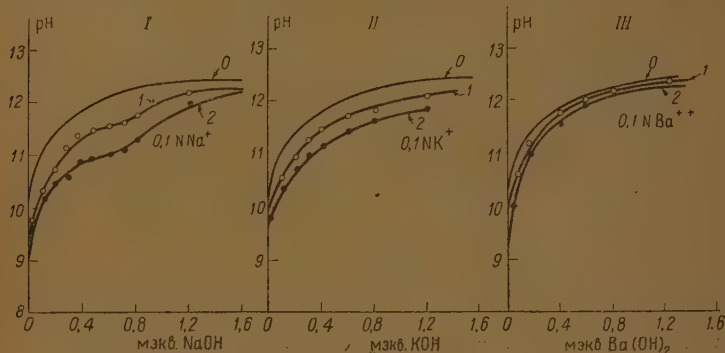


Рис. 1. Кривые титрования в присутствии стекла № 1: I — 0,1 N NaCl едким натром; II — 0,1 N KCl едким кали; III — 0,1 N BaCl<sub>2</sub> едким баритом. 0 — кривые титрования раствора соли в отсутствие стеклянного порошка; 1 — кривые титрования того же раствора в присутствии стеклянного порошка, полученные через сутки; 2 — полученные через трое суток

что кривые титрования для ионов натрия дают перегибы в интервале рН 10,5—12,0. Этот факт может служить указанием на то, что в этой области в основном и совершается обмен ионов водорода из стекла на щелочные ионы из раствора в соответствии с теорией стеклянного электрода. Однако вследствие того, что растворение стекла оказывает весьма существенное влияние на результаты потенциометрического титрования, это заключение не может считаться вполне достоверным. О растворимости стекла можно судить по количеству SiO<sub>2</sub> в растворах после взаимодействия их со стеклом. В табл. 2 сопоставлены результаты определения кремневой кислоты коллоидометрическим методом в растворах, служивших для получения кривых титрования, изображенных на рис. 1.

Таблица 2

Растворимость стекла № 1 в 0,1 N растворах калиевых и натриевых солей в зависимости от рН

0,1 N KCl			0,1 N NaCl		
№ пробы	рН	количество м-молей SiO <sub>2</sub> в растворе	№ пробы	рН	количество м-молей SiO <sub>2</sub> в растворе
1	9,65	0,21	1	9,96	0,20
2	10,04	0,24	2	10,20	0,23
3	11,48	0,25	3	10,85	0,24
4	12,20	0,28	4	10,80	0,25
5	12,39	0,31	5	12,32	0,28

Данные табл. 2 указывают на то, что растворимость стекла в присутствии ионов натрия в наших опытах оказалась даже несколько меньше, чем в присутствии ионов калия. Следовательно, наличие перегиба на натриевых кривых и отсутствие его на калиевых нельзя объяснить различием растворимости стекла. Таким образом различный ход кривых для ионов натрия и ионов калия находится в соответствии с данными для зависимости потенциала стеклинного электрода от pH в присутствии этих ионов.

Еще более значительная разница в характере взаимодействия ионов натрия и калия со стеклом № 1 наблюдается на кривых титрования в присутствии стеклинного порошка для одионормальных концентраций этих ионов в растворе. На рис. 2 сопоставлены кривые титрования элементарного взаимодействия стеклинного порошка с раствором для 1 N концентрации ионов калия (кривая 1) и 1 N концентрации ионов натрия (кривая 2). Кривая для иона натрия значительно раньше выправляется по сравнению с кривой для ионов калия и в интервале pH = 10,5–11,5 дает перегиб, связанный, очевидно, с интенсивным поглощением ионов натрия.

Следующая серия опытов была проведена на стекле № 2 (борное). Стекло № 2 по электродным свойствам отличается тем, что для него отступления от теоретической функции начинаются при более низких pH. Константа обмена этого стекла приблизительно в 100 раз больше, чем константа обмена для стекла № 1. Это означает, что ионы натрия борным

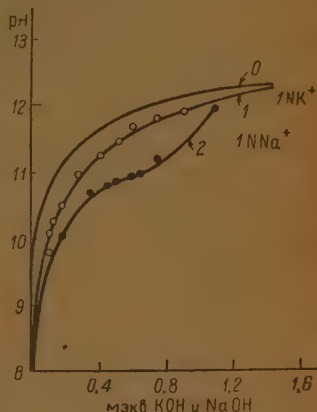


Рис. 2. Кривые титрования 1N KCl и 1N NaCl соответствующей щелочью, полученные через сутки

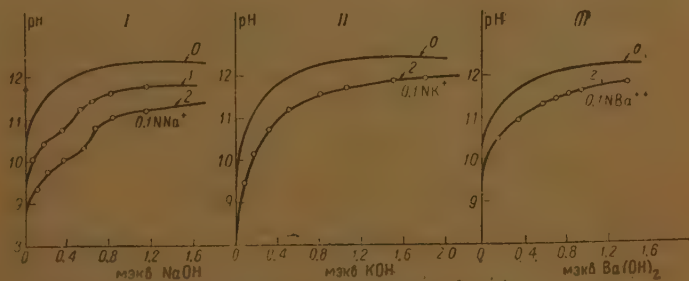


Рис. 3. Кривые титрования в присутствии стекла № 2: I — 0,1N NaCl едким натром; II — 0,1N KCl едким кали; III — 0,1N BaCl<sub>2</sub> едким баритом. Обозначения кривых 0, 1 и 2 — те же, что и на рис. 1

стеклом поглощаются значительно сильнее, чем стеклом № 1 (по сравнению с ионами водорода). Результаты опытов на стекле № 2 представлены на рис. 3. Обозначения кривых те же, что на рис. 1. В случае стекла № 2 также наблюдается качественное различие между кривой титрования стеклинной суспензией едким кали и едким натром. Перегиб на натриевой кривой для стекла № 2 наблюдается в соответствии с значениями константы обмена при более низких pH (9–11), чем для стекла № 1.

В качестве стекла, не обладающего водородной функцией, было исследо-



вано стекло «Дружная горка» № 23 (стекло № 3). Результаты титрования едким натром и баритом стекла № 3 при постоянной 0,1 *N* концентрации металлических ионов в растворе дали совершенно отличную от стекол № 1 и 2 картину. Кривые титрования стекла № 3 изображены на рис. 4. Из рис. 4 можно видеть, что кривые титрования стеклянной суспензии практически совпадают и для ионов натрия и для ионов бария с кривыми титрования растворов солей без стеклянного порошка, т. е. с точки зрения развитых выше представлений стекло № 3 не обнаруживает заметного ионного обмена и не обладает, как известно, водородной функцией.

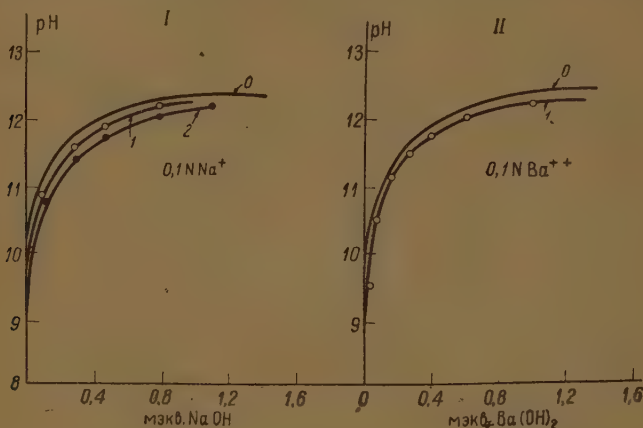


Рис. 4. Кривые титрования в присутствии стекла № 3. I — 0,1*N* NaCl едким натром; II — 0,1*N* BaCl<sub>2</sub> едким баритом. Обозначения кривых 0, 1 и 2 — те же, что на рис. 1

Таким образом, потенциометрические опыты позволяют сделать только качественные выводы об обмене ионов на стеклах, и хотя эти выводы не могут считаться вполне надежными, они хорошо согласуются с данными по электродным свойствам стекол. Поэтому результаты потенциометрических опытов представляют известный интерес для теории стеклянного электрода.

#### Исследование обмена ионов в стеклах аналитическим методом

Более надежные результаты по обмену ионов в стеклах были получены аналитическим методом. Этот метод дает возможность судить о поглощении на основании изменений концентраций в растворе и твердой фазе тех ионов, которые не входят в состав стекла и, следовательно, в этом случае растворимость стекла не оказывает влияния на поглощение. Для аналитических опытов были использованы два сорта стекла: обычное электродно (№ 1) и борное (№ 2).

Стеклянный порошок предварительно обрабатывался 0,2 *N* HCl и отмывался водой от избытка кислоты. Опыты проведены двумя методами

Метод динамический. Навески по 5 г стеклянного порошка помещались в закрытые воронки с пористыми стеклянными фильтрами и через воронку пропускался медленным током (1 мл в минуту) 0,1 *N* раствор соли (LiCl, KCl или BaCl<sub>2</sub>), к которому добавлялось определенное количество соответствующей кислоты или щелочи. pH раствора определялся водородным электродом. Через каждую навеску пропускался в течение 3—4 дней по 1,5 л раствора. После этого стеклянный порошок отмывался

ионов хлора минимальным количеством воды (50 мл). Затем поглощенные ионы медленно вытеснялись из стеклянного порошка 0,1 N раствором HCl (400—500 мл). Фильтр собирается, уваривается и в нем определяется количество вытесненного из стекла лития, калия или бария. Литий определялся в виде  $\text{Li}_2\text{SO}_4$  (отделение от натрия извлеклось аммонийным спиртом), калий в виде  $\text{KClO}_4$ , барий в виде  $\text{BaSO}_4$ .

Метод статически й. Основные опыты были проведены статическим методом, в котором количество поглощенного иона определялось по изменению концентрации раствора после взаимодействия со стеклом. К навескам стеклянного порошка 5—10 г приливалось 50 мл 0,1 N раствора  $\text{LiCl}$ ,  $\text{KCl}$  или  $\text{BaCl}_2$  с добавлением различных количеств соответствующей щелочи. По прошествии 5 суток раствор отделялся от стекла и в нем производилось определение pH и концентрации поглощенного иона. Поглощенное количество иона определялось по разности содержания ионов в исходном и равновесном растворах. Как правило, данные динамических и статических опытов падали в пределах точности до 10%.

Результаты статических опытов для стекла № 1 приведены в табл. 3 на рис. 5 (кривые а, б и в соответственно для лития, калия и бария), а поглощенное количество представлено как функция pH раствора. В кислой и слабощелочной области примерно до  $\text{pH} = 10$  поглощенное количество ионов лития ( $g_{\text{Li}^+}$ ) составляет 0,02—0,03 м-экв./г. При увеличении pH до 13  $g_{\text{Li}^+}$  возрастает более чем в 10 раз (0,3 м-экв./г.) Можно было ожидать, исходя из электродных свойств стекла, что при pH 13—14 поглощенное количество ионов лития должно достигать предельного значения, соответствующего адсорбционному насыщению, и кривая должна пойти параллельно оси абсцисс. Однако в наших опытах равновесие между раствором и всей толщей стеклянной фазы установиться не могло, хотя поверхностный слой стекла находился в равновесии с раствором. Поэтому процесс проникновения ионов в более глубокие слои стеклянной фазы не прекращался за время опыта, чем, быть может, можно объяснить отсутствие насыщения в этих опытах. Ионы калия поглощаются стеклянным порошком значительно хуже, чем ионы лития. Что касается ионов бария, то табл. 3 и рис. 5 показывают, что поглощенное количество ионов бария весьма невелико (около 0,04 м.-экв/г) и почти не изменяется при увеличении pH.

Аналогичные аналитические опыты по исследованию поглощения ионов лития и калия в зависимости от pH проведены для стекла № 2 (борного). Результаты даны в табл. 4 и на рис. 6. Для этого стекла также наблюдается полное определенная зависимость поглощенного количества от pH. В кислой среде стекло № 2 практически не поглощает ионов лития и калия в растворе, но в области pH 7—9 для ионов лития и от pH 10—11 для ионов калия это поглощение становится заметным и быстро увеличивается с возрастанием pH. Ионы калия при высоких pH поглощаются значительно хуже, чем ионы лития. Сравнение данных табл. 3 и 4 показывает, что борное стекло при равных значениях pH обладает по сравнению с электрод-

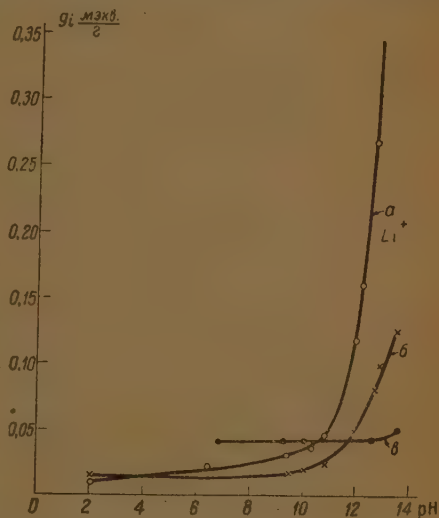


Рис. 5. Зависимость количества поглощенного иона ( $g_i$ ) стеклом № 1 от pH раствора. Кривая а — для иона лития; кривая б — для иона калия; кривая в — для иона бария

пым стеклом № 1 большей поглотительной способностью по отношению к металлическим понам\*.

Таким образом, как это и предполагается в теории стеклянного электрода, ионы лития практически не поглощаются при низких рН и заметно поглощаются при высоких рН. Для стекла № 1 заметное поглощение ионов лития начинается в области рН 9—10 и для стекла № 2 в области рН 7—8. Выше этих значений рН поглощение резко возрастает. Примерно в этих же областях значений рН начинаются заметные отступления потенциала стеклянного электрода от водородной функции. Это особенно наглядно

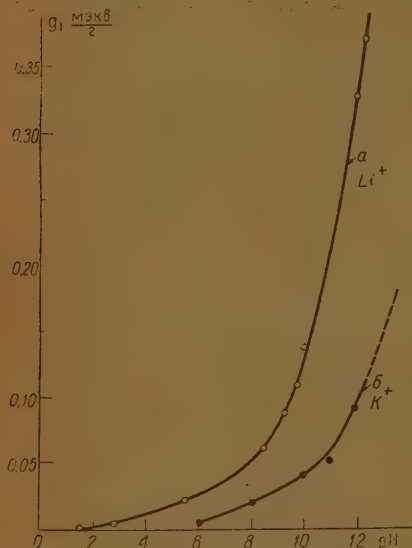


Рис. 6. Зависимость количества поглощенного иона ( $g_i$ ) стеклом № 2 от рН раствора. Кривая *a* — для иона лития; кривая *б* — для иона калия

можно видеть при сопоставлении обменных и электродных свойств стекол на одном и том же графике. На рис. 7 представлены кривые зависимости количества поглощенного иона лития и потенциала стеклянного электрода\*\* от рН раствора для стекол № 1 и № 2. На оси ординат для кривых *a* и *б* отложен потенциал стеклянного электрода  $E$ , а для кривых *б* и *г* количество поглощенного иона лития —  $g_{Li^+}$ . По оси абсцисс отложены значения рН равновесных растворов. Как видно из рис. 7, и для стекла № 1 и для стекла № 2 начало заметных отступлений потенциала стеклянного электрода от прямолинейной зависимости лежит в той же области рН, в которой количество поглощенного лития начинает быстро возрастать. Кривые зависимости количества поглощенного лития от рН имеют наиболее крутой подъем в области значений рН, близких к максимуму соответствующей кривой изменения потенциала. Этот

факт находится в полном согласии с ионно-обменной теорией, согласно которой максимумы на кривых потенциала (*a* и *б*) должны соответствовать наиболее быстрому возрастанию поглощения иона щелочного металла стеклом при возрастании рН [1].

Так как ионы калия и особенно бария дают меньшие отклонения потенциала стеклянного электрода от водородной функции, чем ионы лития, то по теории стеклянного электрода они должны давать и меньшее обменное поглощение. Как указано выше (рис. 5 и 6), наши опыты по поглощению ионов калия и бария полностью подтверждают это заключение.

\* Интересно отметить, что скорость обмена ионов в стекле № 2 больше, чем в стекле № 1. Это видно из результатов опытов по взаимодействию стеклянных порошков с соляной кислотой. В этих опытах было найдено, что количество 0,1 *N* соляной кислоты, прореагировавшей с 2 г стекла, составляет:

Через 1 час	Для стекла № 1 0,24 м.-экв.	Для стекла № 2 0,27 м.-экв.
« 6 »	0,27 »	0,46 »
« 24 »	0,36 »	0,69 »
« 48 »	0,46 »	0,83 »
« 168 »	0,51 »	1,20 »

\*\* Данные для зависимости потенциала стеклянного электрода от рН заимствованы из статьи Б. П. Никольского и Т. А. Толмачевой [2].

Таблица 3

Поглощение ионов лития, калия и бария из 0,1N растворов стеклом № 1 (электродное) в зависимости от pH (за 5 суток)

pH	Поглощен. колич. иона лития в м.-экв./г	pH	Поглощен. колич. иона калия в м.-экв./г	pH	Поглощен. колич. иона бария в м.-экв./г
1,19	0,000	1,71	0,013	6,80	0,0407
1,97	0,016	1,91	0,015	9,33	0,0420
6,31	0,021	9,50	0,019	10,05	0,0450
9,44	0,032	10,02	0,022	12,64	0,0444
10,41	0,039	10,87	0,025	12,67	0,0443
10,85	0,046	11,00	0,028	13,01	0,0502
11,01	0,057	12,13	0,047		
12,01	0,119	12,75	0,101		
12,77	0,270	12,47	0,130		

Таблица 4

Поглощение ионов лития и калия из 0,1N растворов стеклом № 2 (борное) в зависимости от pH (за 5 суток)

pH	Поглощен. колич. иона лития в м.-экв./г	pH	Поглощен. колич. иона калия в м.-экв./г
1,46	0,000	2,04	0,000
2,94	0,005	3,00	0,000
5,56	0,023	8,16	0,021
8,45	0,061	10,02	0,042
9,34	0,089	11,03	0,053
9,81	0,112	11,64	0,078
10,06	0,146	11,91	0,092
12,30	0,232	13,71	0,304
12,47	0,373		
13,06	0,492		
13,26	0,822		

Основываясь на данных табл. 3 и 4, можно оценить глубину проникновения ионов лития в стекло, если принять, что частицы стеклянного орощка имеют форму шара. Объем такой частицы равен  $\frac{4}{3} \pi r^3 = v$ , где  $r$  — радиус частицы. Объем слоя стекла в одной частице, в котором ионы натрия или водорода заместились ионами лития —  $v'$  равен поверхности частицы ( $s$ ), умноженной на глубину проникновения ионов лития в стекло ( $dr$ ), при условии, что глубина проникновения мала по сравнению величиной радиуса ( $r$ ):

$$v' = 4\pi r^2 dr.$$

Примем, что отношение объемов  $\frac{v}{v'}$  равно отношению общего количества ионов натрия, содержащихся в 1 г первоначального стекла ( $g$ ) к поглощенному количеству ионов лития ( $g_{Li^+}$ ), содержащихся в 1 г стекла после опыта:

$$\frac{g}{g_{Li^+}} = \frac{v}{v'} = \frac{\frac{4}{3} \pi r^3}{4\pi r^2 dr} = \frac{r}{3dr}; \quad dr = \frac{r g_{Li^+}}{3g}.$$

Средний радиус стеклянных частиц в наших опытах составлял 25  $\mu$  (измерено при помощи окулярного микрометра).



# Расчет глубины проникновения ионов лития в стекло

Стекло № 1. Так как стекло содержит 22 весовых процента  $\text{Na}_2\text{O}$ , то  $g = \frac{22 \cdot 1000}{31 \cdot 100} = 7,10$  м.-экв./г (где 31 — эквивалентный вес  $\text{Na}_2\text{O}$ ).

Поглощенное количество ионов лития, согласно рис. 5, составляет

$$\text{при } \text{pH} = 12,0 \quad g_{\text{Li}^+} = 0,12 \text{ м.-экв./г,}$$

$$\text{при } \text{pH} = 13,0 \quad g_{\text{Li}^+} = 0,34 \quad \gg$$

Глубина проникновения ионов лития

$$\text{при } \text{pH} = 12,0 \quad dr = \frac{0,12 \cdot 25}{3 \cdot 7,10} = 0,014 \mu,$$

$$\text{при } \text{pH} = 13,0 \quad dr = \frac{0,34 \cdot 25}{3 \cdot 7,10} = 0,04 \mu.$$

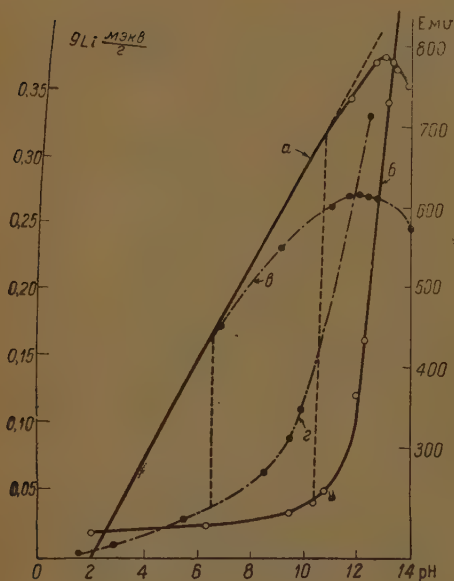


Рис. 7. Сопоставление обменных и электродных свойств стекол № 1 и № 2. Сплошные кривые а и б — стекло № 1; пунктирные кривые в и г — стекло № 2. Кривые а и в выражают зависимость потенциала стеклянного электрода  $E$  от  $\text{pH}$ ; кривые б и г — зависимость количества поглощенного иона лития ( $g_{\text{Li}^+}$ ) от  $\text{pH}$ .

Стекло № 2.  $g = \frac{21 \cdot 1000}{31 \cdot 100} = 6,77$  м.-экв./г.

Поглощенное количество ионов лития согласно рис. 6 составляет:

$$\text{при } \text{pH} = 12,0 \quad g_{\text{Li}^+} = 0,31 \text{ м.-экв./г,}$$

$$\text{при } \text{pH} = 13,0 \quad g_{\text{Li}^+} = 0,47 \quad \gg$$

Глубина проникновения ионов лития

$$\text{при } \text{pH} = 12,0 \quad dr = \frac{0,31 \cdot 25}{3 \cdot 6,77} = 0,04 \mu,$$

$$\text{при } \text{pH} = 13,0 \quad dr = \frac{0,47 \cdot 25}{3 \cdot 6,77} = 0,06 \mu.$$

мо собой разумеется, что приведенные расчеты глубины проникновения ионов лития в стекло не могут претендовать на большую точность. Они дают нижний предел. В действительности ионы лития, вероятно, проникают на большую глубину, так как часть мест в поверхностном слое стекла занята ионами натрия.

Из расчета видно, что стекла № 1 и № 2 обнаруживают характерную разницу в возрастании глубины проникновения иона лития при переходе  $pH = 12$  к  $pH = 13$ . В стекле № 1 глубина проникновения возрастает при этом в 3 раза, в то время как в стекле № 2 всего лишь в  $1\frac{1}{2}$  раза. С точки зрения ионно-обменной теории стеклянного электрода эта разница вполне закономерна. Согласно этой теории глубина проникновения ионов лития не зависит от  $pH$ . От  $pH$  зависит только отношение между количеством ионов лития и водорода в стекле. Это отношение определяется не только  $pH$ , но также величиной константы обмена стекла и концентрацией ионов лития в растворе в соответствии с уравнением (1). Расчет глубины проникновения имеет смысл только в случае почти полного вытеснения ионов водорода из стекла ионами лития, что имеет место при наиболее высоких значениях  $pH$ . Поэтому за глубину проникновения следует принять наибольшую полученную нами величину, которая для обоих стекол имеет порядок 0,05  $\mu$ . Если принять средний диаметр молекул в стекле равным 5–10  $\text{\AA}$ , то из найденной максимальной глубины проникновения ионов лития в стекле № 1 и № 2 следует, что за 5 суток толщина измененного слоя стекла, участвующего в обмене ионов с раствором, достигает 1–100 молекулярных диаметров. Конечно, толщина этого слоя изменяется со временем. Так как толщина стеклянной пленки электрода типа Мак-Иннеса составляет несколько микронов, то в сильнощелочных растворах в результате 5-дневного взаимодействия пленки с раствором обменивающихся ионы проникают не менее чем на 0,01 толщины пленки.

### Выводы

1. Изучено потенциометрическим методом взаимодействие стеклянных электродов (№ 1), борного стекла (№ 2) и стекла № 23 («ружничная горка») с щелочными растворами, содержащими ионы натрия, калия и бария.

2. Сравнение кривых потенциометрического титрования в присутствии стекла № 1 и № 2 для различных ионов дает возможность сделать качественное заключение о наличии обмена ионов из раствора на ионы стекла, при этом в щелочных растворах поглощение ионов натрия этими стеклами имеет характерное отличие от поглощения ионов калия и бария, что подтверждает представление об обменном механизме действия стеклянного электрода, лежащее в основе теории стеклянного электрода.

3. Исследовано аналитическим методом поглощение ионов лития, калия и бария в зависимости от  $pH$  раствора на стеклах № 1 и № 2. Полученные данные являются значительно более надежными, чем в случае потенциометрического метода.

4. Поглощенное количество катиона для обоих стекол зависит от его природы. Ионы лития поглощаются на натриевых стеклах в больших количествах, чем ионы калия; ионы бария на стекле № 1 обнаруживают весьма слабое поглощение, не изменяющееся при изменении  $pH$ .

5. Поглощение ионов лития резко возрастает в области значений  $pH$ , в которой электрод начинает заметно отклоняться от водородной функции.

6. Результаты этой работы подтверждают наличие обмена катионов между стеклом и раствором и находятся в полном соответствии с теорией стеклянного электрода, основанной на представлении о таком обмене.

## ЛИТЕРАТУРА

1. Б. П. Никольский, Журн. физ. химии, 10, 495, 1937.
  2. Б. П. Никольский и Т. А. Толмачова, Журн. физ. химии, 10, 504, 513, 1937.
  3. G. Haugaard, Nature, 140, 66, 1937; Journ. Phys. Chem., 45, 148, 1941; C. I. Trav. Lab. Carlsberg Ser. Chim., 22, 199, 1938.
  4. J. W. Hensley, A. O. Long, J. E. Willard. Ind. Eng. Chem. 41, 1415, 1949.
  5. M. Dole, Journ. Phys. Chem., 36, 1570, 1932. K. Horowitz, Zs. f. Physik. 15, 369, 1923; D. A. McInnes a. M. Dole, Journ. Amer. Chem. Soc., 52, 29, 1930.
  6. С. А. Соколов и А. Г. Пасынский, Журн. физ. химии, 3, 131, 1932.
  7. В. И. Парамонова и Е. А. Матерова, Почвоведение, № 6, 65, 1940. Е. А. Матерова, Уч. зап. ЛГУ, 7, 15, 1945.
-

# ТЕОРИЯ КОНЦЕНТРИРОВАННЫХ РАСТВОРОВ СИЛЬНЫХ ЭЛЕКТРОЛИТОВ

**И. А. Мицхулава**

Современная теория растворов сильных электролитов базируется на фундаментальном уравнении Дебая — Гюккеля, которое имеет следующий вид:

$$\Delta\psi_i = \frac{8\pi Z_i n e}{D} \operatorname{sh} \frac{Z_i e \psi_i}{kT}. \quad (1)$$

Для упрощения этого уравнения Дебай и Гюккель предположили, что энергия иона мала по сравнению с его тепловой энергией, т. е.

$$Z_i e \psi_i \ll kT. \quad (2)$$

На основе этого допущения уравнение (1) переходит в следующее:

$$\Delta\psi_i = \chi^2 \psi_i, \quad (3)$$

$$\chi^2 = \frac{8\pi Z_i^2 e^2 n}{DkT},$$

где  $\chi^2$  — коэффициент экранирования, зависящий от концентрации ионов.

$$\psi_i = \frac{Z_i e}{Dr} e^{-\chi r}.$$

Это приближенное решение основного уравнения (1) дает возможность теоретически истолковать все явления в области разбавленных растворов сильных электролитов до концентрации  $\gamma \sim 10^{-3}$  моль/л. При переходе к более высоким концентрациям предположение (2) незаконно, поэтому были сделаны попытки построить теорию концентрированных растворов путем точного решения основного уравнения (1). Такое решение уравнения (1) было найдено Гронвалем, Ла-Мером и Зандвером [1] при помощи преобразования дифференциального уравнения (1) в интегральное. Таким образом им удалось лишь несколько расширить применимость (при соответствующем подборе поперечников ионов) теории Дебая — Гюккеля.

Строгое исследование теории растворов, данное Фаулером [2] и Крамерсом [3], на основе законов статистической механики показали, что исходное уравнение Дебая — Гюккеля (1) является неточным, границы ее применимости определяются законом Крамерса:

$$\frac{Z_i Z_j e^2}{DkT} \chi \ll 1.$$

Это условие выполняется примерно до концентрации  $\gamma 10^{-3}$  моль/л. При таких концентрациях электролита, когда это условие не выполняется, исходное уравнение (1) является принципиально неверным, и точное решение этого уравнения не может быть использовано при изучении поведения растворов при больших концентрациях. Однако имеется случай, когда результаты теории Дебая — Гюккеля подгоняются к опыту до концентрации  $\sim 1$  моль/л. При таких концентрациях условие Крамерса совершенно не выполняется, поэтому совпадение результатов теории с опытом в этой области концентрации, где теория является принципиально неверной, объясняется лишь тем, что константы, применяемые в теории (например, поперечники ионов и т. д.), не обоснованы.

Построение теории концентрированных растворов весьма актуальная и сложная проблема, возможно, что при этом существенную роль будут играть силы некулоновского типа, природа которых пока нам неизвестна. В данной работе мы выясним наиболее слабое место теории Дебая — Гюккеля, исправление которой имеет немаловажное значение в теории концентрированных растворов.



Отправным пунктом данной работы является статистическое исследование теории растворов, данное Фаулером [2]. Фаулер исходит из статистического интеграла

$$B(T) = \int \cdots \int e^{-\frac{U}{kT}} \prod_{i=1}^{N_i} (dx_i dy_i dz_i)_r \prod_{j=1}^{N_j} (dx_j dy_j dz_j)_r \dots \quad (4)$$

После несложных преобразований этого интеграла, он находит для вероятности (среднее по времени) одновременного пребывания ионов  $i$  и  $j$  в заданных элементах объема  $\delta V_i$  и  $\delta V_j$  следующее выражение:

$$\bar{a}_{ij} = \frac{N_i N_j}{B(T)} \int_{\delta V_i} \int_{\delta V_j} d\omega_i d\omega_j \int \cdots \int e^{-\frac{U}{kT}} \Pi''_{\kappa} (d\omega_{\kappa})^{N_{\kappa}}, \quad (5)$$

где  $d\omega = dx dy dz$ , а  $\Pi''_{\kappa}$  означает, что пропущено интегрирование по элементам объема  $\delta V_i$  и  $\delta V_j$ . В общем случае интегрирование выражения (5) представляет собою огромную трудность. Однако, если мы допустим (что и допускает фактически Фаулер), что в каждый отдельный момент времени во взаимодействии находятся только два иона (бинарное взаимодействие), так же как это делается при выводе уравнения ван-дер-Ваальса, тогда ион сорта  $j$  будет находиться в поле иона  $i$ , т. е. потенциальная энергия  $u_{ij}$  будет зависеть от относительных координат ионов  $i$  и  $j$ . В этом случае уравнение (5) легко интегрируется и для  $\bar{a}_{ij}$  находим:

$$\bar{a}_{ij} = n_i n_j e^{-\frac{U_{ij}}{kT}} \delta V_i \delta V_j, \quad (6)$$

или

$$W_{ij} = n_i n_j e^{-\frac{Z_j e \Psi_i}{kT}} \quad (7)$$

$$(u_{ij} = Z_j e \Psi_i).$$

По функции распределения  $W_{ij}$  легко составить выражение плотности зарядов ионного облака вокруг рассматриваемого (центрального) иона

$$\rho = \frac{1}{n_i} \sum_j e_j W_{ij} = \sum_j n_j e_j e^{-\frac{Z_j e \Psi_i}{kT}}.$$

Если это выражение плотности подставим в уравнение Пуассона, получим:

$$\Delta \Psi_i = -\frac{4\pi}{D} \sum n_j e_j e^{-\frac{Z_j e \Psi_i}{kT}}.$$

Это есть основное уравнение теории Дебая — Гюккеля (1). Отсюда мы можем сделать весьма важное заключение:

В дебаевском приближении связь центрального иона со всеми остальными ионами осуществляется посредством бинарных (парных) взаимодействий ионов. Другими словами, дебаевское приближение соответствует такому упрощению физической картины, когда в каждый отдельный момент времени рассматривается взаимодействие двух ионов, и отбрасываются случаи, когда одновременно находятся во взаимодействии несколько ионов. При малых концентрациях электролита случаем, когда одновременно находятся во взаимодействии (одновременное отклонение нескольких ионов от их среднего положения) три, четыре и т. д. ионов, можно пренебречь. Однако при больших концентрациях электролита этими случаями, так же как при выводе уравнения состояния сжатого газа, пренебречь нельзя.

Вышеприведенное заключение непосредственно вытекает также из факта, что вывод формулы Больцмана, которая используется при представлении ионного облака в формуле (1), основан на предположении парных соударений частиц, поэтому для правильного составления отности ионного облака при больших концентрациях необходимо обобщать формулу Больцмана так, чтобы она учитывала, кроме парных, еще тройные, четырехкратные и т. д. взаимодействия частиц.

Общая теория, учитывающая многократное взаимодействие частиц, была разработана Н. Н. Боголюбовым [4] путем введения ряда функций распределения, характеризующих вероятностные распределения для комплексов  $s$  ( $s = 1, 2, 3$ ). Мы ниже увидим, что разработанный нами метод, в случае реального газа, приводит к тем же результатам, что и теория Боголюбова. Однако для системы кулоновским взаимодействием теории Н. Н. Боголюбова неправильно учитывает корреляцию.

### Учет многократных взаимодействий ионов

Предположим, что в  $1 \text{ см}^3$  раствора находится в среднем по времени  $n_1, n_2, \dots$  ионов с зарядами  $e_1, e_2$  и т. д. Выделим внутри раствора около точек  $P, Q, R, \dots$  элементы объема  $dV_P, dV_Q, dV_R, \dots$  и т. д. будем наблюдать пребывание ионов в этих элементах объема в течение достаточно большого промежутка времени  $\tau$ . Для ясности предположим, что над этими элементами объема производят наблюдение два наблюдателя. Первый наблюдатель над элементами объема  $dV_P$  и  $dV_Q$ , а второй — над элементами объема  $dV_P, dV_Q, dV_R, \dots$  и т. д. Обозначим через  $T_{ij}^{(Q)}$  (или  $T_{ij}$ ) сумму всех отрезков времени, в течение которого первый наблюдатель замечает в объеме  $dV_P$  ион сорта  $i$  и одновременно в объеме  $dV_Q$  ион сорта  $j$ . Для этого наблюдателя совершенно несущественно распределение других ионов в других элементах объема. Тогда отношение

$$\lim_{\tau \rightarrow \infty} \frac{T_{ij}}{\tau} = W_{ij}^*$$

будет выражать вероятность таких конфигураций ионов, при которых одновременно наблюдается ион сорта  $i$  в элементе объема  $dV_P$  и ион сорта  $j$  в элементе объема  $dV_Q$ . Второй наблюдатель дает более детальную картину распределения ионов, а именно: он из всех отсчетов первого наблюдателя выделяет те отсчеты времени, когда одновременно замечается ион сорта  $i$  в элементе объема  $dV_P$  и ион сорта  $j$  в объеме  $dV_Q$  при отсутствии ионов в элементе объема  $dV_R$ . Сумму всех подобных отсчетов времени за время  $\tau$  обозначаем через  $t_{ij}^{(Q)}$  (или  $t_{ij}$ ). Аналогично, из всех отсчетов первого наблюдателя он выделяет те отсчеты времени, когда одновременно замечается в объеме  $dV_P$  ион сорта  $i$ , в объеме  $dV_Q$  ион сорта  $j$  и в объеме  $dV_R$  ион сорта  $k$  (при отсутствии ионов в объеме  $dV_m$ ). Сумму всех подобных отсчетов времени за время  $\tau$  обозначим через  $t_{ijk}$ . Аналогично выделяются отрезки времени  $t_{ijkm}, \dots$  и т. д. Тогда естественно, что

$$T_{ij} = t_{ij} + t_{ikj} + t_{ijkm} + \dots \quad (8)$$

Предположим, что при одновременной конфигурации ионов  $i, j, k, \dots$  соответственно в элементах объема  $dV_P, dV_Q, dV_R$  взаимодействием ионов  $k, \dots$  с ионами  $ij$  пренебрегаем (другими словами, элемент объема  $dV_R, dV_m, \dots$  отодвигаем на большее расстояние от ионов  $i, j$ ). В этом случае все отсчеты времени первого наблюдателя будут выражать собой парное (бинарное) взаимодействие ионов. Обозначим через  $t_{ijk}^0, t_{ijkm}^0, \dots$  значение отрезков времени  $t_{ijk}, t_{ijkm}, \dots$  без учета взаимодействия ионов  $k, m, \dots$  с ионами  $ij$ , при их одновременной конфигурации в заданных элементах объема.

Тогда

$$T_{ij}^0 = t_{ij} + t_{ijk}^0 + t_{ijkm}^0 + \dots, \quad (9)$$

где

$$\lim_{\tau \rightarrow \infty} \frac{T_{ij}^0}{\tau} = W_{ij}$$

будет представлять собой дебаевскую функцию распределения, соответствующую парному (бинарному) взаимодействию ионов (формула 7). На соотношения (8) и (9) получаем

$$T_{ij} = T_{ij}^0 + (t_{ijk} - t_{ijk}^0) + (t_{ijkm} - t_{ijkm}^0) + \dots$$

Стоящие в скобках величины представляют изменение дебаевского отсчета времени ( $T_{ij}^0$ ), благодаря взаимодействию ионов  $k, m, \dots$  с ионами  $i$  и  $j$ , при их одновременной конфигурации в заданных элементах объема. Для того чтобы отсчет времени первого наблюдателя ( $T_{ij}$ ) расчленить на части, соответствующие чисто парному, трехкратному и т. д. взаимодействию ионов, необходимо разность  $t_{ijk} - t_{ijk}^0$  просуммировать по всем элементам объема  $dV_R$  (разность  $t_{ijk} - t_{ijk}^0$  фактически отлична от нуля вблизи ионов  $i$  и  $j$ ); аналогично разность  $t_{ijkm} - t_{ijkm}^0$  нужно просуммировать по всем элементам объема  $dV_R$  и  $dV_m$  и т. д. Таким образом

$$T_{ij} = T_{ij}^0 + \sum_{dV_R} \sum_{k=1}^s (t_{ijk} - t_{ijk}^0) + \sum_{dV_R dV_m} \sum_{k, m}^s (t_{ijkm} - t_{ijkm}^0) + \dots$$

$\sum_{k=1}^s (t_{ijk} - t_{ijk}^0)$  (аналогично и другие) означает суммирование разности  $t_{ijk} - t_{ijk}^0$  по всем сортам ионов  $k$  в объеме  $dV_R$ . В случае двух сортов ионов

$$\sum_k t_{i(P), j(Q), k(R)} = t_{i(P), j(Q), + (R)} + t_{i(P), j(Q), - (R)}$$

Если последнее равенство разделить на  $\tau$ , получим (10)

$$W_{ij}^* = W_{ij} + \int \sum_{k=1}^s (W_{ijk} - W_{ijk}^0) dV_R + \iint \sum_{k, m}^s (W_{ijkm} - W_{ijkm}^0) dV_R dV_m \dots$$

Определение величин  $W_{ijk}, W_{ijkm}, \dots$  и т. д.

Дифференциальное уравнение для  $W_{ijk}, W_{ijkm}, \dots$  легко составить путем обобщения метода Дебая — Фалькенгагена [5].

Вероятность того, что в заданных элементах объема  $dV_P, dV_Q$  и  $dV_R$  одновременно присутствуют ионы  $i, j$  и  $k$ , равна

$$\frac{t_{i,j,k}}{\tau} = n_{i(P)} \cdot n_{i(P), j(Q)} \cdot n_{i(P), j(Q), k(R)} dV_P dV_Q dV_R = W_{ijk} dV_P dV_Q dV_R,$$

$n_{ijk}$  (точнее,  $n_{i(P), j(Q), k(R)}$ ) плотность ионов  $k$  в окрестности ионов  $i$  и  $j$ .

Представим себе чрезвычайно большое число всевозможных комбинаций элементов объема  $dV_P, dV_Q$  и  $dV_R$  в различных состояниях, наблюдающихся за время  $\tau$ , число таких тройных комбинаций, наблюдаемых за время  $\tau$ , обозначим через  $N$ , а число таких тройных комбинаций, наблюдающихся за время  $t_{ijk}$ , в течение которого одновременно наблюдается  $i$ -ион в объеме  $dV_P$ ,  $j$ -ион в объеме  $dV_Q$  и  $k$ -ион в объеме  $dV_R$ , обозначим через  $N_{ijk}$ , тогда можем написать

$$\frac{N_{ijk}}{N} = \frac{t_{ijk}}{\tau} = W_{ijk} dV_P dV_Q dV_R. \quad (11)$$

Ввиду нестационарности процесса за время  $\Delta t$  число конфигураций  $ijk$  изменится на величину  $\Delta N_{ijk}$ , соответственно этому и функция распределения  $W_{ijk}$  изменится на величину  $\Delta W_{ijk}$ .

$\Delta N_{ijk}$  можно определить следующим образом: в то время, когда ионы  $i$  и  $j$  находятся соответственно в объемах  $dV_P$  и  $dV_Q$ , ион сорта  $k$  может войти в объем  $dV_R$ . Число таких случаев за время  $\tau$  обозначим через  $A_{ij0}^{ijk}$ . Аналогичный смысл имеют величины  $A_{0jk}^{ijk}$  и  $A_{i0k}^{ijk}$ .

Обозначим через  $Z_+ = A_{0jk}^{ijk} + A_{i0k}^{ijk} + A_{ij0}^{ijk}$ . Возможно также, что во время пребывания ионов  $i$  и  $j$  в объемах  $dV_P$  и  $dV_Q$  ион сорта  $k$  может алиться из объема  $dV_R$ . Число таких случаев за время  $\tau$  обозначим через  $A_{ijk}^{i0}$ . Аналогичный смысл имеют величины  $A_{ijk}^{0jk}$  и  $A_{ijk}^{i0k}$ . Обозначим

$$Z_- = A_{ijk}^{0jk} + A_{ijk}^{i0k} + A_{ijk}^{i0},$$

где

$$\frac{\Delta N_{ijk}}{N} = \frac{Z}{N\tau} \cdot \Delta t,$$

е

$$Z = Z_+ - Z_-,$$

и, принимая во внимание соотношение (11), получим

$$\frac{\partial}{\partial t} W_{ijk} \cdot dV_P dV_Q dV_R = \frac{Z}{N\tau}.$$

Дальнейший ход рассуждения в точности совпадает с тем, который дают Фалькенгаген и Дебай при выводе общих уравнений нестационарных процессов в разбавленных растворах [5], поэтому мы не будем повторять рассуждения Дебая — Фалькенгагена и приведем лишь окончательный результат

$$\begin{aligned} \frac{\partial}{\partial t} W_{ijk} = & \frac{1}{\rho_i} \operatorname{div}_P [e_i W_{jki} \operatorname{grad}_P \Psi_{jk}^P + kT \operatorname{grad}_P W_{jki} - e_i E W_{jki}] + \\ & + \frac{1}{\rho_j} \operatorname{div}_Q [e_j W_{ikj} \operatorname{grad}_Q \Psi_{ik}^Q + kT \operatorname{grad}_Q W_{ikj} - e_j E W_{ikj}] + \\ & + \frac{1}{\rho_k} \operatorname{div}_R [e_k W_{ijk} \operatorname{grad}_R \Psi_{ij}^R + kT \operatorname{grad}_R W_{ijk} - e_k E W_{ijk}]. \end{aligned} \quad (12)$$

Аналогично для  $W_{ijkm}$ ,  $W_{ijkmn}$ , ... и т. д. получается следующее уравнение

$$\begin{aligned} \frac{\partial}{\partial t} W_{ijkm} \dots = & \sum_x \frac{1}{\rho_x} \operatorname{div}_x [e_x W_{ijkm} \dots \operatorname{grad}_x \Psi_{ijk}^x \dots + \\ & + kT \operatorname{grad}_x W_{ijkm} \dots - e_x E W_{ijkm} \dots]. \end{aligned} \quad (13)$$

Решение уравнений (12) и (13) имеет существенное значение при рассмотрении проблемы электропроводности раствора. В данной работе мы ограничимся лишь рассмотрением равновесия электролита. В этом случае уравнение (13) имеет тривиальное решение вида:

$$W_{ijk} = n_k W_{ij} e^{-\frac{e_k \psi_{ij}^R}{kT}}, \quad (14)$$

$$W_{ijkm} = n_m W_{ijk} e^{-\frac{e_m \psi_{ijk}^m}{kT}}. \quad (15)$$



Полученные решения (14) и (15) п. т. д. являются непосредственным выражением принципа Максвелла — Больцмана. Теперь мы можем вычислить выражение (10):

1. Согласно (14) имеем

$$W_{ijk} - W_{ijk}^0 = n_k W_{ij} \left( e^{-\frac{e_k \psi_{ij}^R}{kT}} - 1 \right).$$

При наличии в точке  $R$  положительного иона ( $e_k = Z\epsilon$ )

$$W_{ijk} - W_{ijk}^0 = n W_{ij} \left( e^{-\frac{Ze\psi_{ij}^R}{kT}} - 1 \right).$$

При наличии в точке  $R$  отрицательного иона ( $e_k = -Z\epsilon$ )

$$W_{ijk} - W_{ijk}^0 = n W_{ij} \left( e^{\frac{Ze\psi_{ij}^R}{kT}} - 1 \right).$$

Следовательно, для симметрического электролита

$$\sum_{k=1,2} (W_{ijk} - W_{ijk}^0) = 2n W_{ij} \left( \operatorname{ch} \frac{Ze\psi_{ij}^R}{kT} - 1 \right).$$

Таким образом

$$\int_k \sum (W_{ijk} - W_{ijk}^0) dV_R = W_{ij} \varphi_{ij}, \quad (16)$$

где

$$\varphi_{ij} = 2n \int \left( \operatorname{ch} \frac{Ze\psi_{ij}^R}{kT} - 1 \right) dV_R. \quad (17)$$

2. Вычисление интеграла  $\iint_{(V)} \sum_{k,m} (W_{ijkm} - W_{ijkm}^0) dV_R dV_m$ .

Согласно (15) имеем

$$W_{ijkm} = n_m W_{ijk} e^{-\frac{m \psi_{ijk}^m}{kT}}, \quad W_{ijkm}^0 = n_m n_k W_{ij}.$$

Потенциал  $\Psi_{ijk}^m$  можно представить приближенно так:

$$\Psi_{ijk}^m \simeq \Psi_i^{*m} + \Psi_j^{*m},$$

где  $\Psi_i^{*m}$  и  $\Psi_j^{*m}$  — потенциал в точке  $m$ , создаваемый ионами  $i$  и  $j$  с учетом тройных корреляций. Существенную роль играет случай, когда  $i$  и  $j$  имеют разные знаки (поскольку, при определении свободной энергии раствора нам нужно знать значения потенциала при  $r = a$ , на таких расстояниях около центрального иона фактически всегда находится ион противоположного знака) в этом случае легко показать, что

$$\Psi_{ijk}^m \simeq \Psi_i^{*m} + \Psi_j^{*m} \simeq \Psi_i^m + \Psi_j^m = \Psi_{ij}^m.$$

Этим приближением мы воспользуемся при подсчете четырехкратных корреляций. Изменения функции распределения ионов при учете четырехкратных корреляций мы подсчитаем следующим образом: сначала мы подсчитаем влияние на функции распределения одного иона  $m$ . Для этого мы пишем разность значений функций  $W_{ijkm}$  при наличии и отсутствии иона  $m$  в точке  $m$ . Это равно

$$W_{ijkm} - W_{ijkm}^0 = n_m W_{ijk} \left( e^{-\frac{e_m \psi_{ij}^m}{kT}} - 1 \right).$$

и наличии в точке  $m$  положительного иона ( $e_m = Ze$ ) имеем

$$W_{ijkm} - W_{ijkm}^0 = n W_{ijk} \left( e^{-\frac{Ze\psi_{ij}^m}{kT}} - 1 \right),$$

при наличии в точке  $m$  отрицательного иона ( $e_m = -Ze$ )

$$W_{ijkm} - W_{ijkm}^0 = n W_{ijk} \left( e^{\frac{Ze\psi_{ij}^m}{kT}} - 1 \right).$$

Следовательно,

$$\sum_m (W_{ijkm} - W_{ijkm}^0) = 2n W_{ijk} \left( \text{ch} \frac{Ze\psi_{ij}^m}{kT} - 1 \right). \quad (18)$$

Теперь найдем изменения выражения (18) с учетом влияния иона  $k$ .

Для этого мы пишем разность значений (18) при наличии и отсутствии иона  $k$  в точке  $R$ . Она равна

$$2n \left( \text{ch} \frac{Ze\psi_{ij}^m}{kT} - 1 \right) n_k W_{ij} \left( e^{-\frac{e_k \psi_{ij}^R}{kT}} - 1 \right).$$

и наличии в точке  $R$  положительного иона ( $e_k = Ze$ ) имеем

$$2n^2 \left( \text{ch} \frac{Ze\psi_{ij}^m}{kT} - 1 \right) W_{ij} \left( e^{-\frac{Ze\psi_{ij}^R}{kT}} - 1 \right),$$

при наличии в точке  $R$  отрицательного иона  $e_k = -Ze$

$$2n^2 \left( \text{ch} \frac{Ze\psi_{ij}^m}{kT} - 1 \right) W_{ij} \left( e^{\frac{Ze\psi_{ij}^R}{kT}} - 1 \right).$$

Следовательно,

$$\begin{aligned} \sum_{k,m} (W_{ijkm} - W_{ijkm}^0) &\simeq 4n^2 W_{ij} \left( \text{ch} \frac{Ze\psi_{ij}^m}{kT} - 1 \right) \left( \text{ch} \frac{Ze\psi_{ij}^R}{kT} - 1 \right). \\ &\iint_{(V)} \sum_{k,m} (W_{ijkm} - W_{ijkm}^0) dV_R dV_m \simeq \\ &\simeq 4n^2 W_{ij} \int \left( \text{ch} \frac{Ze\psi_{ij}^R}{kT} - 1 \right) dV_R \int \left( \text{ch} \frac{Ze\psi_{ij}^m}{kT} - 1 \right) dV_m = W_{ij} \varphi_{ij}^2. \end{aligned} \quad (19)$$

На основании тех же допущений, что были сделаны при выводе трехкратных корреляций, для пяти — шести и т. д. кратных взаимодействий ионов получаем приближенно:

$$W_{ij}^* \varphi_{ij}^3, \quad W_{ij}^* \varphi_{ij}^4, \dots \text{ и т. д.}$$

Следовательно, функция распределения ионов с учетом многократных взаимодействий приближенно определяется следующим соотношением:

$$W_{ij}^* \simeq W_{ij} (1 + \varphi_{ij} + \varphi_{ij}^2 + \dots) \simeq \frac{W_{ij}}{1 - \varphi_{ij}}. \quad (20)$$

Остановимся вкратце на приложении формулы (10) к реальному газу ( $s=1$ ), в этом случае имеем

$$W_{ij}^* = W_{ij} + \int (W_{ijk} - W_{ijk}^0) dV_R + \dots$$

Так как интеграл существует на очень малых расстояниях от молекулы газа, поэтому получаем приближенно:

$$W_2^* = W_2 \left[ 1 + \frac{1}{v} \int_{(v)} f_{1R}(r_{1R}) f_{2R}(r_{2R}) dV_R + \frac{1}{v^2} \iint \dots \right],$$

где

$$1 + f_{iR} = e^{-\frac{\Phi_2(r_{iR})}{kT}}.$$

Это выражение совпадает с формулой Н. Н. Боголюбова, из которой легко получается уравнение Майера—Урселия (уравнение состояния реального газа). Однако формула (10), применительно к растворам дает принципиально отличный результат, чем теория Н. Н. Боголюбова. Основное отличие разработанной нами теории от теории Н. Н. Боголюбова заключается в том, что во всех уравнениях теории Н. Н. Боголюбова фигурирует не экранированный потенциал иона, поэтому в этой теории корреляция учтена неправильно.

В нашей теории при выводе формулы (10) автоматически появляется экранированный потенциал Дебая как нулевое приближение, что вполне естественно. В случае реального газа вопрос экранирования отпадает поэтому оба эти метода дают совпадающие результаты.

### Выводы

Основное уравнение Дебая—Гюккеля, на котором базируется современная теория растворов сильных электролитов, является лишь первым приближением, поскольку эта теория исходит из бинарных взаимодействий ионов в растворе. Поэтому для получения более высокого приближения необходимо учесть трех-, четырех- и т. д. кратное взаимодействие ионов.

В данной работе разработан общий метод для учета многократных взаимодействий ионов, при этом не делается какого-либо предположения относительно природы сил, действующих между ионами. Поэтому найденная нами формула для функции распределения ионов может быть использована также в том случае, когда будет установлен вид близкодействующих сил.

Следует заметить, что учет многократных взаимодействий ионов является необходимым (но недостаточным) шагом для построения последовательной теории концентрированных растворов сильных электролитов.

Академия Наук Груз. ССР  
Институт физики  
Тбилиси

Поступила  
5.VII.1950

### ЛИТЕРАТУРА

1. Т. Н. Grøntwall, V. K. La Mer u. K. Sandved, Phys. Zs., 29, 35, 1928.
2. R. H. Fowler, Proc. Camb. Phil. Soc., 22, 864, 1925.
3. H. A. Kramers, Proc. Amsterdam, 30, 145, 1927.
4. Н. Н. Боголюбов, Проблемы динамической теории в статистической физике ОГИЗ, Гостехиздат, 1946.
5. Г. Фалькенгаген, Электролиты. ОНТИ, Химтеорет., Л., 1935.

## СВЯЗЬ МЕЖДУ ПЕРЕНАПРЯЖЕНИЕМ ВОДОРОДА НА СВИНЦОВОМ, КАДМИЕВОМ И ТАЛЛИЕВОМ ЭЛЕКТРОДАХ ЗНАКОМ ЗАРЯДА ПОВЕРХНОСТИ ПОСЛЕДНИХ В КИСЛЫХ РАСТВОРАХ

*Я. М. Колотыркин и Л. А. Медведева*

На протяжении последних 15 лет выяснение природы водородного перенапряжения являлось одной из центральных проблем теоретической электрохимии. При решении этой задачи большое внимание уделялось установлению закономерной зависимости между перенапряжением и природой материала электрода. Уже в первых работах, посвященных перенапряжению [1], была замечена связь этого явления с природой металла. Большое число работ, выполненных с тех пор в этой области, не привело к выяснению природы этой связи. Противоречивость экспериментальных данных, полученная в работах различных авторов, является одной из главных причин неудач в решении этой проблемы.

Представляется естественным связать перенапряжение водорода на каком-либо металле с другими его характеристиками, обнаруживаемыми в растворе электролита. Одной из таких характеристик является точка нулевого заряда поверхности электрода.

Из работ, посвященных исследованию двойного электрического слоя, известно, что изменение знака заряда поверхности, как правило, сопровождается изменением адсорбционных свойств электрода. Последнее неизбежно должно приводить к изменению структуры двойного электрического слоя на границе раздела металл — раствор.

Согласно теории замедленного разряда [2] скорость электродной реакции существенно зависит от строения двойного слоя.

Если следовать этой теории, можно ожидать, что изменение знака заряда поверхности и сопровождающее его изменение адсорбционных свойств электрода скажется на кинетике выделения водорода, что можно обнаружить измерением перенапряжения как в области потенциалов, соответствующих положительному заряду поверхности, так и в области потенциалов, соответствующих отрицательному заряду.

В отдельных работах [3] по перенапряжению высказывались предположения о возможности изменения состояния поверхности и кинетики электродной реакции при потенциалах, соответствующих или близких к нулевому заряду поверхности электрода. Несмотря на это, в большинстве экспериментальных работ это обстоятельство игнорировалось. Последнее может быть связано с тем, что потенциалы, соответствующие нулевым зарядам поверхности, для подавляющего числа металлов, с которыми проводились измерения по перенапряжению, до последнего времени не были известны.

Изменение кинетики электрохимического выделения водорода в результате адсорбции поверхностно-активных веществ неоднократно рассматривалось в электрохимической литературе [4]. З. А. Иофа и А. Н. Фрумкин [5—7] при объяснении аномального хода кривых перенапряжения на платиновом и свинцовом электродах в концентрированных растворах кислот в присутствии поверхностно-активных анионов подробно рассмотрели возможность изменения структуры двойного электрического слоя и ве-



личины  $\psi_1$  потенциала в результате адсорбции анионов. З. А. Иофа [5] сделал попытку установить связь между величиной снижения перенапряжения и концентрацией анионов в поверхностном слое. Последняя величина рассчитывалась из электрокапиллярных кривых, снятых в тех же растворах, что и соответствующие кривые перенапряжения. На основании проведенных расчетов З. А. Иофа пришел к выводу, что снижение перенапряжения наблюдается при тех же потенциалах, для которых расчет дает наличие анионов в поверхностном слое.

Однако в результате дальнейших опытов, в особенности с растворами  $H_2SO_4$  и  $HClO_4$ , авторы [6] вынуждены были отказаться от этого вывода и признать, что «наличие анионов само по себе еще не приводит к возникновению отрицательного  $\psi_1$ -потенциала в поверхностном слое, если оно не сопровождается определенной ориентировкой ионных пар из иона водорода и аниона».

Полагая, что количественной мерой влияния адсорбции на перенапряжение является величина  $\psi_1$ -потенциала, З. А. Иофа и А. Н. Фрумкин вывели уравнение, связывающее величину последнего со сдвигом электрокапиллярного максимума и активностью кислоты:

$$\psi_1 = (\varphi_{\text{макс}})_z + \frac{RT}{F} \ln a_{\pm} + \varphi_0, \quad (1)$$

где  $(\varphi_{\text{макс}})_z$  — потенциал максимума электрокапиллярной кривой, измеренный против обратимого водородного электрода в том же растворе;  $\varphi_0$  — потенциал максимума электрокапиллярной кривой в отсутствие поверхностно-активных анионов, отнесенный к нормальному водородному электроду.

Логарифмическую зависимость между  $\psi_1$  и  $a_{\pm}$  авторы рассматривали как подтверждение высказанного ими предположения о том, что скачок потенциала в максимуме электрокапиллярной кривой вызван ориентированными диполями кислоты, между которыми существуют значительные силы отталкивания. Следует отметить, что сделанное в цитированной работе сравнение величин  $\psi_1$ -потенциалов, полученных из электрокапиллярных данных с соответствующими величинами, полученными из кривых перенапряжения, не дало удовлетворительных результатов. Данные, полученные из кривых перенапряжения, всегда имели более низкое значение по сравнению с данными электрокапиллярных измерений.

На основании электрокапиллярных данных исследованные анионы по их адсорбционной способности были расположены авторами в следующий ряд  $J' > Br' > Cl' > SO_4''$ . Из всех исследованных анионов наименьшей адсорбируемостью обладал анион серной кислоты. Такой же порядок сохранялся и в действиях этих анионов на перенапряжение: наибольшее снижение последнего наблюдалось в присутствии  $J'$  и наименьшее — в присутствии  $SO_4''$ .

В работе Я. М. Колотыркина и Н. Я. Бунэ [8] был показан аномальный ход кривой перенапряжения на свинцовом электроде в растворе серной кислоты; в области перенапряжений 0,7—0,9 В обнаружен резкий перепад в ходе  $\eta - \lg i$  кривой. По обе стороны от этого перепада кривая подчиняется уравнению Тафеля с наклоном, близким к 0,12. Показано также, что часть кривой, соответствующая малым поляризациям, лежит ниже части соответствующей высоким поляризациям приблизительно на 0,160 В.

Позднее измерением емкости двойного электрического слоя свинцового электрода была определена нулевая точка свинца [9]. Последняя оказалась лежащей при 0,69 В против нормального водородного электрода, т. е. при 0,46 В отрицательнее нулевой точки ртути.

Сопоставление результатов измерений Т. И. Борисовой с данными

М. Колотыркина и И. Буиз показывает, что в пределах ошибок опыта\* левая точка свинца лежит в области перепада кривой перенапряжения, и этом отрицательно заряженной поверхности соответствует повышенное значение перенапряжения по сравнению с поверхностью, заряженной положительно. В свете изложенного выше эти результаты представляют большой интерес для теории перенапряжения. Однако, прежде чем подграть их подробному обсуждению, необходима была экспериментальная проверка полученных данных на других металлах и растворах. Последнее ялось целью настоящей работы. При выборе объектов исследования мы ли ограничены металлами, для которых к началу данной работы были мерены точки нулевого заряда. Из этих металлов можно было использовать те, нулевые точки которых лежат в области потенциалов, замеряемых при снятии кривой перенапряжения. Такими характеристиками обладают таллий и кадмий, точки нулевых зарядов которых были измерены давно Т. И. Борисовой и Б. В. Эршлером [10].

### Экспериментальная часть

В литературе неоднократно обращалось внимание на экспериментальные трудности измерения перенапряжения водорода.

Основная трудность связана с чувствительностью исследуемой электродной реакции даже к незначительным посторонним примесям, могущим подать в систему. Не всегда учитывалась возможность изменения состояния поверхности электродного материала или пограничного слоя раствора изменению величины поляризации электрода. Эти недостатки, в частности, имеют место в появившейся в последние годы серии работ Хиклина и Сальта [11] и Бокриса с соавторами [12]. Несовершенство экспериментального материала привело указанных авторов к неправильным выводам при интерпретации явления перенапряжения. Работа Хиклина и Сальта, в части примененного ими метода измерения потенциала электрода, уже была подвергнута критике А. Н. Фрумкинм [13].

Серьезное возражение вызывает также принятая указанными авторами, вслед за ними и Бокрисом, процедура измерения. Предусмотренное этой процедурой выключение поляризующего тока после замера каждой точки кривой совершенно недопустимо для группы металлов, стоящих в ряду отрицательнее водорода. Оставление этих металлов без внешней катодной поляризации неизбежно должно было приводить к их саморазложению. Образовавшиеся ионы металла при последующей поляризации беспрятственно могли осаждаться на электроде, увеличивая поверхность последнего. При таких условиях истинная поверхность не могла оставаться постоянной в процессе опыта.

Если пренебречь этим эффектом и рассчитывать плотность тока на видимую поверхность, экспериментальная кривая перенапряжения будет иметь пониженный наклон или даже может изменить его знак, что легко можно принять за достижение предельного или максимального перенапряжения. Косвенным доказательством того, что в цитированных работах английских авторов поверхность электродов была больше видимой, являются пониженные значения перенапряжения, полученные ими для металлов, способных растворяться в условиях их опытов. Например, в случае свинца данные Бокриса на 0,200 V лежат ниже данных, полученных нами. Если этот эффект полностью отнести за счет разности в величине поверхности, простой расчет показывает, что поверхность свинцового электрода, с которым работал Бокрис, была приблизительно в 50 раз больше поверхности электродов, с которыми проводились наши опыты.

Не отвергая принципиальной возможности уменьшения наклона кри-

\* По данным Т. И. Борисовой использованная ею методика давала возможность определить нулевую точку с точностью  $\pm 0,05$  V.

вой перенапряжения при высоких поляризациях за счет изменения характера электродной реакции, мы считаем, что данные Хиклинга и Сальта и Бокриса с сотрудниками могут быть объяснены более простым и естественным образом. Нельзя не отметить, что условия проведения опытов во всех цитированных работах Хиклинга и Сальта и в первых работах Бокриса с сотрудниками не исключали возможности попадания в электролит органических загрязнений. Это, естественно, также не могло не сказаться на результатах их измерений.

При выборе метода измерений потенциала мы вынуждены были считаться с медленностью установления адсорбционного равновесия на электроде. По этим соображениям быстрый метод измерений, использованный в работах многих авторов, не мог быть принят нами; этот метод рассчитан скорее на то, чтобы исключить влияние адсорбционных изменений на кинетику электродной реакции.

Принятый нами метод частично был описан в работе одного из нас [14]. Приготовление электролита и электродов ничем принципиально не отличалось от методов примененных в цитированной работе. Особое внимание уделялось очистке водорода от следов кислорода; с этой целью водород, которым насыщался электролит, проходил через печь, наполненную восстановленными медными стружками и через две дополнительные печи с платинированным силикагелем; печи нагревались до 400° С. Электролит перед введением его в основную ячейку в течение продолжительного времени (около 6 час.) насыщался водородом и подвергался предварительной катодной (15—18 час. поляризации при плотности тока  $1 \cdot 10^{-4}$  А/см<sup>2</sup>).

Перед снятием кривой перенапряжения электрод в течение 2—3 часов поляризовался при плотности тока  $10^{-3}$  А/см<sup>2</sup>. Далее, при каждой плотности тока, при которой производились измерения, электрод поляризовался до установления постоянного потенциала. Таким образом, снятые нами кривые перенапряжения являлись стационарными. Принятая система измерений давала возможность по изменению кинетики процесса замечать происходящие в процессе измерения изменения на границе раздела металл — раствор.

### Полученные результаты

Кроме измерений на кадмии и таллии, нами были повторены измерения на свинце. Полученные результаты в виде  $\eta$  —  $\lg i$  кривых приведены на рис. 1, 2 и 3. Пунктиром указаны потенциалы, соответствующие нулевым

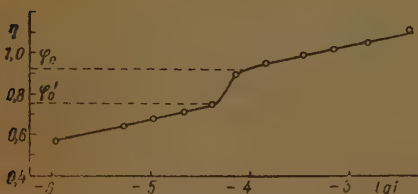


Рис. 1. Перенапряжение водорода на кадмии в 1,3N H<sub>2</sub>SO<sub>4</sub>.  $\phi_0$  — потенциал нулевого заряда по измерению емкости двойного слоя;  $\phi'_0$  — потенциал нулевого заряда по электрокапиллярным данным в расплавах

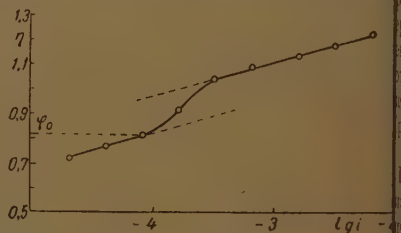


Рис. 2. Перенапряжение водорода на таллии в 1,7N H<sub>2</sub>SO<sub>4</sub>.  $\phi_0$  — потенциал нулевого заряда по измерению емкости двойного слоя

зарядам поверхности металлов. Значение нулевых потенциалов взято из цитированных работ Т. И. Борисовой с соавторами [9,10].

Как видно из приведенных данных, на кадмии и таллии, так же как и на свинце, в некоторой области потенциалов, специфической для каждого металла, кривые перенапряжения испытывают резкий перепад. Для всех трех исследованных металлов точки нулевых зарядов поверхности соответствуют перепадам кривых перенапряжения. Это означает, что изменение заряда поверхности электрода сопровождается резким изменением пере-



пере напряжения водорода: разряд ионов водорода идет легче на положительно заряженной поверхности по сравнению с поверхностью, заряженной отрицательно. Скорость перехода в процессе измерения от верхней ветви кривой перенапряжения к нижней зависит от природы металла: наиболее медленно этот переход совершается в случае свинца и наиболее быстро в случае таллия. Однако для всех трех исследованных металлов переход происходит настолько медленно, что соответствующее ему изменение на кривых металл — раствор не может быть отнесено за счет ионной обкладки двойного электрического слоя.

На кадмии и таллии, так же как и на свинце, при сравнительно больших поляризациях измерения верхний прямолинейный участок кривой перенапряжения может быть прослежен до плотностей тока, значительно меньших, нижний до плотностей тока, значительно больших тех, при которых совершается перепад стационарной кривой.

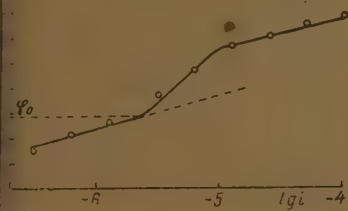


рис. 3. Перенапряжение водорода на свинце в 1 N  $\text{H}_2\text{SO}_4$ .  $\phi_0$  — потенциал нулевого заряда по измерению емкости двойного слоя.

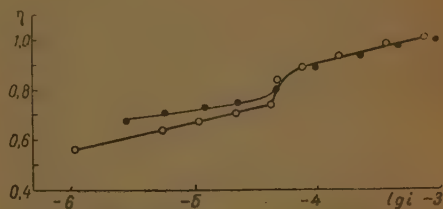


рис. 4. Зависимость перенапряжения от состава раствора на кадмий.  
○ — 1,3N  $\text{H}_2\text{SO}_4$ ;  
● — 1,15N  $\text{HCl}$

В предыдущей работе [8] было сделано предположение об адсорбции кислорода как причине резкого изменения хода кривой перенапряжения на свинцовом электроде. Такое предположение было основано на данных других исследователей [4, 5] о малой капиллярной активности аниона серной кислоты, в растворах которой были проведены предыдущие измерения. Для выяснения природы адсорбирующегося агента в настоящей работе было исследовано влияние природы аниона на ход кривой перенапряжения и характер перепада последней в области нуля заряда поверхности. Кроме серной, опыты были проведены также в соляной кислоте.

На рис. 4 сопоставлены кривые перенапряжения в растворах  $\text{H}_2\text{SO}_4$  и  $\text{HCl}$ . Для обеих кислот части кривых, соответствующие высоким поляризациям, почти совпадают между собою; наблюдающееся небольшое различие можно объяснить повышенным коэффициентом активности растворов  $\text{Cl}$  по сравнению с растворами  $\text{H}_2\text{SO}_4$ ; спад кривых в обоих растворах начинается при одинаковом потенциале. Изменение природы кислоты заттно сказывается на ходе нижнего прямолинейного участка кривой, соответствующего положительному заряду поверхности: в соляной кислоте верхняя часть кривой идет несколько выше, чем в серной; введение  $\text{J}'$  и  $\text{Br}'$ , даже в небольших концентрациях, приводит к еще большему повышению верхней части кривой; при этом наибольшее повышение наблюдается в присутствии  $\text{J}'$ .

Проведенные нами опыты в одной и той же кислоте различной концентрации (рис. 5) показали, что изменение концентрации неодинаково сказывается на различных участках кривой перенапряжения: при высоких поляризующих токах перенапряжение зависит от концентрации только в области концентрированных растворов (1 N и выше), оставаясь неизменным в области низких концентраций. При низких поляризациях имеет место обратная зависимость: перенапряжение зависит от концентрации



только в разбавленных растворах (1 N и ниже), оставаясь неизменным в растворах концентрированных.

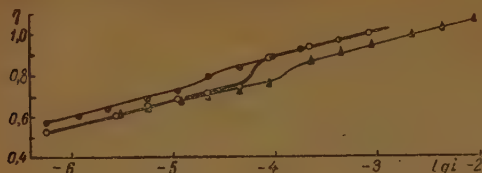


Рис. 5. Перенапряжение водорода на кадмии в серной кислоте различной концентрации

● — 0,1 N;  
○ — 1,7 N; ▲ — 10 N

### Обсуждение полученных результатов

Наиболее вероятным объяснением приведенных экспериментальных данных является допущение наличия адсорбционных изменений на границе металл — раствор, происходящих в области потенциала, соответствующего точке нулевого заряда поверхности металла. Скорость этой адсорбции зависит от природы металла, что подтверждается более медленной кинетикой перехода с одной ветви кривой перенапряжения на другую на свинцовом электроде по сравнению с таковой на таллии и кадмии. Область потенциалов, соответствующая перепаду кривой перенапряжения, вероятно, отвечает переменному содержанию адсорбирующегося вещества на поверхности электрода.

Имеющийся в настоящее время экспериментальный материал не дает еще возможности однозначно решить вопрос относительно природы адсорбирующегося агента и характера связи между поверхностью металла и адсорбированной частицей.

Однако, если исходить из предположения, что медленной стадией всего процесса является элементарный электрохимический акт соединения гидратированного протона с электроном, тогда, повидимому, наблюдаемые нами эффекты по-разному могут быть истолкованы в зависимости от характера адсорбции и, следовательно, характера изменения электрического поля вблизи поверхности раздела металл/раствор, вызываемого адсорбцией.

Несомненно, что любая адсорбция заряженных частиц или диполей будет приводить к изменению в распределении потенциала электрода между компактной и диффузной частями двойного электрического слоя. Однако характер этого перераспределения будет зависеть от знака зарядов адсорбирующихся частиц и направленности диполей, образующихся между последними и металлом.

Специфическая адсорбция анионов должна приводить к такому изменению в строении двойного слоя, при котором будет иметь место возрастание отрицательного значения потенциала в диффузной части двойного слоя при одновременном соответствующем уменьшении потенциала компактной части. В результате такой адсорбции вблизи поверхности металла возникает дополнительный отрицательный  $\psi_1$ -потенциал.

Согласно теории замедленного разряда, зависимость между потенциалом электрода и скоростью процесса дается следующим выражением

$$i = K [H]_s e^{-\frac{\alpha(\varphi - \psi_1) F}{RT}},$$

где  $k$  и  $\alpha$  — постоянные,  $RT$  и  $F$  имеют обычное значение,  $\varphi$  — общий скачок потенциала между металлом и раствором,  $\psi_1$  — скачок потенциала в диффузной части двойного слоя,  $[H]_s$  — концентрация ионов в компактной части двойного слоя. Последняя величина связана со скачком

потенциала в диффузионной части двойного слоя следующим выражением

$$[H']_s = [H'] e^{-\psi_1 F / RT},$$

•  $[H']$  — объемная концентрация.

Следовательно  $\psi_1$ , с одной стороны, входит в выражение энергии активации процесса и, — с другой, определяет поверхностную концентрацию реагирующих ионов.

Рассмотренное выше изменение двойного электрического слоя, вносимое адсорбцией аниона, должно приводить к увеличению энергии активации процесса разряда ионов водорода с одновременным увеличением концентрации последних в компактной части.

При этих условиях наблюдаемое нами снижение перенапряжения при переходе от отрицательной к положительно заряженной поверхности можно объяснить, допустив, что решающее значение на скорость разряда имеет увеличение поверхностной концентрации реагирующих ионов. Такой вывод несколько не согласуется с тем фактом, что наибольшие эффекты наблюдаются в сравнительно концентрированных растворах, чьи диффузионные слои двойного слоя должны быть незначительными.

Иное распределение потенциала в двойном слое будет иметь место, если образующаяся дипольная связь между металлом и адсорбирующейся частицей направлена своим положительным концом в раствор.

Нетрудно показать, что в этом случае должно иметь место уменьшение отрицательного значения величины  $\psi_1$ -потенциала при одновременном соответствующем увеличении отрицательного значения потенциала в компактной части двойного слоя. При таком характере адсорбции приведенные нами экспериментальные данные можно объяснить на основании теории замедленного разряда, предположив, что решающее значение на скорость электродного процесса имеет значение потенциала в компактной части и, следовательно, уменьшение энергии активации процесса.

Последнее объяснение находится в соответствии с приведенной нами концентрационной зависимостью наблюдаемого эффекта изменения скорости разряда ионов водорода вблизи точки нулевого заряда поверхности электрода.

Однако необходимо иметь в виду, что обычная теория замедленного разряда, в том виде как она была развита А. Н. Фрумкинским и его учениками, не дает возможности до конца объяснить настоящие результаты. Адсорбция на электроде посторонних частиц, не принимающих непосредственного участия в электродной реакции, должна приводить к расширению двойного слоя и удалению реагирующих ионов от поверхности, на которой они должны разряжаться.

При этих условиях более удовлетворительные объяснения можно получить, предположив, что нейтрализация пары электрон—протон, осуществляется путем перехода электрона через потенциальный барьер.

Нетрудно видеть, что изменение электрического поля вблизи поверхности металла, вызываемое образованием диполя металл — адсорбирующаяся частица, направленного своим положительным концом в раствор, должно благоприятствовать выходу электрона из металла.

Приведенный в настоящей статье экспериментальный материал не дает еще возможности однозначно ответить на поставленные вопросы. Для их решения необходимо рассмотреть изменение емкости двойного электрического слоя и точки нулевого заряда поверхности, сопутствующие переходу от одной ветви кривой перенапряжения к другой. Эти вопросы и зависимость перенапряжения на положительно заряженной поверхности от состава раствора предполагается рассмотреть в следующей статье.

Большой и самостоятельный интерес представляют верхние прямоли-

нейные участки кривых перенапряжения, соответствующие отрицательному заряду поверхности электрода: в этой области поляризации на течение электродной реакции не сказывается адсорбция анионов — разряд ионов водорода происходит на чистой поверхности металла.

Как видно из данных, приведенных на рис. 1, 2, 3, таллий и кадмий по величине перенапряжения водорода занимают промежуточное положение между свинцом и ртутью.

Из всех исследованных до сих пор металлов свинец, таллий и кадмий имеют наиболее высокое перенапряжение водорода. Для таллия эта часть кривой в  $1,7 N H_2SO_4$  имеет коэффициент наклона, равный приблизительно 0,14, и описывается следующим уравнением:

$$\eta = 1,550 + 0,14 \lg i.$$

В случае кадмия в том же растворе величина наклона имеет значение, равное 0,12, а соответствующее уравнение имеет вид:

$$\eta = 1,450 + 0,12 \lg i.$$

Зависимость этой части кривой от концентрации кислоты находится в полном согласии с теорией замедленного разряда. Согласно этой теории зависимость перенапряжения от концентрации кислоты при постоянной плотности тока дается уравнением:

$$\eta = \psi_1 - \frac{RT}{F} \lg [H^+] + \text{const.}$$

А. Н. Фрумкин [15], что для отрицательно заряженной поверхности в отсутствие специфической адсорбции анионов в разбавленных растворах кислот  $\psi_1$ -потенциал меняется с концентрацией водородных ионов, так же как потенциал обратимого водородного электрода  $\psi_1 \approx \frac{RT}{F} \ln [H^+]$ .

В согласии с этим выводом находится полученная нами независимость перенапряжения от концентрации кислоты в разбавленных растворах на кадмиевом электроде.

В согласии с выводами и результатами З. А. Иофа и А. Н. Фрумкина находится также полученная нами зависимость перенапряжения при высоких плотностях тока от концентрации в концентрированных растворах кислот. Однако, в отличие от результатов указанных авторов, наклон кривой даже в растворах HCl оставался неизменным с увеличением концентрации кислоты. Последнее расхождение, вероятно, связано с различием в методах измерений потенциала. При быстром методе, которым пользовался З. А. Иофа, адсорбционное равновесие не успевало устанавливаться в процессе измерения. Благодаря этому эффект, вызываемый адсорбцией, размазывался по широкому участку кривой, изменяя ее наклон. В наших опытах адсорбционные изменения локализовались узкой областью поляризации, что обусловило наличие перепада в кривой перенапряжения.

Иная зависимость перенапряжения от концентрации кислоты наблюдается на нижних прямолинейных участках кривых, соответствующих положительному заряду поверхности электрода. В этом случае в результате адсорбции анионов имеет место более сложная картина на границе металл—раствор и вследствие этого более сложная зависимость перенапряжения от состава раствора. Можно ожидать, что в этой области поляризаций на кинетику электродной реакции будет оказывать влияние не только концентрация разряжающихся ионов, т. е. ионов водородов, но и природа и концентрация анионов.

Наблюдаемая нами аномальная зависимость перенапряжения при низких поляризациях от концентрации кислоты по сравнению с зависи-

остью, наблюдаемой в области высоких поляризаций, должна быть полностью отнесена за счет адсорбционных эффектов.

В работах по перенапряжению водорода большое значение придается значению наклона  $\eta - \lg i$  кривых или постоянной  $b$  в уравнении Тафеля. В многих работах эта величина являлась критерием применимости того и другого механизма перенапряжения к исследованным системам.

Для большинства металлов экспериментальные кривые имеют наклон, равный 0,10—0,12. Однако для некоторых металлов, преимущественно высоким перенапряжением, наряду с обычным значением 0,10—0,12, которые авторы получали кривые с аномальной величиной наклона 0,20—0,30. К этой группе, в частности, относятся исследованные материалы, и в первую очередь кадмий и свинец.

Согласно результатам настоящей работы такое расхождение можно отнести за счет различия в методах измерения, применявшихся в работах различных авторов, и интервалов поляризаций (плотностей тока), при которых эти измерения проводились. В тех случаях, когда измерения проводились в области потенциалов, соответствующих отрицательному заряду поверхности электрода, экспериментальные кривые имели наклон, равный 0,12. В работе Я. М. Колотыркина и Н. Я. Бунэ [8] показано, что если измерения проводятся достаточно быстро в сравнении со скоростью адсорбционных изменений на электроде, значение наклона 0,10—0,12 можно получить также для потенциалов, соответствующих точке нулевого заряда поверхности, и даже для потенциалов, лежащих несколько положительнее этой точки. Этим можно объяснить результаты Б. Н. Кабанова и З. А. Иофа [3] с соавторами, которые, применяя быстрый метод измерения, получили для свинцового электрода значение наклона, близкое к 0,12 в широком интервале плотностей тока.

Кривые с высоким наклоном получились в тех случаях, когда измерения проводились в области потенциалов, соответствующих перепаду стационарных кривых перенапряжения, и когда скорость измерения была достаточно велика по сравнению со скоростью адсорбционных изменений.

Приведенные нами данные убедительно показывают, что в области потенциалов, соответствующих отрицательному заряду поверхности, наклоны кривых перенапряжения на всех исследованных металлах имеют значение, близкое к 0,12. Отличие этих металлов от других заключается в том, что для них точки нулевых зарядов поверхностей находятся в области потенциалов, измеряемых при снятии кривых перенапряжения. Для большинства металлов, для которых не наблюдалось аномальных значений наклонов  $\eta - \lg i$  кривых, точки нулевых зарядов лежат или близко к потенциалу водородного нуля (Ni) или положительнее этого потенциала (Pt). Естественно, что измерение перенапряжения на таких металлах проводилось в области потенциалов, соответствующих отрицательному заряду поверхности.

### Выводы

1. Для широкого интервала плотностей тока ( $10^{-3}$ — $10^{-6}$  А/см<sup>2</sup>) получены стационарные кривые перенапряжения водорода в кислых растворах на кадмиевом и таллиевом электродах.

2. Показано, что изменение знака заряда поверхности электрода сопровождается резким изменением перенапряжения водорода: отрицательно заряженной поверхности соответствует повышенное перенапряжение по сравнению с поверхностью, заряженной положительно.

3. Показано, что различие в кинетике выделения водорода на положительно и отрицательно заряженной поверхности может быть объяснено адсорбционными изменениями на границе металл — раствор вблизи точки нулевого заряда поверхности электрода.



4. Зависимость отрицательной ветви кривой перенапряжения от концентрации кислоты для всех трех исследованных металлов находится в согласии с теорией замедленного разряда. Показано, что по величине перенапряжения кадмий и таллий занимают промежуточное положение между ртутью и свинцом.

5. Для всех трех исследованных металлов отрицательные ветви кривых перенапряжения имеют обычный наклон, близкий к 0,12. Показано, что наблюдавшиеся ранее расхождения в величинах наклонов являются результатом различия в методах измерения, применявшихся в работах различных авторов.

Физико-химический институт  
им. Л. Я. Карлова  
Москва

Поступила  
9.XII.1950

#### ЛИТЕРАТУРА

1. W. A. Caspari, Z. phys. Chem., **30**, 89, 1899.  
A. Coehn, K. Danneberg, Z. phys. Chem., **38**, 609, 1901.
2. А. Н. Фрумкин, Z. phys. Chem., **A**, 164, 121, 1933. В. А. Заринский, Перенапряжение водорода на ртутном катоде и  $\zeta$ -потенциал, ГИИТ НХТИ, 1938.
3. Б. Н. Кабанов, С. Филиппов, Л. Ванюкова, З. А. Иоффа и А. Прокофьева, Журн. физ. химии, **13**, 341, 1939; Acta phys. chem., **13**, 617, 1939.
4. Grasston, Trans. Farad. Soc., **21**, 36, 1925. З. А. Иоффа, Б. Н. Кабанов, Е. М. Кучинский и Ф. Чистяков, Журн. физ. химии **13**, 1105, 1939.  
Л. Ванюкова и Б. Н. Кабанов, Журн. физ. химии, **14**, 1620, 1940.
5. З. А. Иоффа, Журн. физ. химии, **13**, 1435, 1939.
6. З. А. Иоффа, и А. Н. Фрумкин, Журн. физ. химии, **18**, 268, 1944.
7. З. А. Иоффа, Журн. физ. химии **19**, 117, 1945.
8. Я. М. Колотыркин и П. Я. Бунз, Журн. физ. химии **21**, 581, 1947.
9. Т. И. Борисова и Б. В. Эршлер и А. Н. Фрумкин, Журн. физ. химии, **22**, 925, 1948.
10. Т. И. Борисова и Б. В. Эршлер, Журн. физ. химии **24**, 337, 1950.
11. A. Hickling a. F. Salt, Trans. Farad. Soc., **36**, 1226, 1940; **37**, 224, 1941.
12. J. Bockris, Trans. Farad. Soc., **43**, 417, 1947. Discussion of the Farad. Soc., **1**, 95, 1947. J. Bockris a. Conway, Nature, **159**, 711, 1947; Trans. Farad. Soc., **45**, 989, 1949.  
J. Bockris a. Ingmatowicz, Trans. Farad. Soc., **44**, 519, 1948; J. Bockris a. Parson, Trans. Farad. Soc., **44**, 860, 1948.
13. А. Н. Фрумкин, Acta. phys. chem., **18**, 23, 1943.
14. Я. М. Колотыркин, Журн. физ. химии, **20**, 667, 1946.
15. А. Н. Фрумкин, Журн. физ. химии, **9**, 491, 1937.

## ЭКСПЕРИМЕНТАЛЬНОЕ ИЗУЧЕНИЕ ПОВЕРХНОСТНОГО НАТЯЖЕНИЯ МЕТАЛЛИЧЕСКИХ РАСТВОРОВ

### 1. ТЕМПЕРАТУРНАЯ ЗАВИСИМОСТЬ ПОВЕРХНОСТНОГО НАТЯЖЕНИЯ РТУТИ, АМАЛЬГАМ НАТРИЯ И КАЛИЯ

*И. И. Пугачевич*

Целью настоящей работы являлось изучение температурной зависимости поверхностного натяжения амальгам натрия и калия в связи с проверкой молекулярной теории поверхностных явлений в растворах, разработанной В. К. Семенченко [1].

До сих пор, насколько нам известно, не было опубликовано ни одной работы, касающейся изучения температурной зависимости поверхностного натяжения амальгам, хотя попытки подобного изучения предпринимались личными авторами [2, 3].

#### Прибор для измерения поверхностного натяжения металлических растворов

Для исследования температурной зависимости поверхностного натяжения амальгам автором был сконструирован [4] стеклянный измерительный прибор, использующий метод максимального давления в капле (рис. 1).

При диаметре «манометрической» трубки *A*, ном 11–12 мм, для работы прибора требовалось более 2 см<sup>3</sup> ртути, а высота прибора не превышала 10–12 см. После многочасовой термовакуумной обработки прибора в него вводилось необходимое количество ртути или амальгамы, он проварился, в горячем состоянии отпаивался от вакуумной установки и на вращающейся рамке помещался в термостат со смотровыми окнами.

При вращении прибора по часовой стрелке вокруг оси, проходящей приблизительно через его центр и перпендикулярной к плоскости чертежа (рис. 1), на угол, несколько превышающий 90°, ртуть или амальгама из *A* и *B* перемещалась в *C*. При возвращении прибора в первоначальное положение жидкость начинала медленно благодаря капилляру *f* заполнять манометрическую трубку *A* и цилиндр *F*. Как только достигалась максимальная высота в *A* (она отмечалась катетометром), с кончика начинали падать капельки металла, но, поворачивая прибор снова, мы заставляли использованный металл, равно как и металл из *A*, опять попасть в *C*. Таким образом, в процессе измерения происходило непрерывное перемешивание исследуемого металла, на число измерений не накладывалось никаких ограничений, а сами измерения проводились при условии, когда над поверхностью ртути или амальгамы находился только их насыщенный пар.

Зная высоту верхней точки мениска ртути или амальгамы в манометрической трубке над срезом капилляра *F*, соответствующую максимальному давлению, радиус этого капилляра и плотность ртути или амальгамы при данной температуре, можно было считать их поверхностное натяжение по формуле Кантора [5], исправленной Феррельом и Шредингером.

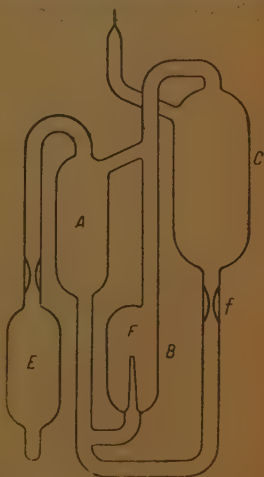


Рис. 1

После окончания измерений ртуть или амальгама переливалась в ампулу *E*, ампулу отпаивалась, и в случае амальгам содержащее ее, если это требовалось, подвергалось химическому анализу.

Таблица 1

Температурная зависимость поверхностного  
натяжения ртути

Прибор из молибденового стекла. Радиус капилляра $r = 0,232$ мм			Прибор из стекла 16-го состава. Радиус капилляра $r = 0,212$ мм		
$t, ^\circ\text{C}$	Число наблюд.	$\sigma$ дин./см	$t, ^\circ\text{C}$	Число наблюд.	$\sigma$ дин./см
20	24	465,2	22	6	468,0
57	5	458,5	50	13	465,5
103	11	449,7	100	15	452,1
150	5	440,7	150	10	441,1
210	9	427,5	200	9	428,9
255	15	413,2	250	13	415,5
306	12	400,4	300	12	402,1
350	11	387,1	350	11	387,1

Температурная зависимость поверхностного натяжения ртути

С приборами указанной конструкции мы произвели более 1500 наблюдений поверхностного натяжения ртути ( $\sigma$ ) в интервале от 20 до 350 (табл. 1) и нашли, что поверхностное натяжение ртути на является линейной функцией температуры. Отдельные наблюдения (в таблицу не вошли) проводились при температуре 380°, а это более чем на 20° превышало температуру кипения ртути, но даже и при такой высокой температуре не было никаких затруднений при измерении.

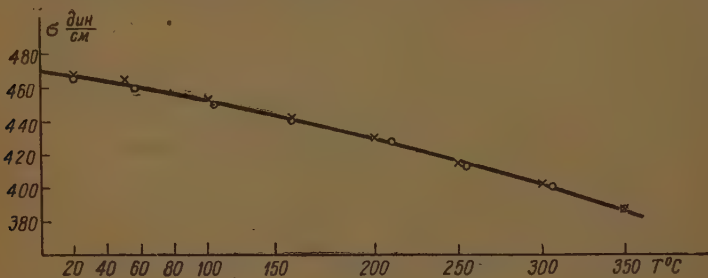


Рис. 2. Поверхностное натяжение ртути.  $\circ$  — прибор из молибденового стекла;  $\times$  — прибор из стекла 16-го состава

Измерения в приборах, сделанных из различных сортов стекла, не меняли формы кривой  $\sigma = f(t)$  (рис. 2), так же как не меняло этой зависимости ни многократное дестиллирование ртути, ни продолжительное кипячение ее в приборе перед отпаиванием от вакуумной установки с последующим созданием более глубокого вакуума путем применения ловушки с активированным углем. Во многих случаях нам удавалось в приборах из молибденового стекла наблюдать даже вогнутый мениск чистой ртути, который тотчас же становился выпуклым, если прибор вскрывали на воздухе. Конструктивные изменения приборов, при которых исключалось, например, влияние динамического давления на формирование капли, также не меняли зависимости  $\sigma$  ртути от температуры.

Наконец, в последнее время мы обратили внимание на поправку, обусловленную динамической депрессией в манометрической трубке. Наши измерения, выполненные совместно с О. А. Тимофеевичевой, показали, что в манометрической трубке диаметром 11 мм эта поправка не превышает 1,5% измеряемой величины поверхностного натяжения ртути и практически не зависит от температуры в исследованном нами температурном интервале (до 350°).

### Приготовление и анализ амальгам щелочных металлов

Описанные в литературе способы приготовления амальгам [6—9] условно могли являться источником значительных ошибок в определении поверхностного натяжения, поэтому мы разработали такие предварительные приемы, которые в значительной мере исключали загрязнение поверхности амальгам газами, парами вакуумной смазки и редохраняли их от окисления.

Исходные вещества для получения амальгам — ртуть и щелочные металлы тщательно очищались. Ртуть вначале отфильтровывалась от механических примесей через бумажный фильтр с тонким отверстием внизу, и затем в течение 3—30 час. через нее пропусклся очищенный и агретый до 80° воздух, что способствовало окислению

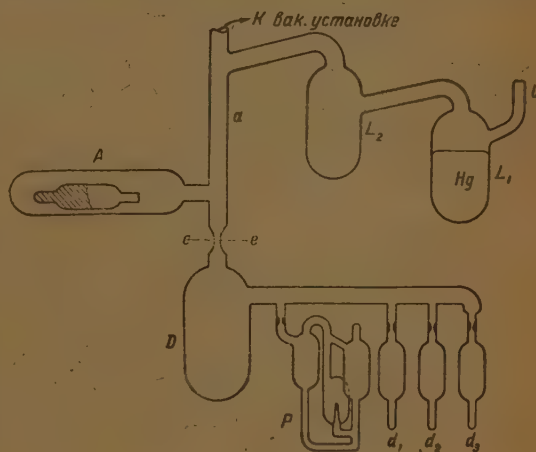


Рис. 3

державшихся в ней неблагородных металлов. Вслед за этим она снова отфильтровывалась и многократно пропускалась через столб насыщенного раствора  $Hg_2(NO_3)_2$ , затем подкисленного азотной кислотой, разбиваясь при этом на мелкие капельки благодаря воронке с узким отверстием, помещенной у поверхности раствора. После многократного промывания дистиллированной водой ртуть сушилась и перегонялась в высоком вакууме при температуре 180—190° С.

Химически чистые щелочные металлы также перегонялись под вакуумом и разливались по ампулам. Приготовленные таким способом вещества служили для получения амальгам в приспособлении, схема которого представлена на рис. 3. После предварительной термовакуумной обработки приспособления в  $L_1$  заливалась очищенная ртуть, в трубку A быстро вставлялась ампула со щелочным металлом, обрезанная с одного конца, трубки A и I запаивались, и тотчас же начиналась откачка приспособления с одновременным прогревом его деталей. После многочасового прогрева ртуть из  $L_1$  перегонялась в  $L_2$ , затем температура в A поднималась до 300°, щелочной металл начинал перегоняться и конденсироваться на стенках трубки. Одновременно начинали отгонять ртуть из  $L_2$ , и она, конденсируясь, стекала по трубке a, растворяла налет щелочного металла и попадала в D.

По окончании перегонки ампула D нагревалась и в горячем состоянии отпаивалась по линии e — e от вакуумной установки. Полученная амальгама тщательно перемешивалась, часть ее отливалась в измерительный прибор P и он отпаивался от греевника; оставшаяся амальгама разливалась по ампулам  $d_1$ ,  $d_2$ ,  $d_3$  емкостью от 1 до 10 см<sup>3</sup>, они также отпаивались от греевника, и содержащаяся в них амальгама могла употребляться для получения более разбавленных амальгам, для наполнения других измерительных приборов или могла быть использована для химического анализа.

Приспособление для разведения амальгам отличалось от вышеописанного устройства конструктивной трубкой A и тем, что вместо ампулы со щелочным металлом в нее помещалась одна из ампул с амальгамой. Ампула содержала такое количество амальгамы, что при нагревании ее до 300—320° амальгама почти целиком наполняла ампулу. Если затем после термовакуумной обработки системы температура в A поднималась



Таблица 2

## Поверхностное натяжение амальгам натрия при разных температурах

$t$ (°C)	$C = 0,022$ вес. % = 0,429 г-атом/л Радиус капилляра $r = 0,232$ мм				$C = 0,073$ вес. % = 0,428 г-атом/л Радиус капилляра $r = 0,232$ мм				$C = 0,219$ вес. % = 1,269 г-атом/л Радиус капилляра $r = 0,232$ мм				$C = 0,445$ вес. % = 2,561 г-атом/л Радиус капилляра $r = 0,232$ мм				$C = 0,579$ вес. % = 3,267 г-атом/л Радиус капилляра $r = 0,237$ мм			
	$\sigma$ дин/см	$\sigma_1$ дин/см	$\sigma_2$ дин/см	$\sigma$ дин/см	$\sigma$ дин/см	$\sigma_1$ дин/см	$\sigma_2$ дин/см	$\sigma$ дин/см	$\sigma$ дин/см	$\sigma_1$ дин/см	$\sigma_2$ дин/см	$\sigma$ дин/см	$\sigma$ дин/см	$\sigma_1$ дин/см	$\sigma_2$ дин/см	$\sigma$ дин/см	$\sigma_1$ дин/см	$\sigma_2$ дин/см		
20	450,8	449,3	450,1	438,6	434,6	436,4	434,4	422,4	427,4	438,1*	413,9*	423,2*	441,8*	441,4*	424,0*	424,0*	441,8*	441,4*	424,0*	
50	445,6	444,3	444,9	433,6	429,5	431,5	430,9	419,0	423,9	433,7	409,7	418,6	439,4	408,8	421,0	421,0	439,4	408,8	421,0	
100	437,3	436,0	436,7	428,6	424,2	426,2	425,5	413,5	418,4	428,0	403,8	412,6	431,8	401,0	413,1	413,1	431,8	401,0	413,1	
150	429,7	428,4	429,1	420,8	416,7	418,6	417,3	405,4	410,3	420,5	396,6	405,4	425,1	394,7	406,8	406,8	425,1	394,7	406,8	
200	419,0	417,7	418,4	409,5	405,5	407,8	407,7	396,0	400,9	410,8	387,4	396,0	415,3	385,4	397,3	397,3	415,3	385,4	397,3	
250	406,4	405,2	405,8	398,4	394,4	396,3	397,1	385,7	390,5	399,2	376,3	384,8	404,5	375,2	386,9	386,9	404,5	375,2	386,9	
300	394,6	393,4	394,0	387,7	382,9	384,8	385,1	374,0	378,7	389,6	367,2	375,6	392,3	363,7	375,2	375,2	392,3	363,7	375,2	
350	381,4	380,2	380,8	373,4	369,7	371,5	372,4	361,6	366,2	377,2	355,5	363,7	380,4	352,7	363,9	363,9	380,4	352,7	363,9	

\* Цифры получены для 24° С.

\*\* Объемные концентрации во всех таблицах рассчитаны для 20° С.

Таблица 3

## Поверхностное натяжение амальгам калия при разных температурах

$t$ (°C)	$C = 0,019$ вес. % = 0,066 г-атом/л Радиус капилляра $r = 0,232$ мм				$C = 0,065$ вес. % = 0,224 г-атом/л Радиус капилляра $r = 0,232$ мм				$C = 0,174$ вес. % = 0,596 г-атом/л Радиус капилляра $r = 0,232$ мм				$C = 0,280$ вес. % = 0,951 г-атом/л Радиус капилляра $r = 0,232$ мм				$C = 0,600$ вес. % = 1,995 г-атом/л Радиус капилляра $r = 0,237$ мм			
	$\sigma$ дин/см	$\sigma_1$ дин/см	$\sigma_2$ дин/см	$\sigma$ дин/см	$\sigma_1$ дин/см	$\sigma_2$ дин/см	$\sigma$ дин/см	$\sigma_1$ дин/см	$\sigma_2$ дин/см	$\sigma$ дин/см	$\sigma_1$ дин/см	$\sigma_2$ дин/см	$\sigma$ дин/см	$\sigma_1$ дин/см	$\sigma_2$ дин/см	$\sigma$ дин/см	$\sigma_1$ дин/см	$\sigma_2$ дин/см		
20	392,5	391,5	392,1	384,4	380,8	382,8	374,8	365,4	370,3	376,3	361,4	368,9	369,6	339,6	355,0	355,0	369,6	339,6	355,0	
50	389,8	388,7	389,3	382,0	378,4	380,4	372,6	363,2	368,2	372,3	356,3	363,8	368,0	338,4	353,3	353,3	368,0	338,4	353,3	
100	385,4	384,3	384,9	376,8	373,1	375,1	365,3	355,7	360,6	366,6	351,7	359,4	361,3	331,1	346,1	346,1	361,3	331,1	346,1	
150	378,9	377,8	378,4	369,9	366,2	368,2	357,7	348,3	353,2	359,4	344,6	352,0	350,7	321,0	336,0	336,0	350,7	321,0	336,0	
200	373,9	372,8	373,4	362,7	359,2	361,2	351,4	342,4	347,2	352,1	337,4	344,8	343,1	314,1	332,6	332,6	343,1	314,1	332,6	
250	363,7	362,6	363,2	355,0	351,5	353,4	343,0	333,9	338,7	344,0	329,8	336,9	334,9	306,4	320,7	320,7	334,9	306,4	320,7	
300	355,5	354,4	355,0	346,8	343,3	345,3	336,8	327,8	332,6	335,5	321,0	328,1	327,3	299,2	313,4	313,4	327,3	299,2	313,4	

не 300—320°, то амальгама в ампуле расширилась еще больше, разрывала склеившую ее стеклинную оболочку и, встречая на пути узкий капилляр для отfiltrования осколка стекла, попадала в ампулу D. Вслед за этим из  $L_2$  отгонялось приблизительно необходимое количество ртути для получения разбавленной амальгамы, повторялись все те манипуляции, которые были описаны выше.

Принципиально этот способ разбавления можно было использовать и получения амальгамы любой концентрации, но по существу при химическом анализе сильно разбавленных амальгам встречались значительные трудности. В этой связи мы отказались от химического анализа разбавленных амальгам и сконструировали прибор [10], в котором разбавленная амальгама получалась путем смещения точно измеренных в этом приборе количеств ртути и концентрированной амальгамы. Разбавление производилось в высоком вакууме, в приборе, отпаянном от вакуумной установки и не имеющем вакуумных кранов и шлифов.

Так как первый этап химического анализа исходной амальгамы состоял в экстрагировании из ртути щелочного металла, то для этой цели мы сконструировали автоматический экстрактор [10], в котором порция амальгамы, подлежащая химическому анализу, в течение 24 час. непрерывно разбивалась на тысячи мелких капелек, каждая из которых омывалась разбавленной уксусной кислотой. Раствор, содержащий уксуснокислую соль щелочного металла, подвергался весовому химическому анализу и на основании полученных результатов рассчитывались концентрации сначала исходной, а затем разбавленных амальгам\*.

Таблица 4.

зависимость измеряемой величины поверхностного натяжения амальгамы калия ( $C = 0,065$  вес. % = 0,224 г-атом/л)

°C	$\sigma$ , дин/см	Время	t, °C	$\sigma$ , дин/см	Время
20	380,3	Первонач. значение	200	358,7	Первонач. значение
	381,0	Через 26 дней		359,1	Через 27 дней
	380,6	» 27 »		359,8	» 28 »
	380,9	» 28 »		359,0	» 69 »
50	380,9	» 69 »	250	351,4	Первонач. значение
	377,5	Первонач. значение		351,4	Через 27 дней
	378,6	Через 4 дня		351,6	» 70 »
	378,8	» 22 »	300	343,2	Первонач. значение
100	378,7	» 65 дней		343,6	Через 27 дней
	373,0	Первонач. значение		343,3	» 28 »
	373,2	Через 25 дней		343,2	» 70 »
150	373,4	» 28 »	350	333,6	Первонач. значение
	373,1	» 69 »		334,0	Через 27 дней
	366,1	Первонач. значение		333,8	» 70 »
	366,4	Через 25 дней			
	366,0	» 69 »			

#### Температурная зависимость поверхностного натяжения амальгам натрия и калия

Вслед за ртутью было исследовано поверхностное натяжение амальгам натрия и калия различных концентраций в интервале от 20 до 350° C.

Для расчетов поверхностного натяжения амальгам по формуле Кантора надо было знать плотности амальгам при температуре опыта. Мы не про-

\* Пользуясь случаем, выражаем здесь свою признательность Т. А. Белявской, выполнившей химические анализы растворов уксуснокислых щелочных металлов.

изводили измерения плотностей амальгам, а пользовались литературными данными [11, 12]; рассчитанные на основании этих данных величины поверхностного натяжения амальгам обозначены в табл. 2, 3, как  $\sigma_2$ . Наряду с этим мы произвели расчеты поверхностного натяжения амальгам в предположении справедливости закона аддитивности удельных объемов и обозначали поверхностное натяжение, соответствующее этим расчетам, через  $\sigma_1$ . Наконец, мы рассчитали поверхностное натяжение амальгам, заменив

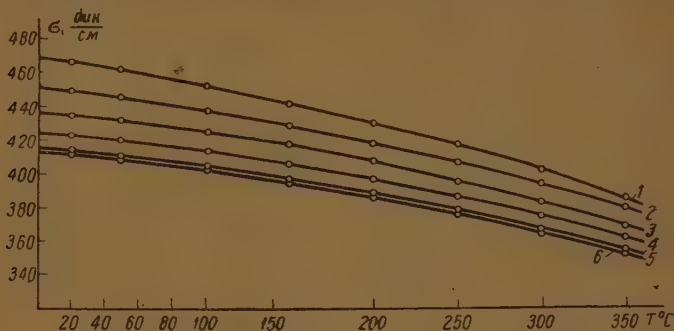


Рис. 4. Поверхностное натяжение амальгам натрия при разных температурах: 1— ртуть, 2— амальгама натрия  $c = 0,022$  вес. %, 3— то же  $c = 0,073$  вес. %, 4— то же  $c = 0,290$  вес. %, 5— то же  $c = 0,415$  вес. %, 6— то же  $c = 0,579$  вес. %

в формуле Кантора плотность металлического раствора плотностью ртути и в табл. 2, 3 эти величины обозначили через  $\sigma$ . Как видно из табл. 2, расчеты поверхностного натяжения амальгам, не учитывающие изменения плотности с концентрацией, приводят к изотермам поверхностного натяжения, имеющим минимальные значения.

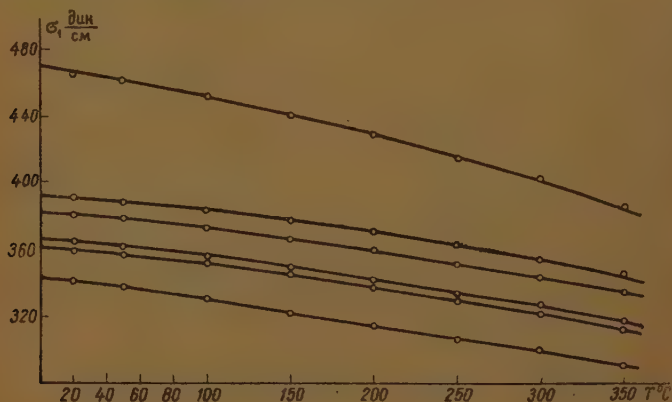


Рис. 5. Поверхностное натяжение амальгам калия при разных температурах: 1— ртуть, 2— амальгама К  $c = 0,019$  вес. %, 3— то же  $c = 0,065$  вес. %, 4— то же  $c = 0,174$  вес. %, 5— то же  $c = 0,280$  вес. %, 6— то же  $c = 0,600$  вес. %

На рис. 4—7 представлена зависимость поверхностного натяжения амальгам натрия и калия от температуры и концентрации; в табл. 4 приводится воспроизводимость результатов для одной из амальгам и для одного и того же прибора. Сравнение результатов, полученных для одинаковых концентраций, но с разными приборами, показывает, что расхо-

ия в определении поверхностного натяжения амальгам достигает 2-3 дин/см и объясняется прежде всего ошибкой в определении радиусов пилляра  $F$ .

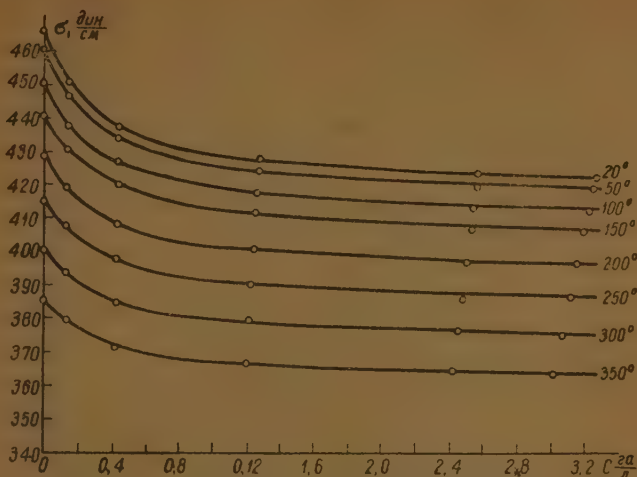


Рис. 6. Изотермы поверхностного натяжения амальгам натрия

Известно, что адсорбция вещества из раствора не происходит мгновенно, поэтому в зависимости от времени формирования капли казалось можно было бы ожидать различных значений поверхностного натяжения амаль-

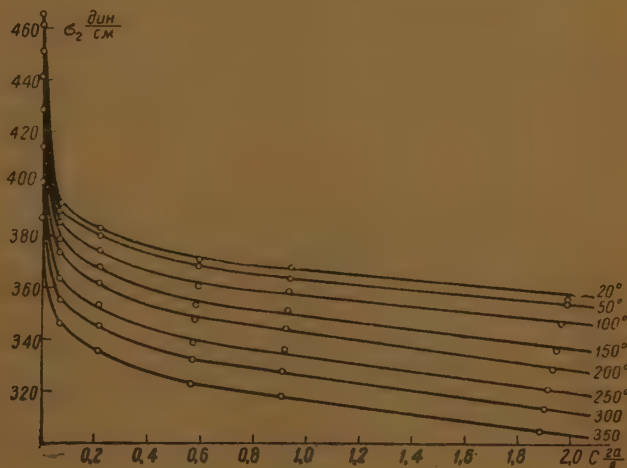


Рис. 7. Изотермы поверхностного натяжения амальгам калия

гам. Благодаря конструктивным особенностям измерительного прибора мы имели возможность варьировать время формирования капли амальгамы от 15 сек. до 4 мин. и нашли, что продолжительность формирования капли в указанном интервале не отражается на измеряемой величине поверхностного натяжения амальгамы.



## Обсуждение полученных результатов

На основании полученных результатов для поверхностного натяжения амальгам натрия и калия были проверены некоторые выводы качественной теории поверхностных явлений в растворах, разработанной В. К. Семенченко.

Как было им показано, поверхностная активность одного вещества по отношению к другому характеризуется разностью обобщенных моментов растворителя ( $m_0$ ) и растворенного вещества ( $m_1$ ), а именно, для  $m_0 > m_1$  адсорбция  $\Gamma > 0$ , и мы имеем дело с поверхностно-активными веществами, тогда как при  $m_0 < m_1$   $\Gamma < 0$ , т. е. растворенное вещество оказывается поверхностно-инактивным.

Так как  $m_{Hg} > m_{Na} > m_K$ , то указанные металлы по отношению к ртути должны быть поверхностно-активными, причем калий должен быть более активным, чем натрий, что и подтверждается нашими экспериментами (рис. 6, 7).

Оказалось, что правило обобщенных моментов Семенченко выполняется в широком температурном интервале (рис. 6, 7).

Из теории В. К. Семенченко следует далее, что предельная поверхностная активность всегда убывает с температурой, и что для одной и той же температуры предельная активность тем больше, чем больше разность обобщенных моментов растворителя и растворенного вещества [1]. Этот вывод теории также подтверждается опытом: предельная активность калия для натрия, так и для калия убывает с увеличением температуры и наши вычисления показывают, что при  $20^\circ$  предельная поверхностная активность натрия в 3 раза больше его предельной активности при температуре равной  $350^\circ$ , а для одной и той же температуры предельная активность калия во много раз больше предельной активности натрия.

В. К. Семенченко было показано [1], что экстремальное значение адсорбции  $\Gamma_s$  зависит от температуры и от разности обобщенных моментов. Оно является максимумом для поверхностно-активных веществ и минимумом для веществ инактивных, причем повышение температуры в случае поверхностно-активных веществ уменьшает  $\Gamma_s$ .

Для проверки этого положения теории мы рассчитали адсорбцию натрия и калия в амальгамах, пользуясь уравнением Гиббса, и нашли, что экстремальные значения адсорбции натрия и калия в амальгамах оказываются максимальными, а повышение температуры уменьшает величину максимума адсорбции.

В соответствии с теорией оказывается и то, что  $\Gamma_s$  калия больше, чем  $\Gamma_s$  натрия, и смещено в сторону меньших концентраций; например, при  $20^\circ$  максимальная адсорбция калия в 2,3 раза больше, чем максимальная адсорбция натрия, причем значение концентрации, соответствующей  $\Gamma_s$  калия, в 3,5 раза меньше, чем концентрация, соответствующая  $\Gamma_s$  натрия.

Уравнение В. К. Семенченко для изотермы поверхностного натяжения найденное им на основании общих молекулярных соображений, оказалось неприменимым к металлическим растворам, так как третий член этого уравнения, с формальной стороны определяющий поправку к уравнению Б. Шишковского, для металлических растворов был положительным, тогда как для них он должен быть отрицательным, чтобы правильно передавать ход экспериментальной изотермы поверхностного натяжения.

## Выводы

1. При помощи разработанной автором конструкции прибора измерено поверхностное натяжение чистой ртути в интервале от  $20$  до  $350^\circ \text{C}$  и найдено, что в указанном интервале поверхностное натяжение ртути не является линейной функцией температуры.

2. Измерено поверхностное натяжение амальгам натрия и калия равных концентраций в интервале от 20 до 350° С.
3. Экспериментальные результаты сопоставлены с выводами молекулярной теории поверхностных явлений в растворах, разработанной К. Семенченко. В большинстве случаев выводы теории подтверждаются этими опытами.

Московский государственный университет  
им. М. В. Ломоносова  
и  
Академия Наук СССР  
Институт общей и неорганической  
химии

Поступила  
9.XII.1950

#### ЛИТЕРАТУРА

- В. К. Семенченко, Колл. журн., 9, 125, 1947.
- Jager, Sitzungsber. d. k. Akad. Wiss. Abt. II a Wien, 101, 954, 1892.
- А. М., Диденко, Диссертация, МГПИ им. В. П. Потемкина, Москва, 1945.
- П. П. Пугачевич, В. А. Константинов, ДАН СССР, 57, 797, 1947.
- M. Cantor, Ann. der Phys., 47, 399, 1892.
- F. Schmidt, Ann. der Phys., 39, 1108, 1912.
- Oppenheimer F. Z. anorg. u. allg. Chem., 171, 98, 1928.
- L. Convers, Dissertation, Nancy, 1938.
- В. П. Беринг, Н. Л. Покровский, ЖФХ, 7, 509, 1936.
- П. П. Пугачевич, Диссертация, МГУ, Москва, 1949.
- E. Maey, Z. f. phys. Chem., 29, 119, 1899.
- E. Vanstone, Trans. Farad. Soc., 7, 42, 1911.

## К ТЕОРИИ ТЕРМОДИНАМИЧЕСКИХ СВОЙСТВ РАСТВОРОВ. III.

## ПРАВИЛО СЕМЕНЧЕНКО

М. И. Шахпаронов

§ 1. В первой статье этой серии [1] свойства растворов были рассмотрены в основном с формально термодинамической точки зрения. Во второй статье [2] была кратко изложена статистическая теория растворов и выведено уравнение растворимости, устанавливающее связь между растворимостью и свойствами частиц, составляющих раствор. В настоящей статье мы покажем, что это уравнение растворимости ведет к высказанному В. К. Семенченко в 1938 г. правилу растворимости [3, 4]. Это правило было подтверждено В. К. Семенченко, нами [5, 6] и П. И. Пугачевичем [7] на большом экспериментальном материале, относящемся к самым различным растворам диэлектриков и сплавам металлов.

Предложенное нами уравнение растворимости имеет следующий вид

$$\ln n_1^{\text{нас}} = -\frac{\lambda_1 + \Delta \bar{H}_1}{RTT_0} (T_0 - T) + \frac{\alpha}{kT} \left\{ \left[ (m_1 - m_2)^2 + 2m_1m_2(1-\delta) - \frac{2\varepsilon_1\varepsilon_2}{(r_1^0 + r_2^0)^n} (\eta-1) \right] \frac{\partial \bar{X}}{\partial N_1} \left( \frac{n\rho}{r_1^0 + r_2^0} - 1 \right) + \bar{X} \frac{\partial \omega}{\partial N_1} \right\}. \quad (1)$$

В частном случае, когда  $\frac{\partial \omega}{\partial N_1} \approx 0$ ,  $\alpha \approx 1$ , это уравнение принимает более простую форму:

$$n_1^{\text{нас}} = n_1^{\text{ид}} e^{-\frac{n_1^2 \beta}{RT}}, \quad (2)$$

где

$$\tau = \left[ (m_1 - m_2)^2 + 2m_1m_2(1-\delta) - \frac{2\varepsilon_1\varepsilon_2}{(r_1^0 + r_2^0)^n} (\eta-1) \right]; \quad (3)$$

$$\beta = \frac{ZN}{2} \left[ 1 + n_1^2 \left( e^{-\frac{\omega}{kT}} - 1 \right) \right] \left( 1 - \frac{n\rho}{r_1^0 + r_2^0} \right). \quad (4)$$

Здесь  $n_1^{\text{нас}}$  — молярная дробь компонента 1 в неидеальном бинарном растворе, насыщенном по отношению к этому компоненту при температуре  $T$ ;  $n_1^{\text{ид}}$  — молярная дробь компонента 1 в идеальном бинарном растворе, насыщенном по отношению к этому компоненту при той же температуре  $T$ ;  $Z$  — координационное число или среднее число частиц, окружающих каждую частицу 1 и 2. При выводе предполагалось, что  $Z_1 = Z_2$ . Это число характеризует структуру раствора;  $N$  — число Авогадро — Лошмидта;  $\tau$  — коэффициент, характеризующий различие в полях частиц растворителя и растворенного вещества и способность этих частиц к взаимодействию;  $\beta$  — положительный коэффициент, зависящий прежде всего от структуры раствора, менее резко  $\beta$  зависит от концентрации растворенного

и о вещества, от температуры и от  $\omega$ ;  $R$  — газовая постоянная;  $n, \rho, \epsilon_1, \epsilon_2$  — положительные постоянные в уравнении для энергии взаимодействия частиц 1 и 2;  $\omega$  — энергия образования пары частиц 2—2 в растворе;  $\delta$  — положительный коэффициент, зависящий от размеров частиц 2: если радиусы частиц 1 и 2 не равны ( $r_1^0 \neq r_2^0$ ), то  $\delta < 1$ , если же радиусы частиц одинаковы ( $r_1^0 = r_2^0$ ), то  $\delta = 1$ ;  $\eta$  — положительный коэффициент, характеризующий взаимодействие частиц растворителя и растворенного вещества. Если  $\eta < 1$ , то в растворе имеет место «эффективное отталкивание» частиц 1 и 2; если  $\eta > 1$ , то в растворе имеет место эффективное притяжение этих частиц. Большие значения  $\eta$  характеризуют химическое взаимодействие.

Обобщенные моменты выражаются следующим соотношением:

$$m_i = \frac{\epsilon_i}{(2r_1)^{\frac{n}{2}}}, \quad (5)$$

и  $m_2$  приближенно можно считать монотонными функциями диэлектрических постоянных чистых жидких компонентов 1 и 2:

$$m_i = f(D_i) \quad (i = 1, 2). \quad (6)$$

Перейдем теперь к рассмотрению уравнения растворимости в его упрощенной, но зато более наглядной форме (2).

Из уравнения растворимости следует, что если  $\tau = 0$ , то растворимость равна растворимости в идеальном растворе  $n_1^{\text{нас}} = n_1^{\text{ид}}$ . Согласно (3),  $\tau$  может быть равным нулю в двух случаях. Во-первых, если  $m_1 = m_2$ , радиусы частиц равны ( $\delta = 1$ ), и между частицами растворителя и растворенного вещества нет эффективного притяжения или отталкивания ( $\eta = 1$ ). В этом случае раствор является строго идеальным. Во-вторых, если  $m_1 \neq m_2$  и  $\delta < 1$ , то выполняется следующее соотношение:

$$(m_1 - m_2)^2 + 2m_1m_2(1 - \delta) = \frac{2\epsilon_1\epsilon_2}{(r_1^0 + r_2^0)^n} (\eta - 1). \quad (7)$$

В этом случае раствор является квази-идеальным.

Если  $\tau > 0$ , то  $n_1^{\text{нас}} < n_1^{\text{ид}}$ . Если  $m_1 = m_2$  и  $\eta = 1$ , но размеры частиц растворителя и растворенного вещества неодинаковы ( $\delta < 1$ ), то  $\tau > 0$ . Следовательно, неравенство в размерах частиц компонентов 1 и 2 уменьшает растворимость по сравнению с растворимостью в идеальном растворе. Если  $\eta < 1$ , т. е. имеет место эффективное отталкивание между частицами 1 и 2, то согласно (3)  $\tau > 0$  и, следовательно,  $n_1^{\text{нас}} < n_1^{\text{ид}}$ . Очевидно, что  $n_1^{\text{нас}} < n_1^{\text{ид}}$ , если  $m_1 \neq m_2$  при  $\eta = 1$ , а также в том случае, когда  $\eta > 1$ , но выполняется следующее неравенство:

$$(m_1 - m_2)^2 + 2m_1m_2(1 - \delta) > \frac{2\epsilon_1\epsilon_2}{(r_1^0 + r_2^0)^n} (\eta - 1). \quad (8)$$

Если  $\tau < 0$ , то  $n_1^{\text{нас}} > n_1^{\text{ид}}$ . Это имеет место при выполнении следующего неравенства:

$$(m_1 - m_2)^2 + 2m_1m_2(1 - \delta) < \frac{2\epsilon_1\epsilon_2}{(r_1^0 + r_2^0)^n} (\eta - 1). \quad (9)$$

Очевидно, что обязательным условием для выполнения этого неравенства должно быть  $\eta > 1$ . Иначе говоря, в растворе между частицами 1 и 2 должно быть эффективное притяжение или химическое взаимо-



действие. При больших значениях  $\eta$  (химическое взаимодействие) неравенство (9) может выполняться даже тогда, когда  $(m_1 - m_2)$  имеет значительную величину. Но в общем следует ожидать, что это неравенство чаще всего выполняется в тех растворах, где разность обобщенных моментов не велика и размеры частиц растворителя и растворенного вещества близки друг к другу.

Таким образом мы приходим к следующим выводам:

1. При уменьшении разности, обобщенных моментов растворителя и растворенного вещества растворимость растет, приближаясь к идеальной.

2. Различие в размерах частиц растворителя и растворенного вещества вызывает уменьшение растворимости.

3. Эффективное отталкивание между частицами растворителя и растворенного вещества, как и следовало ожидать, ведет к уменьшению растворимости. Эффективное притяжение или химическое взаимодействие повышает растворимость.

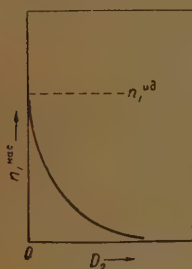


Рис. 1

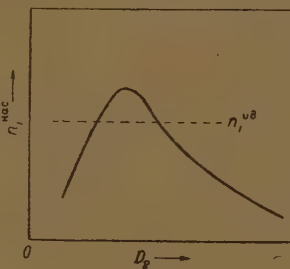


Рис. 2

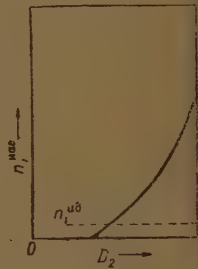


Рис. 3

К этим трем положениям можно добавить еще два.

4. Если координационное число  $Z$  у частиц растворителя и растворенного вещества приблизительно одинаково не зависит от состава раствора и  $\frac{\partial \omega}{\partial N_1} \approx 0$ , то растворимость компонента 1 в компоненте 2 и компонента 2 в компоненте 1 является приблизительно одинаковой.

5. Если два раствора одного и того же компонента 1 в различных растворителях 2 и 3 характеризуются тем, что разности обобщенных моментов  $(m_1 - m_2)$  и  $(m_1 - m_3)$  различны по знаку, но приблизительно одинаковы по абсолютной величине, то в случае, когда размеры частиц обоих растворителей 2 и 3 близки и отсутствует сильное эффективное притяжение ( $\eta \approx 1$ ), растворимости компонента 1 в 2 и 3 будет приблизительно одинаковой (соответственные растворы) [8].

§ 2. Из сказанного в § 1 следует, что если растворимость компонента 1 при некоторой температуре  $T$  представить графически как функцию обобщенного момента компонента 2, то эта зависимость в общем случае должна представлять собой кривую, проходящую через максимум в районе  $m_1 \approx m_2$ . Если, согласно (6), на оси абсцисс отложить вместо  $m_2$  диэлектрическую постоянную чистого жидкого вещества 2, то зависимость  $n_1^{\text{нас}}$  от  $D_2$  будет иметь следующий вид (рис. 2). Нетрудно видеть, что этот график воспроизводит правило растворимости, высказанное впервые В. К. Семенченко, согласно которому при постепенном усилении молекулярного силового поля компонента 2 растворимость будет сначала повышаться, достигнет максимума, а затем пойдет на снижение [4]. В дальнейшем это правило мы предлагаем называть по имени его автора правилом Семенченко, а изображенную на рис. 2 зависимость  $n_1^{\text{нас}}$  от  $D_2$  — кривой Семенченко.

Следует подчеркнуть, что правило В. К. Семенченко не является строго количественной закономерностью. В тех случаях, когда растворитель разует твердый раствор, содержащий большое количество растворенного вещества, а также в тех случаях, когда между растворителем и растворенным веществом имеет место химическое взаимодействие, растворимость резко возрастает. То, что такие отклонения должны иметь место, следует из теории и подтверждается на опыте [5]. Заметим также, что при равенстве молекулярных полей полное смешение наступает лишь выше точки плавления обоих компонентов. Ниже точки плавления, как было показано нами, равенство молекулярных полей ведет к растворимости, совпадающей с идеальной.

Прямая линия, пересекающая кривую Семенченко на рис. 1, соответствует идеальной растворимости компонента 1 при данной температуре. Для всех растворов, лежащих ниже этой прямой, выполняется равенство (8), а для растворов, лежащих выше этой прямой, выполняется неравенство (9). Если прямая, соответствующая  $n_1^{ид}$ , проходит ниже кривой Семенченко, то это означает, что во всех рассматриваемых растворах отсутствует химическое взаимодействие или значительное эффективное притяжение.

Наряду с общим случаем, выраженным на рис. 2, можно выделить и частные случаи.

Если частицы компонента 1 обладают очень небольшим обобщенным моментом и для всех компонентов 2 имеет место неравенство  $m_2 > m_1$ , то в этом случае реализуется только правая ветвь кривой Семенченко (рис. 1). Если частицы компонента 1 обладают большим обобщенным моментом, причем для всех компонентов 2 имеет место  $m_2 < m_1$ , то в этом случае реализуется только левая ветвь кривой Семенченко (рис. 3).

Нетрудно показать, что существует тесная связь между положением раствора на кривой Семенченко и термодинамическими свойствами этого раствора. Действительно, в принятых здесь обозначениях коэффициент активности компонента 1, отнесенный к чистому компоненту 1 как к стандартному состоянию, выражается следующим образом:

$$f_{a_1} = e^{\tau \frac{n_2^2 \beta}{RT}}. \quad (10)$$

Используя уравнение Гиббса — Дюгема и приближенно считая  $\beta$  не зависящим от концентрации, получаем для коэффициента активности компонента 2 следующее выражение:

$$f_{a_2} = e^{-\frac{\tau \beta n_1}{RT} (2 - n_2)} = f_{a_1} e^{-\tau \frac{2\beta}{RT} n_1}. \quad (11)$$

Для растворов, находящихся выше линии  $n_1 = n_1^{ид}$  (на рис. 2),  $\tau < 0$  и, следовательно,  $f_{a_1} < 1$ ;  $f_{a_2} > 1$ . Согласно принятой в литературе терминологии такие растворы характеризуются отрицательными отклонениями от идеальности. Растворы, находящиеся ниже линии  $n_1 = n_1^{ид}$ , характеризуются положительными отклонениями от идеальности. В этом случае  $\tau > 0$ ,  $f_{a_1} > 1$  и  $f_{a_2} < 1$ .

Если линия  $n_1 = n_1^{ид}$  проходит выше кривой Семенченко, то все растворы характеризуются положительными отклонениями от идеальности. Чем больше удален раствор от линии  $n_1 = n_1^{ид}$ , тем больше положительные или отрицательные отклонения термодинамических свойств этого раствора от идеальности. Таким образом правило Семенченко в сочетании с данными о идеальной растворимости позволяет по растворимости судить о других термодинамических свойствах растворов,

а также делать выводы о характере взаимодействий между частицами растворителя и растворенного вещества.

Ранее [5, 6] нами были рассчитаны кривые Семенченко для ряда растворов органических и неорганических веществ. При рассмотрении этих кривых обращают на себя внимание следующие особенности.

1. Для многих веществ кривая Семенченко не является симметричной. Правая ветвь спускается к оси абсцисс значительно менее круто, чем левая ветвь (рис. 2). Такой вид кривой наблюдается, например, для растворов  $C_6H_5COOH$  в различных растворителях, растворов резорцина, пирокатахина, галловой кислоты и т. д.

2. При переходе от неполярных веществ (фосфор, иод, сера и т. д.) к полярным (кислоты, соли и т. д.) кривая Семенченко, как правило, все более и более поднимается над линией, соответствующей идеальной растворимости. Если для неполярных веществ кривая Семенченко всегда (или почти всегда) лежит ниже линии идеальной растворимости, то для веществ, обладающих средней полярностью, эта кривая рассекается линией идеальной растворимости приблизительно в средней части, и, наконец, для веществ, обладающих очень большими дипольными моментами, и для веществ, диссоциирующих на ионы, линия, соответствующая идеальной растворимости, проходит в нижней части кривой Семенченко, вблизи от оси абсцисс. Эта закономерность схематически изображена на рис. 1, 2 и 3. Рис. 1 соответствует первому случаю, рис. 2 — второму случаю и рис. 3 — третьему случаю.

Отсюда следует, что растворы неполярных веществ всегда или почти всегда характеризуются положительными отклонениями от идеальности. В том, что это действительно имеет место, легко убедиться, обратившись к имеющимся в литературе многочисленным данным по растворимости и упругости пара таких веществ [8, 9]. Растворы веществ средней полярности, как правило, характеризуются отрицательными отклонениями от идеальности, если оба компонента раствора обладают близкими обобщенными моментами или диэлектрическими постоянными. По мере увеличения полярности вещества область отрицательных отклонений от идеальности в общем растет, становясь наибольшей в растворах электролитов в неэлектролитах. Причина этой закономерности, также как и указанной выше несимметричности кривой Семенченко, для многих веществ заключается, повидимому, в том, что с ростом полярности веществ растет коэффициент  $\eta$ , характеризующий эффективное притяжение между разнородными частицами.

§ 3. Если для компонентов 1 и 2 в жидком состоянии известны значения диэлектрической постоянной  $D_1$  и  $D_2$ , то, сравнивая эти значения можно делать ориентировочные предположения о термодинамических свойствах растворов, не обращаясь к растворимости. Согласно выше сказанному можно предполагать, что вещества, обладающие близкими по величине диэлектрическими постоянными, когда эти диэлектрические постоянные малы, будут давать растворы, характеризующиеся небольшими положительными отклонениями от идеальности. Если же диэлектрические постоянные велики (полярные компоненты), то, как правило, в этом случае следует ожидать отрицательных отклонений от идеальности.

В тех случаях, когда  $D_1$  и  $D_2$  сильно отличаются друг от друга, следует ожидать положительных отклонений от идеальности, в особенности если одно из веществ является неполярным. Проиллюстрируем сказанное на растворах различных веществ в бензоле и растворах в воде. На рис. 4 изображена зависимость коэффициента активности от концентрации для  $CCl_4$ ,  $CS_2$ ,  $C_2H_4Br_2$ , парахрезол и паранитрофенола в растворах этих веществ в бензоле. Кривые рассчитаны нами по данным Бюри и Дженкинса [10]. Растворы  $CCl_4$  в бензоле являются идеальными, по мере роста полярности веществ, растворенных в бензоле (не

лярном веществе), отрицательные отклонения от идеальности растут. В качестве меры отклонения от идеальности можно принять величину  $\Delta$ :

$$\Delta = \lim_{n_2 \rightarrow 0} \frac{\partial f_{a_1}}{\partial n_2} \quad (12)$$

Для сравнительной оценки обобщенного момента можно воспользоваться рядом с диэлектрической постоянной также и отношением  $\mu/v$ , где  $\mu$  — дипольный момент, а  $v$  — эффективный объем молекулы. В табл. 1 приведены цифровые данные, показывающие последовательный рост положительных отклонений от идеальности по мере роста разности обобщенных моментов бензола и растворенного вещества.

Рис. 4. Зависимость от концентрации коэффициента активности веществ, растворенных в бензоле

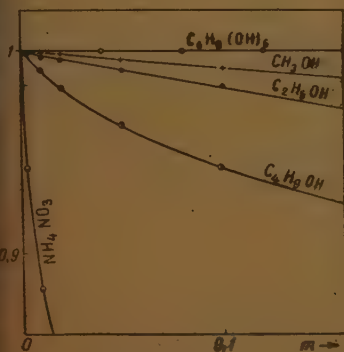
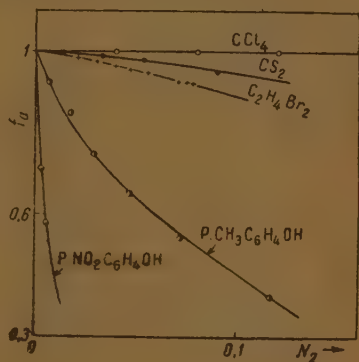


Рис. 5. Зависимость от концентрации коэффициента активности веществ, растворенных в воде

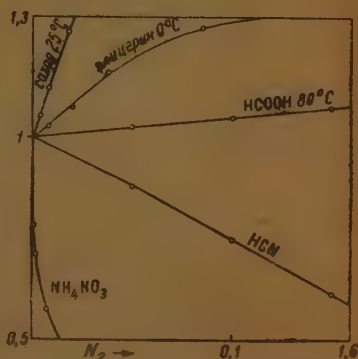


Рис. 6. Зависимость коэффициента активности сахара, глицерина и других веществ от концентрации в водных растворах

На рис. 5 и 6 изображена зависимость коэффициента активности от концентрации для  $C_6H_5OH$ ,  $C_2H_5OH$ ,  $CH_3OH$ ,  $C_6H_5(OH)_6$ , сахара, глицерина, муравьиной кислоты,  $HCN$  и  $NH_4NO_3$  в растворах этих веществ в воде [9]. Как и следует ожидать, растворы сахара, глицерина и  $HCOOH$  характеризуются отрицательными отклонениями от идеальности. Растворы веществ, обладающих очень малыми диэлектрическими постоянными, так же как и растворы веществ, обладающих очень большими диэлектрическими постоянными, и растворы электролитов характеризуются положительными отклонениями от идеальности. Табл. 2



также подтверждает сказанное. Однако во многих случаях, при современном уровне знаний, мы лишены возможности дать какую-либо количественную оценку обобщенному моменту частиц интересующего нас вещества. В этих случаях на помощь приходит правило Семенченко. Получив из данных по растворимости кривую Семенченко для данного вещества при заданной температуре  $T$  и, исходя из данных о теплоте плавления, вычислив идеальную растворимость, можно сделать ряд заключений как о термодинамических свойствах различных растворов этого вещества, так и о характере межмолекулярных взаимодействий в этих растворах.

Рассмотрим в качестве иллюстрации растворы в метанитробензойной кислоте и растворы в пирокатехине. Эти вещества, как большинство других, подчиняются правилу Семенченко. Кривые Семенченко для метанитробензойной кислоты при  $30^\circ\text{C}$  и для пирокатехина при температуре  $40^\circ\text{C}$  изображены на рис. 7 и 8. По оси абсцисс отложены

Таблица 2

## Растворы в воде

Растворенное вещество	$m_2^*$	$D_2$	$\Delta$
$\text{H}_2\text{O}$ . . . . .	1	81	—
$\text{C}_4\text{H}_9\text{OH}$ . . . . .	0,18	19,2	-1,1
$\text{C}_2\text{H}_5\text{OH}$ . . . . .	0,29	25,8	-0,2
$\text{CH}_3\text{OH}$ . . . . .	0,42	31,2	-0,08
Маннит . . . . .	—	—	0
$\text{HCOOH}$ при $80^\circ\text{C}$ . . . . .	0,56	50	0,5
Глицерин . . . . .	—	56,2	4,8
Сахар . . . . .	—	—	15
$\text{HCN}$ . . . . .	0,73	95	-2,5
$\text{NH}_4\text{NO}_3$ . . . . .	—	—	— $\infty$

Таблица 1

## Растворы в бензоле

Растворенное вещество	$m_2^*$	$D_1$	$\Delta$
$\text{C}_6\text{H}_6$ . . . . .	0	2,24	—
$\text{CCl}_4$ . . . . .	0	2,25	0
$\text{CS}_2$ . . . . .	0	2,61	0,1
$\text{C}_2\text{H}_5\text{Br}_2$ . . . . .	0,12	4,86	0,6
$p\text{-CH}_3\text{C}_6\text{H}_4\text{OH}$ . . . . .	0,15	—	10
$p\text{-NO}_2\text{C}_6\text{H}_4\text{OH}$ . . . . .	0,46	—	$\infty$

\* Обобщенный момент воды условно принят равным единице.

диэлектрические постоянные веществ, растворяющихся в метанитробензойной кислоте или в пирокатехине, а по оси ординат — концентрация

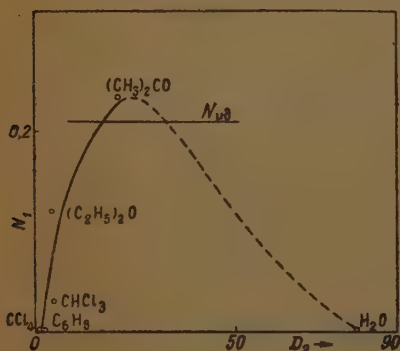


Рис. 7. Зависимость растворимости метанитробензойной кислоты от диэлектрической постоянной растворителя при  $30^\circ\text{C}$

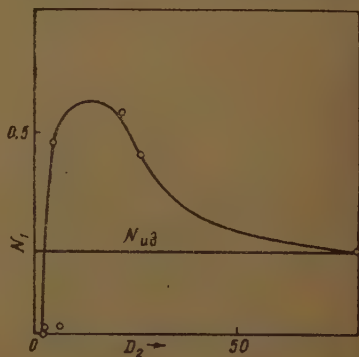


Рис. 8. Зависимость растворимости пирокатехина от диэлектрической постоянной растворителя при  $40^\circ\text{C}$

пирокатехина или метанитробензойной кислоты в молярных долях при которой начинается их кристаллизация [11, 12].

Из положения линии, соответствующей идеальной растворимости  $n_1^{\text{ид}}$ , следует, что растворы ацетона в метанитробензойной кислоте и эфира, ацетона и этилового спирта в пирокатехине должны характеризоваться отрицательными отклонениями идеальности. Коэффициент активности растворенного вещества во всех этих случаях должен быть больше единицы, а коэффициент активности растворителя — меньше единицы. На основании сказанного выше можно ожидать, что отрицательные отклонения от идеальности для растворов ацетона в метанитробензойной кислоте не являются резкими. Далее следует ожидать, что отрицательные отклонения от идеальности для растворов ацетона в пирокатехине больше, чем для растворов эфира. Можно предполагать, что раствор воды в пирокатехине является идеальным или, скорее, псевдоидеальным, [8]) или же очень близок к идеальности. Следует ожидать, что растворы эфира, хлороформа, бензола, четыреххлористого углерода воды в метанитробензойной кислоте и растворы хлороформа, бензола и четыреххлористого углерода в пирокатехине характеризуются положительными отклонениями от идеальности (коэффициент активности растворенного вещества меньше единицы). При этом можно заранее предполагать, что наиболее резкие положительные отклонения от идеальности будут иметь место в растворах воды, бензола, четыреххлористого углерода в метанитробензойной кислоте и в растворах четыреххлористого углерода и бензола в пирокатехине.

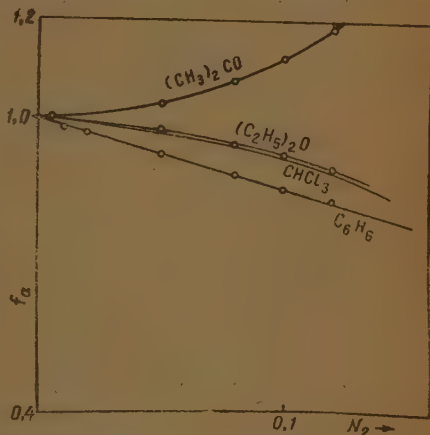


Рис. 9. Зависимость коэффициента активности ацетона, эфира и других веществ в их растворах в метанитробензойной кислоте

Таблица 3

Растворы в метанитробензойной кислоте при 30 °C

Растворенное вещество	$m_2$	$D_2$	$\Delta$
$\text{Cl}_4$ . . . . .	0,14	2,25	—
$\text{H}_2\text{O}$ . . . . .	0,80	2,24	—1,4
$\text{HCl}_3$ . . . . .	3,7	5,14	—0,2
$(\text{C}_2\text{H}_5)_2\text{O}$ . . . . .	14,7	4,4	—0,2
$(\text{CH}_3)_2\text{CO}$ . . . . .	23,4	21,5	0
Идеальный раствор . . . . .	21,5	—	—

Таблица 4

Растворы в пирокатехине

Растворенное вещество	$m_2$	$D_2$	$\Delta$
$\text{CCl}_4$ . . . . .	0,14	2,25	0?
$\text{C}_6\text{H}_6$ . . . . .	0,80	2,24	—10
$(\text{C}_2\text{H}_5)_2\text{O}$ . . . . .	14,7	4,4	0,0
$(\text{CH}_3)_2\text{CO}$ . . . . .	23,4	21,5	+7,5
$\text{H}_2\text{O}$ . . . . .	1,0	80	0

На рис. 9 изображена зависимость от концентрации коэффициента активности ацетона, эфира, хлороформа и бензола в растворах этих веществ в метанитробензойной кислоте. На рис. 10, 11, 12, 13 и 14 показаны концентрационные кривые для коэффициентов активности растворителя и растворенного вещества в растворах ацетона, эфира, четыреххлористого углерода, бензола и воды в пирокатехине. Значения коэффициента активности вычислены на основании интерполяции данных Коллетта, Лаззеля и Волкера [11, 12] по понижению температуры

плавления метанитробензойной кислоты и пирокатехина при прибавлении указанных выше веществ. Вычисленные таким путем значения не являются вполне точными. Они имеют приближенный, полуколичественный характер. Тем не менее эти значения дают вполне ясное представление об имеющей место зависимости коэффициента активности от концентрации и, как это видно из рис. 9—14 и табл. 3 и 4, вполне подтверждают высказанные выше предположения.

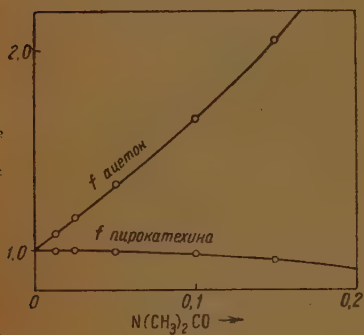


Рис. 10

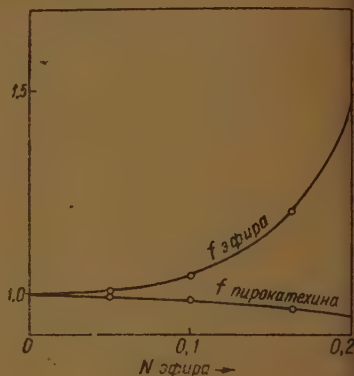


Рис. 11

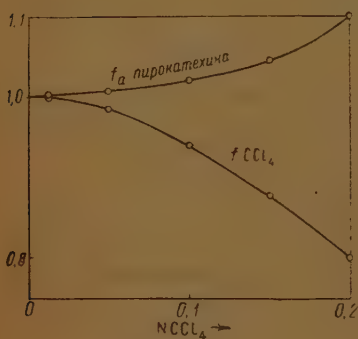


Рис. 12

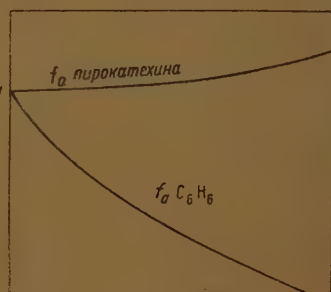


Рис. 13

Данные Коллетта, Лаззеля и Волкера [11, 12] показывают, что растворы воды, бензола и четыреххлористого углерода в метанитробензойной кислоте и растворы четыреххлористого углерода и бензола в пирокатехине обнаруживают стремление к расслаиванию. Это также вполне согласуется с высказанным выше предположением о том, что в указанных растворах имеют место максимальные положительные отклонения от идеальности.

В этой статье мы не будем рассматривать вопрос о зависимости растворимости от температуры и давления. Укажем только, что согласно уравнению растворимости при возрастании температуры растворимость приближается к идеальной не только вследствие роста знаменателя в показателе степени, но и вследствие уменьшения числителя, связанного с уменьшением обобщенных моментов.

Автор выражает благодарность М. Е. Мартыновой, выполнившей расчеты.

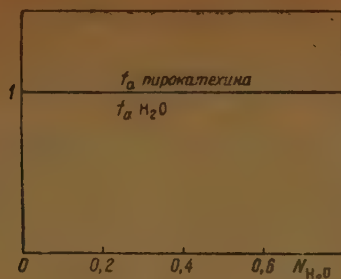


Рис. 14

### Выводы

1. Рассмотрено выведенное ранее [2] уравнение растворимости и выяснена связь между растворимостью и свойствами частиц, составляющих раствор.

2. Выведено правило Семенченко, устанавливающее связь между растворимостью и диэлектрической постоянной растворителя. Установлена связь между растворимостью и коэффициентами активности компонентов, составляющих раствор. Показано, что правило Семенченко в сочетании с данными о идеальной растворимости позволяет судить о других термодинамических свойствах растворов, а также делать выводы о характере взаимодействий между частицами растворителя и растворенного вещества. Если известны диэлектрические постоянные чистых компонентов раствора в жидком состоянии, то о термодинамических свойствах раствора можно ориентировочно судить не прибегая к данным по растворимости.

Установлено, что при переходе от неполярных веществ к полярным растет область отрицательных отклонений от идеальности, что связано с ростом эффективного притяжения между частицами растворителя и растворенного вещества. Выводы из теории подтверждаются на опыте.

Московский государственный университет  
им. М. В. Ломоносова

Поступила  
18.XII.1950

### ЛИТЕРАТУРА

1. М. И. Шахпаронов, Журн. физ. химии, 25, 231, 1951.
2. М. И. Шахпаронов, Журн. физ. химии, 25, 1103, 1951.
3. В. К. Семенченко, 2 лекции по теории растворов, Изв. Ин-т им. П. Д. Зелинского, 1938.
4. В. К. Семенченко, Физическая теория растворов, 1941, XXII.
5. В. К. Семенченко и М. И. Шахпаронов, Журн. физ. химии, 22, 243, 1948.
6. В. К. Семенченко и М. И. Шахпаронов, Журн. физ. химии, 22, 1256, 1948.
7. В. К. Семенченко и П. П. Пугачевич, Журн. физ. химии, 22, 495, 1948.
8. Д. Гильдебранд, Растворимость неэлектролитов, Москва, ГОНТИ, 1938.
9. Landolt-Börnstein, Phys. chem. Tabellen.
10. C. Bury a. F. Jenkins, Journ. of Chem. Soc., 688, 1934.
11. C. R. Collett, C. L. Lazzell, Journ. Phys. Chem., 34, 1838, 1930.
12. W. H. Walker, C. R. Collett, C. L. Lazzell, Journ. Phys. Chem., 35, 3259, 1931.



## КАТОДНАЯ ПОЛЯРИЗАЦИЯ ПРИ ОСАЖДЕНИИ МЕДИ ИЗ КОМПЛЕКСНЫХ ЭЛЕКТРОЛИТОВ

*С. В. Горбачев и А. В. Измайлов*

О характере катодной поляризации при осаждении меди из растворов комплексных солей в литературе имеются противоречивые мнения. Так Леблан и Шик [1] при изучении поляризации при электролизе комплексных ионов типа цианистых соединений меди и цинка делают вывод, что скорость процесса определяется замедленностью выделения ионов металла из комплекса, т. е. наблюдается химическая поляризация. Фольмер [2] считает, что поляризация, наблюдаемая при осаждении из цианистых растворов, является в основном химической. Она обусловлена тем, что для разложения комплекса требуется большая энергия активации, чем величина энергии активации, необходимая для образования и роста кристалла. Наличие химической поляризации констатировалось Э. С. Саркисовым [3], А. И. Левиным и О. А. Есиным [4] при осаждении меди из ее сульфатов ( $\text{Cu}^{++}$ ) из раствора в формамиде в присутствии муравьиной кислоты и в некоторых других случаях.

Напротив, Глессон [5] при изучении процесса разряда ионов меди, кадмия, серебра и ртути из растворов комплексных цианидов пришел к выводу, что здесь имеет место лишь концентрационная поляризация. О. А. Есин и Е. Б. Алфимова [6] при исследовании поляризации катода в цинковых и медных цианистых растворах нашли, что наблюдаемая поляризация является только концентрационной. А. И. Левин [7] считает, что в цианистых растворах процесс разряда ионов происходит аналогично процессу в растворах простых солей. По его мнению, поляризация, наблюдаемая в случае комплексных соединений, носит чисто концентрационный характер. В дальнейших работах А. И. Левина [8—10] установлено, что в растворах пиррофосфорнокислых, щавелевокислых, роданистых и аммиачных комплексных солей меди на ртутном катоде, а также в растворах аммиачных, роданистых, иодистых и тиосульфатных комплексных солей серебра на серебряном катоде имеется только концентрационная поляризация. Ердей-Груц [11] считает, что поляризация при осаждении металла из комплексных растворов может быть различной.

Наличие противоречивых мнений в литературе по вопросу катодной поляризации при выделении меди из комплексных растворов можно объяснить сложностью самого процесса и трудностью подобрать правильную и надежную методику исследования.

Таким образом, вопрос о характере катодной поляризации при осаждении меди из комплексных растворов до настоящего времени не может считаться достаточно выясненным. Учитывая важную роль, которую играют комплексные электролиты в гальванотехнике для получения равномерного, плотного мелкозернистого и беспористого осадка меди, следует признать, что этот вопрос имеет большое теоретическое и практическое значение.

Целью настоящего исследования явилось изучение характера катодной поляризации при осаждении меди из комплексных соединений. В работе исследован ряд органических соединений и неорганических веществ, дающих с ионами меди комплексные соединения различного характера: а) серная кислота, б) оксалат натрия, в) многоосновные кислоты —

ниокаменная кислота, г) этаноламины (моноэтаноламин, диэтанол-амин и триэтаноламин), д) пиридин, е) многозначные спирты (двухатомный ирт—этиленгликоль, трехатомный спирт—глицерин и четырехатомный ирт—пентаэритрит), ж) пиррофосфорнокислый натрий, з) аммиак.

### Экспериментальная часть

Для выяснения типа катодной поляризации при осаждении меди из растворов комплексных электролитов нами выбран метод температурного ишения на скорость электролиза, предложенный С. В. Горбачевым [12] проверенный его сотрудниками — Е. П. Старостенко и Н. П. Жуком [2, 16] при изучении ряда электрохимических реакций.

Влияние температуры на скорость электролиза определялось прямым методом ития поляризационных кривых. В качестве электролитической ячейки употреблялся -образный сосуд с дополнительным коленом для электрода сравнения. Диаметр -образного сосуда, а также диаметр трубки дополнительного колена равнялся 18 мм. Диаметр соединительного капилляра U-образного сосуда с коленом равнялся 3 мм. бием электролита, подвергнувшегося исследованию, равнялся 75 см<sup>3</sup>. Электролиз роводился с применением медных электродов. В качестве катода и электрода сравне-ия применялась медная эмалированная проволока диаметром 0,38 мм. Рабочая ьверхность проволоки, равная 1 см<sup>2</sup>, подвергалась следующей предварительной ьработке: очистке от эмали обжигом, электрохимической полировке в фосфорной ькоте удельного веса 1,40, а затем на промытую поверхность наносился толкий, ьотный, ровный, блестящий осадок меди из пиррофосфорного электролита состава:



$$D_k = 1 \text{ А/дм}^2; t = 30^\circ \text{С}; \tau = 7 \text{ мин.}$$

де  $m$  обозначает моляльность.

Такая предварительная подготовка электродов давала возможность иметь оди-аковую структуру покрытия меди как на катодной поверхности, так и на поверхности ьэлектрода сравнения. Это приводило к одинаковому потенциалу равновесия этих элек-родов в одном и том же электролите.

Изучаемый электрод (катод) и электрод сравнения изготовлялись в виде плоской ьспирали, диаметром наружного витка приблизительно равным диаметру U-образного ьсосуда. Плоская спираль катода помещалась в колено на 2—3 мм ниже капилляра, ве-ущего к электроду сравнения. Такое расположение катода устраняет возможность ьпопадания линий тока в пространство, в котором находится электрод сравнения. ьПрименение в качестве электрода плоской спирали давало возможность получить ьодинаковую плотность тока по всей поверхности электрода. Топоподводящая ьчасть проволоки катода не участвовала в электролизе, что достигалось помещением ьее в стеклянную трубку. Плотность тока во всех случаях определялась как отношение ьсилы тока к поверхности катода, так как имеется основание считать, что истинная ьповерхность хорошо анодированной металлической поверхности мало отличается от ка-ущейся. Для того чтобы катодная поверхность не сильно изменялась в течение ьэлектролиза, промежутки между замерами были приняты в 30 сек., и весь электролиз ьдлился 7—10 мин. Учитывая то обстоятельство, что осаждение металла на катоде шло ьиз комплексных электролитов, дающих мелкокристаллические плотные осадки, изме-нение поверхности катода в течение короткого промежутка времени электролиза не ьбыло значительным и не могло сильно сказываться на результатах опыта. В качестве ьанода применялась пластинка из электролитической меди размером  $10 \times 2 \times 20$  мм с ьобщей поверхностью  $S = 5,2 \text{ см}^2$ . Во избежание попадания в электролит шлама, обра-зующегося при растворении анода, анодное пространство было отделено от катодного ьстеклянным фильтром. Измерение потенциала поляризованного катода проводилось ьпо медному электроду сравнения, помещенному в тот же самый электролит в дополни-ельное колено U-образной трубки. Электрод сравнения находился при тех же самых ьтемпературных условиях, что и катод. Данный электрод сравнения для всех растворов ьи при всех температурах давал непосредственно величину поляризации медного катода. ьПростейшим критерием обратимости медного электрода сравнения являлось постоян-ство во времени и воспроизводимость значений его потенциала. Постоянство во времени ьи воспроизводимость потенциала применявшегося медного электрода сравнения про-верались по насыщенному каломельному электроду при постоянной температуре, а его ьвоспроизводительность—после замеров при высоких температурах. Результаты проверки ьбыли удовлетворительными. Для проведения опытов электролитическая ячейка напол-нилась исследуемым раствором и помещалась в водяной термостат. Водяной термостат

имел электрический обогреватель, мешалку и терморегулятор с электрическим реле. Температура в термостате изменялась в пределах  $20-80^\circ$  и поддерживалась с точностью до  $\pm 0,2^\circ$ . Поляризующее напряжение накладывалось на электроды при помощи движковых реостатов. Измерение катодного потенциала проводилось компенсационным методом при помощи потенциометра «МОСКНИ» типа «П-4». Момент компенсации отмечался по стрелочному нуль-гальванометру чувствительностью  $0,2 \cdot 10^{-6}$  А. Замеры производились по достижении стационарного состояния, которое наступает сравнительно быстро — до 30 сек.

Измерение силы тока производилось микроамперметром (калиброванным чувствительным гальванометром) отечественного производства марки МА 750/5, снабженным шунтирующим реостатом.

При приготовлении исследуемых растворов особое внимание было обращено на чистоту исходных реактивов. Соли брались химически чистыми и подвергались многократной перекристаллизации. Органические вещества подвергались перегонке под вакуумом.

## Результаты измерений

На рис. 1—6 приведены примеры кривых влияния температуры на поляризацию медного катода в различных электролитах.

а) Для электролита, содержащего одну сернокислую медь, поляризация незначительная и резко уменьшается с ростом температуры и концентрации ионов меди. При добавке серной кислоты поляризация становится несколько выше. С ростом температуры поляризация резко уменьшается.

б) Для электролита, состоящего из сернокислой меди с добавкой оксалата натрия, наблюдается значительное увеличение поляризации. Наличие перегибов на кривых указывает на протекание различных процессов. Первый процесс, протекающий до предельных плотностей тока, характеризует выделение меди. Поляризация на первом участке кривой  $\Delta E/I$  может быть обусловлена или малой скоростью диффузии ионов  $\text{Cu}^{++}$  или замедленной диссоциацией комплексных ионов типа

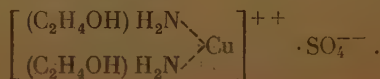


Второй участок кривой, при плотности тока выше предельной, характеризует совместный разряд водорода и меди и связан со значительной поляризацией.

Третий участок кривой, круто поднимающийся вверх, характеризует преимущественное выделение водорода.

в) Для электролита, состоящего из сернокислой меди с добавкой виннокаменной кислоты в присутствии щелочи, наблюдается значительное увеличение поляризации. С увеличением температуры поляризация уменьшается. Как известно из литературы [13], виннокаменная кислота в щелочной среде (КОН) образует комплекс. Значительная поляризация, повидимому, обуславливается или замедленной диссоциацией комплекса, или малой скоростью диффузии ионов меди.

г) Для электролитов, состоящих из сернокислой меди с добавками этаноламинов, наблюдается значительная поляризация (рис. 7—9). Этанолamines можно рассматривать как производные аммиака, в котором один или несколько атомов водорода замещены на этанольную группу. При добавлении этаноламинов к раствору сульфата меди образуется светло-голубой осадок, который растворяется в избытке этаноламинов с образованием прозрачного темноголубого раствора. Все они дают с  $\text{CuSO}_4$  комплексные соединения [14] типа:



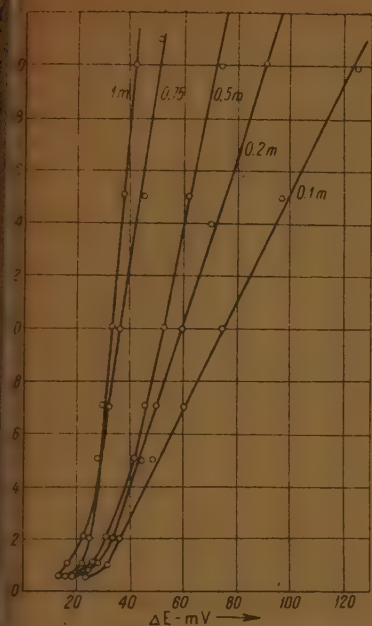


Рис. 1. Влияние концентрации  $\text{CuSO}_4$  на поляризацию при  $t = 20^\circ\text{C}$

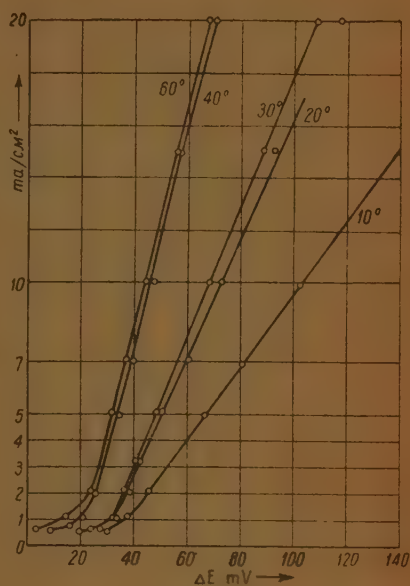


Рис. 2. Влияние температуры на поляризацию в электролите, содержащем  $0,1m \text{ CuSO}_4$

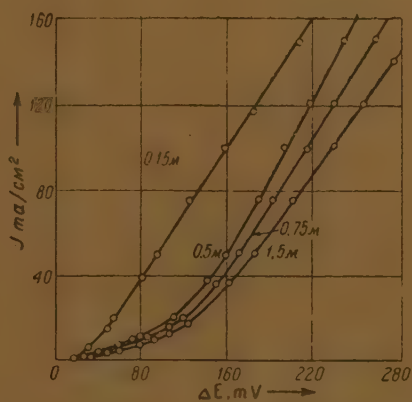


Рис. 3. Влияние концентрации  $\text{H}_2\text{SO}_4$  на поляризацию в растворе  $0,75m \text{ CuSO}_4$  при  $t = 20^\circ\text{C}$



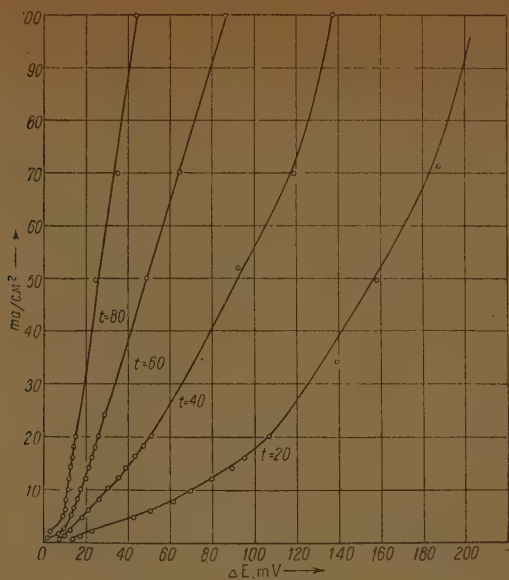


Рис. 4. Влияние температуры на поляризацию в электролите, содержащем  $0,75\text{ m CuSO}_4 + 0,5\text{ m H}_2\text{SO}_4$

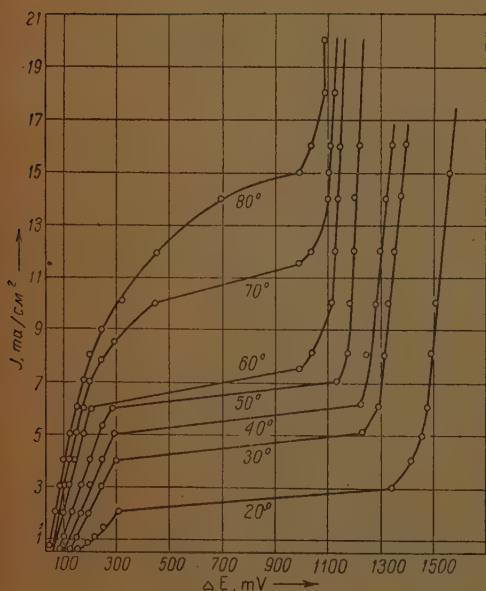


Рис. 5. Влияние температуры на поляризацию медного катода в растворе  $0,02\text{ m CuSO}_4 + 0,1\text{ m Na}_2\text{C}_2\text{O}_4$

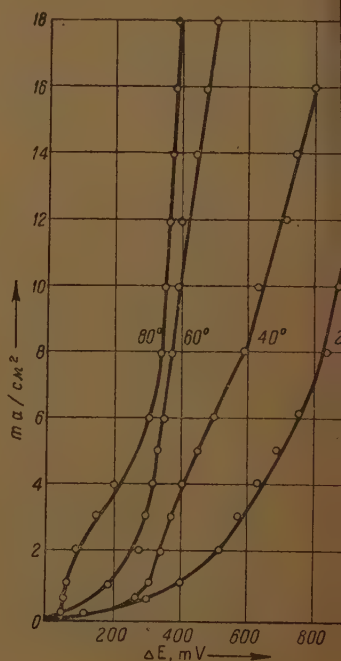


Рис. 6. Влияние температуры на поляризацию медного катода в растворе  $0,1\text{ m CuSO}_4 + 0,25\text{ m HCl}$

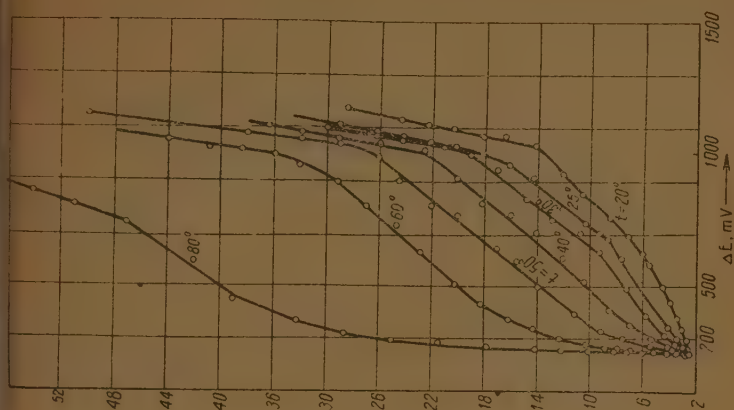


Рис. 9. Влияние температуры на поляризацию медного катода в растворе 0,1 *m*  $\text{CuSO}_4$  + 1 *m* триэтаноламина

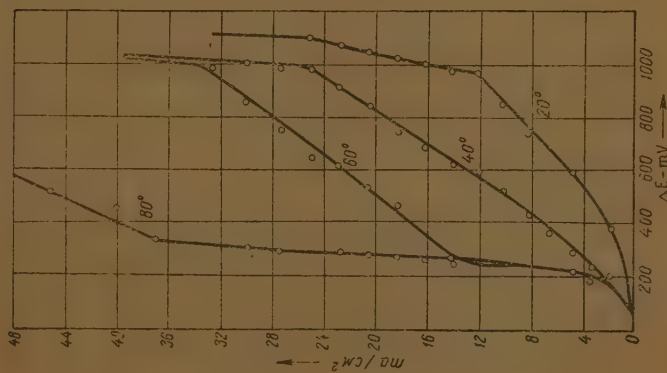


Рис. 8. Влияние температуры на поляризацию медного катода в растворе 0,1 *m*  $\text{CuSO}_4$  + 1 *m* диэтаноламина

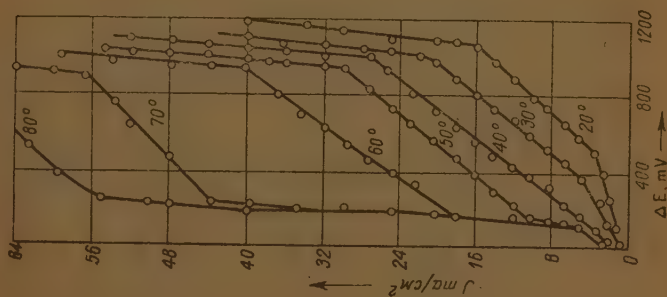


Рис. 7. Влияние температуры на поляризацию медного катода в растворе 0,1 *m*  $\text{CuSO}_4$  + 1 *m* моноэтаноламина

Значительная поляризация обуславливается или замедленной диссоциацией комплекса, или малой скоростью диффузии ионов меди. С увеличением температуры поляризация значительно уменьшается.

д) При добавке пиридина к раствору сернокислой меди наблюдается значительная поляризация. Пиридин с раствором сернокислой меди образует ряд комплексных соединений типа [15]:



Значительная поляризация обуславливается или замедленной диссоциацией комплекса, или замедленной скоростью диффузии. С повышением температуры поляризация значительно снижается. Выпад точек на кривой поляризации можно объяснить тем, что пиридин, как и аммиак, дает с медью различные комплексы. Повидимому, при повышенных температурах непрочные комплексы распадаются, и константа диссоциации изменяется.

е) При добавлении двухзначного спирта — этиленгликоля, трехзначного спирта — глицерина и четырехзначного спирта — пентаэритрита к раствору сернокислой меди наблюдается значительная поляризация порядка 800—1000 mV (рис. 11—13). Многозначные спирты в щелочной среде дают комплексные соединения различного типа. С повышением температуры поляризационная кривая становится значительно сложнее и начинает распадаться на ряд участков, что говорит о других реакциях, помимо электрохимической, протекающих в электролите. Результаты повторных опытов невоспроизводимы. При высоких температурах (60—80 °C) в электролите с добавкой глицерина или этиленгликоля выпадают осадки красноватого цвета на всей внутренней поверхности электролизера. Это говорит о том, что при высоких температурах эти добавки восстанавливают медь с двухвалентной до одновалентной  $\text{Cu}_2\text{O}$ . Красная закись меди  $\text{Cu}_2\text{O}$  осаждается на внутренних стенках электролизера. Эта побочная химическая реакция, протекающая во всей массе электролита, не дает возможности получить воспроизводимые результаты. Поэтому не удалось получить действительной зависимости поляризации от плотности тока.

ж) Для электролита, состоящего из сернокислой меди с добавкой пирофосфорнокислого натрия  $\text{Na}_4\text{P}_2\text{O}_7$ , наблюдается значительная поляризация (рис. 14). При введении добавки  $\text{Na}_4\text{P}_2\text{O}_7$  в электролит вначале образуется белый осадок, повидимому, плохо растворимой соли  $\text{Cu}_2\text{P}_2\text{O}_7$ , переходящий затем в избытке  $\text{Na}_4\text{P}_2\text{O}_7$  в комплекс  $\text{Na}_2\text{CuP}_2\text{O}_7$ ; при образовании последнего белый осадок и муть исчезают. Повышенная поляризация может быть обусловлена или малой скоростью диффузии, или замедленной диссоциацией комплексных ионов.

з) При добавке аммиака к раствору сернокислой меди наблюдается значительная поляризация. Как известно из литературы [15], аммиак с раствором сернокислой меди образует ряд комплексных соединений типа  $[(\text{Cu}(\text{NH}_3)_4)]^{++} \cdot \text{SO}_4^{--}$ ,  $[(\text{Cu}(\text{NH}_3)_6)]^{++} \cdot [\text{SO}_4^{--}]$  и др. Поляризация обуславливается, очевидно, или медленной стадией диссоциации комплексного иона или замедленной скоростью диффузии комплексных ионов. Необходимо отметить, что при снятии поляризационных кривых при повышенных температурах результаты повторных измерений плохо воспроизводились, и поэтому не удалось получить действительной зависимости электродного потенциала от плотности тока. Плохая воспроизводимость результатов опыта, повидимому, может быть объяснена тем положением, что аммиак дает с медью различные комплексные соединения с координационным числом 2, 3, 4, 6 [15]. Устойчивость этих комплексов различна, особенно при повышенных температурах и потенциалах. Взаимное превращение комплексов до состояния равновесия происходит замедленно. Поэтому эффективная константа диссоциации меняется.

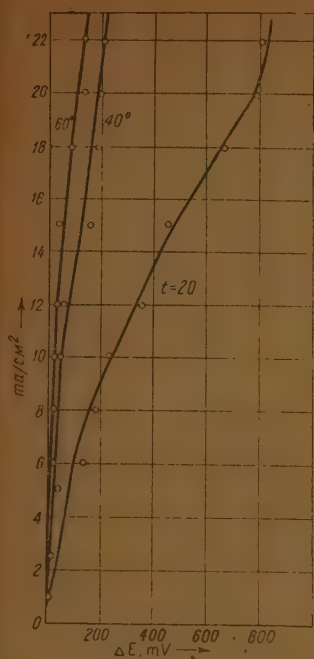


Рис. 10. Влияние температуры на поляризацию медного катода в растворе 0,2  $m$   $\text{CuSO}_4$  + 2,5  $m$  пиридина

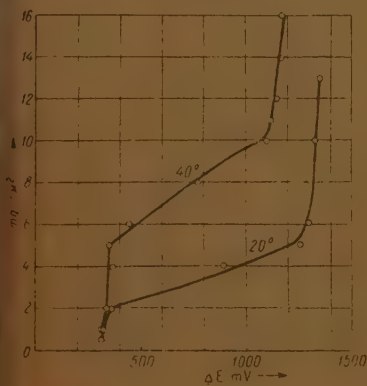


Рис. 11. Влияние температуры на поляризацию медного катода в растворе 0,1  $m$   $\text{CuSO}_4$  + 2,5  $m$  этиленгликоля + 0,5  $m$  КОН

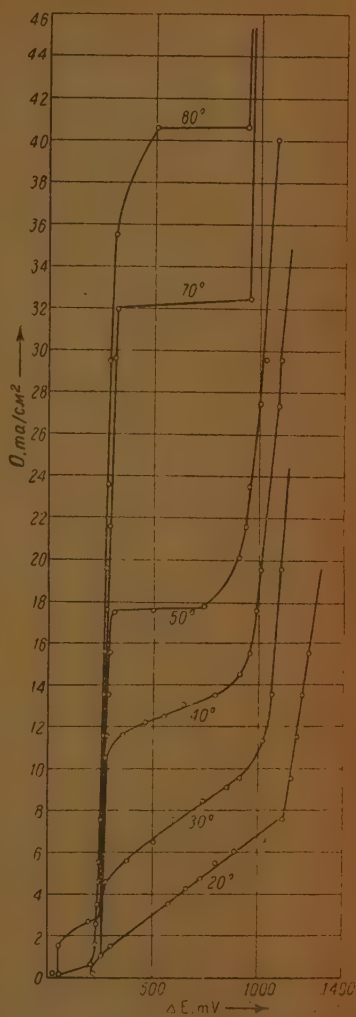


Рис. 12. Влияние температуры на поляризацию медного катода в растворе 0,1  $m$   $\text{CuSO}_4$  + 1  $m$  глицерина + 1,5  $m$  NaOH



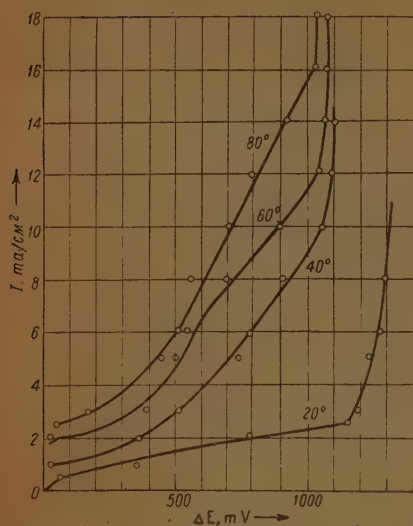


Рис. 13. Влияние температуры на поляризацию медного катода в растворе  $0,1m \text{ CuSO}_4 + 1m$  пентаэритрита

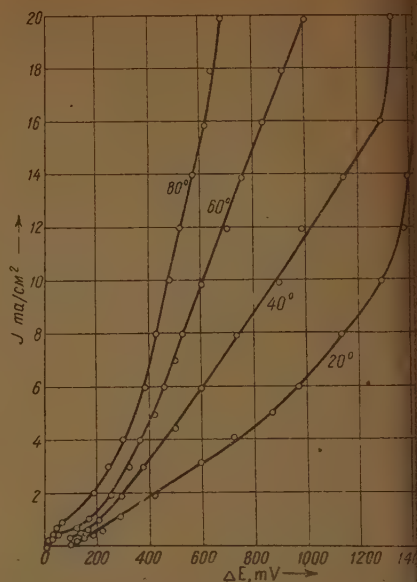


Рис. 14. Влияние температуры на поляризацию медного катода в растворе  $0,1m \text{ CuSO}_4 + 0,2m \text{ Na}_3\text{P}_2\text{O}_7$

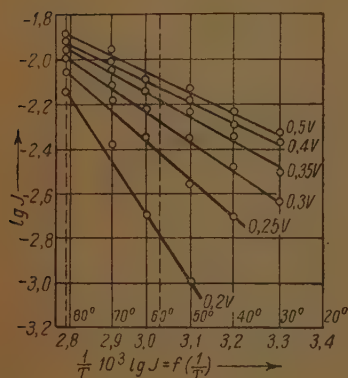


Рис. 15. Зависимость  $\lg I$  от  $\frac{1}{T}$  при постоянном потенциале для раствора  $0,02m \text{ CuSO}_4 + 0,1m \text{ Na}_2\text{C}_2\text{O}_4$

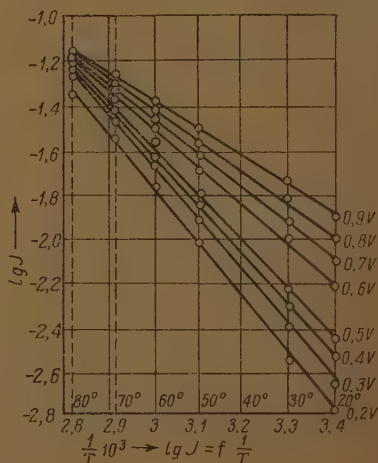


Рис. 16. Зависимость  $\lg I$  от  $\frac{1}{T}$  при постоянном потенциале для раствора  $0,1m \text{ CuSO}_4 + 1m$  моноэтаноламина

Для определения типа поляризации, т. е. природы медленной стадии, определяющей скорость электродного процесса, нами используется метод температурного влияния на скорость электрохимической реакции.

Для более подробного изучения типа поляризации мы выбираем комплексные электролиты с добавками: оксалат натрия, моноэтаноламин, триэтаноламин, триэтанолламин и пиррофосфорнокислый натрий.

В этих электролитах процессы, затемяющие основные изучаемые электрохимические явления при электролизе, отсутствовали.

Зависимость плотности тока  $I$  от температуры можно выразить следующим уравнением:

$$\lg I = \text{const} - \frac{A}{2,3 RT},$$

где  $I$  — плотность тока,  $A$  — эффективная энергия активации.

Эффективная энергия активации может быть определена графически.

Если откладывать  $\lg I$  по оси ординат, а по оси абсцисс  $\frac{1}{T}$ , то наклон

прямой даёт  $\frac{A}{2,3R}$ . Так как наличие электрического поля у поляризован-

ного электрода сказывается на энергии активации, необходимо проследить влияние температуры на скорость электрохимического процесса при

словии равенства поляризации. В координатах  $\lg I - \frac{1}{T}$  при постоян-

ном потенциале  $E = \text{const}$  наблюдается определенная линейная зависимость

в довольно широком интервале потенциалов при электролитическом

осаждении меди из различных комплексных электролитов. Как видно из

приведенных кривых на рис. 15—18, угол наклона прямых меняется и

ависит от природы комплексообразователя и поляризации. Вычисленные

из угла наклона прямых величины энергии активации лежат в пределах:

для электролита, содержащего  $0,02 \text{ m CuSO}_4 + 0,1 \text{ m Na}_2\text{C}_2\text{O}_4$  при  $\Delta E =$

$= 0,2 \text{ V} - 6500 \text{ кал}$ ;  $0,1 \text{ m CuSO}_4 + 1 \text{ m}$  триэтанолламина при  $\Delta E = 0,3 \text{ V} -$

$- 10500 \text{ кал}$ ;  $0,1 \text{ m CuSO}_4 + 1 \text{ m}$  моноэтаноламина при  $\Delta E = 0,3 \text{ V} -$

$- 11000 \text{ кал}$ ;  $0,1 \text{ m CuSO}_4 + 0,2 \text{ m}$  пиррофосфорнокислого натрия при  $\Delta E =$

$= 0,3 \text{ V} - 4500 \text{ кал}$ .

Необходимо отметить иное расположение прямых для электролитов,

содержащих добавки пиррофосфорнокислого натрия. В этом случае наклон

прямых почти не меняется с поляризацией, и величина энергии активации

находится в пределах  $4500 - 5000 \text{ кал}$ .

Представляет интерес проследить зависимость энергии активации от

поляризации для различных комплексообразователей. На рис. 19 представ-

лена зависимость  $A = f(\Delta E)$ .

Рассмотрение полученных данных приводит к следующему.

Для электролитов, содержащих такие комплексообразователи, как

оксалат натрия, моноэтаноламин и триэтанолламин, зависимость энергии

активации от поляризации совершенно отличается от соответствующей

зависимости, наблюдаемой для электролита, содержащего в качестве ком-

плексообразователя пиррофосфорнокислый натрий. Для электролитов,

содержащих добавки оксалата натрия, моноэтаноламина, триэтанолламина,

каждая кривая имеет три отличных участка с плавным переходом между

ними. При низких поляризациях, равных  $\Delta E = 0,2 \text{ V}$  при добавке окса-

лата, и при  $\Delta E = 0,3 \text{ V}$  для моноэтаноламина и триэтанолламина величины

энергии активации наибольшие. Повышение поляризации заметно снижает

энергию активации. При достижении потенциала  $\Delta E = 0,4 \text{ V}$  для добавки

оксалата натрия и при  $\Delta E = 0,7 - 0,8 \text{ V}$  для моноэтаноламина и триэтанол-

ламина — величины энергии активации снижаются до порядка  $3500 -$

$6000 \text{ кал}$ , и дальнейшее повышение поляризации почти не сказывается на

изменении величины энергии активации. Величина ее остается в пределах

$3500 - 6000 \text{ кал}$ . Наличие этих двух участков кривых характеризует раз-

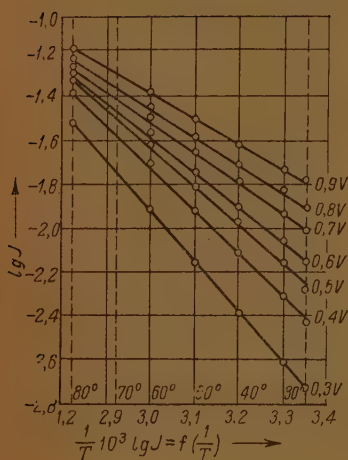


Рис. 17. Зависимость  $\lg I$  от  $\frac{1}{T}$  при постоянном потенциале для раствора  $0,1\text{ m CuSO}_4 + 1\text{ m}$  триэтаноламина

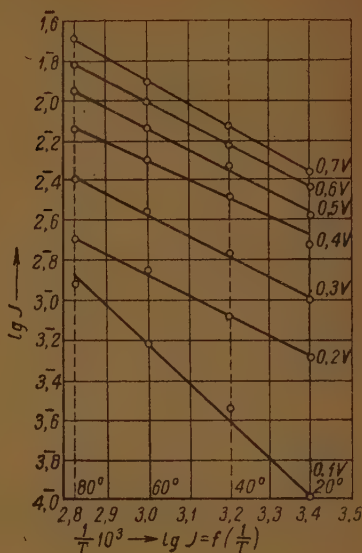


Рис. 18. Зависимость  $\lg I$  от  $\frac{1}{T}$  при постоянном потенциале для раствора  $0,1\text{ m CuSO}_4 + 0,2\text{ m Na}_4\text{P}_2\text{O}_7$

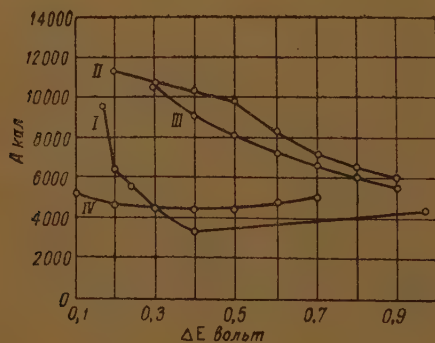


Рис. 19. Зависимость энергии активации от поляризации медного катода в растворе: I —  $0,02\text{ m CuSO}_4 + 0,1\text{ m Na}_2\text{C}_2\text{O}_4$ ; II —  $0,1\text{ m CuSO}_4 + 1\text{ m}$  моноэтаноламина; III —  $0,1\text{ m CuSO}_4 + 1\text{ m}$  триэтаноламина; IV —  $0,1\text{ m CuSO}_4 + 0,2\text{ m Na}_4\text{P}_2\text{O}_7$

ный механизм электролиза, меняющегося с изменением поляризации. Участки кривых, где наблюдается сильная зависимость величины энергии активации от поляризации, свидетельствуют о том, что в данном интервале имеет место химическая поляризация. Тормозящим процессом электролиза является замедленность распада комплексного иона, на что требуется дополнительная энергия силового поля электрода. Участки кривых, где величины энергии активации не изменяются с поляризацией и находятся в пределах 3500—6000 кал, свидетельствуют о том, что в данном интервале имеет место концентрационная поляризация. Тормозящим процессом электролиза при этом является скорость диффузии комплексных ионов меди к электроду. Эта смена механизмов происходит не скачком, а постепенно, на что указывает плавный ход кривых. Для электролита, содержащего комплексобразователь — пиррофосфорнокислый натрий, — величина энергии активации почти не зависит от поляризации и находится в пределах 5000 кал. Это говорит о том, что величина энергии активации находится в пределах величин, характеризующих диффузионные процессы, и что фактором, лимитирующим скорость электродного процесса, является скорость диффузии, т. е. в этом случае проявляется концентрационная поляризация.

### Выводы

1. Установлено, что при добавке в электролит комплексобразователя вызывается резкое торможение катодного процесса, сопровождающегося значительной поляризацией.
2. Установлено значительное влияние температуры на поляризацию. С повышением температуры поляризация для комплексных электролитов значительно уменьшается.
3. Вычислена эффективная энергия активации тормозящего процесса по установленной линейной зависимости между логарифмом силы тока и обратной величиной температуры, соблюдающейся в широком интервале поляризации.
4. Установлено, что в зависимости от природы комплексного соединения и его прочности наблюдается различный механизм катодного процесса, обусловленный или химической поляризацией или концентрационной.
5. При изучении механизма катодного процесса показана чрезвычайная продуктивность рассмотрения зависимости энергии активации от поляризации.
6. При исследовании зависимости эффективной энергии активации от потенциала катода установлен сложный механизм электродного процесса в изученных комплексных растворах. В зависимости от условий электролиза возможны различные механизмы электродного процесса с постепенным переходом одного в другой.

Химико-технологический институт  
им. Д. И. Менделеева  
Москва

Поступила  
13.11.1951

### ЛИТЕРАТУРА

1. Leblanc u. Schick, Zs. phys. Chem., **46**, 243, 1940.
2. М. Фольмер, Журн. физ. химии, **5**, 319, 1934.
3. Э. С. Саркисов, Изв. АН СССР, отд. матем. и естеств. наук, 421, 1937.
4. А. И. Левин и О. А. Есин, Журн. общ. химии, **7**, 1478, 1936.
5. S. Glasstone, Journ. Chem. Soc., London, 690, 1929; 1237, 1930.
6. О. А. Есин, Алфимова, Журн. физ. химии **8**, 137, 1936.
7. А. И. Левин, Журн. прикл. химии, **14**, 68, 1941; Журн. физ. химии, **18**, 53, 1944.



8. А. И. Левин, Журн. физ. химии, 15, 948, 1941.
9. А. И. Левин, Журн. физ. химии, 17, 247, 1943.
10. А. И. Левин, Журн. физ. химии, 19, 365, 1945.
11. Т. Erdey-Gruz, Zs. phys. Chem., A 172, 157, 1935.
12. С. В. Горбачев и Б. П. Ангелопуло. Юбилейная научно-техническая конференция МХТИ им. Д. И. Менделеева. Тезисы докладов, 1945; С. В. Горбачев, Журн. физ. химии, 24, 888, 1950; Н. П. Жук, Диссертация под руководством С. В. Горбачева, МХТИ им. Менделеева, 1949.
13. В. И. Степанов, Курс органической химии, Госхимиздат, 1949.
14. А. Теттаманизи e В. Carli, Gazz. chim. ital., 63, 566, 1933.
15. А. А. Грипберг. Введение в химию комплексных соединений, Госхимиздат, 1945.
16. С. В. Горбачев, Н. П. Жук, Журн. физ. хим. 25, 841, 1951.

# СОДЕРЖАНИЕ

Афанасьев и О. М. Тодес. Экспериментальная проверка теории распространения осадка в плоском капилляре . . . . .	1273
Афанасьев и О. М. Тодес. Распределение концентраций компонентов реакции и периодическое осаждение ее продукта в плоском капилляре . . . . .	1281
Герович и Р. И. Каганович. Адсорбция ионов на монослоях жирных кислот. 3. Образование смешанных бимолекулярных пленок на растворах, содержащих ионы серебра . . . . .	1289
Тиличев и А. В. Иогансен. Давление насыщенных паров метилалканов $C_3-C_{24}$ . . . . .	1295
Гегузин и Б. Я. Пинес. Энергия смещения двойных металлических сплавов. II. Система висмут — кадмий . . . . .	1300
Шурмовская, Б. П. Брунс и З. Я. Мельникова. Реакция между окисью углерода и двуокисью марганца . . . . .	1306
Богданови Т. И. Беркенгейм. К теории совместного действия катализаторов в растворе. III. Промежуточные продукты при катализе $H_2O_2$ солями кальция и вольфрама . . . . .	1313
Мельникова, К. С. Евстропьев и А. Я. Кузнецов. Электропроводность стекол системы $PbO - V_2O_5$ . . . . .	1318
Гантмахер и С. С. Медведев. Каталитическая полимеризация ненасыщенных соединений. II. Влияние диэлектрической постоянной среды на каталитическую полимеризацию стирола . . . . .	1328
Никольский и Е. А. Матерова. Теория стеклянного электрода. IV. Экспериментальное подтверждение обменной природы потенциала стеклянного электрода . . . . .	1335
Мирцхулава. Теория концентрированных растворов сильных электролитов . . . . .	1347
М. Колотыркин и Л. А. Медведева. Связь между перенапряжением водорода на свинцовом, кадмиевом и талловом электродах и знаком заряда поверхности последних в кислых растворах . . . . .	1355
Пугачевич. Экспериментальное изучение поверхностного натяжения металлических растворов. I. Температурная зависимость поверхностного натяжения ртути, амальгам натрия и калия . . . . .	1365
Шахпаронов. К теории термодинамических свойств растворов. III. Правило Семенченко . . . . .	1374
Горбачев и А. В. Измаилов. Катодная поляризация при осаждении меди из комплексных электролитов . . . . .	1384



Цена 12 руб.

# **ОТКРЫТА ПОДПИСКА НА ЖУРНАЛЫ АКАДЕМИИ НАУК СССР** **на 1952 год**

Название журнала	Количество номеров в год	Подписная цена в руб.	Название журнала	Количество номеров в год	Подписная цена в руб.
Астрономический журнал . . . . .	6	72	Известия Академии Наук СССР, серия математическая	6	
Биохимия . . . . .	6	72	Известия Академии Наук СССР, серия истории и философии . . . . .	6	
Ботанический журнал . . . . .	6	63	Известия Академии Наук СССР, Отделение технических наук . . . . .	12	
Вестник Академии Наук СССР	12	96	Известия Академии Наук СССР, Отделение химических наук . . . . .	6	
Вестник древней истории . . . . .	4	120	Известия Академии Наук СССР, Отделение экономики и права . . . . .	6	
Доклады Академии Наук СССР (без переплета) . . . . .	36	360	Известия Академии Наук СССР, серия физическая . . . . .	6	
Доклады Академии Наук СССР с 6 папками (коленкоровыми, с тиснением) для переплета . . . . .	36	384	Известия Академии Наук СССР, Отделение литературы и языка . . . . .	6	
Журнал аналитической химии	6	36	Известия Всесоюзного географического общества . . . . .	6	
Журнал высшей нервной деятельности им. И. П. Павлова . . . . .	6	90	Коллоидный журнал . . . . .	6	
Журнал общей биологии . . . . .	6	45	Математический сборник . . . . .	6	
Журнал общей химии . . . . .	12	180	Микробиология . . . . .	6	
Журнал прикладной химии . . . . .	12	126	Почвоведение . . . . .	12	
Журнал технической физики . . . . .	12	180	Прикладная математика и механика . . . . .	6	
Журнал физической химии . . . . .	12	180	Природа . . . . .	12	
Журнал экспериментальной и теоретической физики . . . . .	12	144	Советское государство и право	12	
Записки Всесоюзного минералогического общества . . . . .	4	30	Советская этнография . . . . .	4	
Зоологический журнал . . . . .	6	90	Успехи современной биологии	6	
Известия Академии Наук СССР, серия биологическая	6	72	Успехи химии . . . . .	12	
Известия Академии Наук СССР, серия геологическая	6	90	Физиологический журнал СССР им. И. М. Сеченова	6	
Известия Академии Наук СССР, серия географическая	6	54			
Известия Академии Наук СССР, серия геофизическая	6	54			

## **ПОДПИСКА ПРИНИМАЕТСЯ**

ГОРОДСКИМИ И РАЙОННЫМИ ОТДЕЛАМИ «СОЮЗПЕЧАТИ», ОТДЕЛЕНИЯМИ И АГЕНТСТВАМИ СВЯЗИ, ПОЧТАЛЬОНАМИ И ОБЩЕСТВЕННЫМИ УПОЛНОМОЧЕННЫМИ «СОЮЗПЕЧАТИ» НА ФАБРИКАХ И ЗАВОДАХ, В УЧЕБНЫХ ЗАВЕДЕНИЯХ И УЧРЕЖДЕНИЯХ, А ТАКЖЕ В МАГАЗИНАХ «АКАДЕМКНИГА»: МОСКВА, УЛ. ГОРЬКОГО 6; ЛЕНИНГРАД, ЛИТЕЙНЫЙ ПР., 53-а; СВЕРДЛОВСК, УЛ. БЕЛИНСКОГО, 71-в; ТАШКЕНТ, УЛ. К. МАРКСА, 29; КИЕВ, УЛ. ЛЕНИНА, 42; АЛМА-АТА, УЛ. ФУРМАНОВА, 129; ХАРЬКОВ, ГОРЯЙНОВСКИЙ ПЕР., 4/6

И ГЛАВНОЙ КОНТОРОЙ «АКАДЕМКНИГА»

Москва, Пушкинская ул., 23.